

# 正电子技术的在材料科学 中应用

Ye Bangjiao 叶邦角



中国科学技术大学  
核固体物理实验室

Laboratory of Nuclear Solid State Physics, USTC

# 内容提要



- 正电子概况
- 正电子湮灭探测技术
- 正电子技术的应用



# 正电子发现



- 1928 Predicted by Dirac
- 1930 Found by Z.Y.Zhao
- 1932 Found in Cosmic Radiations by Anderson
- 1940's First studies of Electronic structures
- 1950's Establishment of Positron  
Annihilation Spectroscopy
- 1968 First LINAC based Positron  
Generation
- 1982 Slow positron beams



# Relativity + Quantum Theory = Antimatter



Paul A.M. Dirac (1928)

$$(i\gamma^\mu \partial_\mu - m)\psi = 0$$

$$\psi_+ = \begin{pmatrix} 1 \\ 0 \\ 0 \\ 0 \end{pmatrix} \text{ or } \begin{pmatrix} 0 \\ 1 \\ 0 \\ 0 \end{pmatrix} e^{-imt} \quad \psi_- = \begin{pmatrix} 0 \\ 0 \\ 1 \\ 0 \end{pmatrix} \text{ or } \begin{pmatrix} 0 \\ 0 \\ 0 \\ 1 \end{pmatrix} e^{+imt}$$

Electron: spin 1/2

Another spin-1/2 particle??

- For  $v \neq 0$ , upper and lower components mix
- 1929: Positive electron = proton ????
- 1931:  $m(e^-) = m(e^+)$  ! Annihilation possible ...





赵忠尧

(1902—1998)

中国科学技术大学  
近代物理系的创建  
者和首任系主任

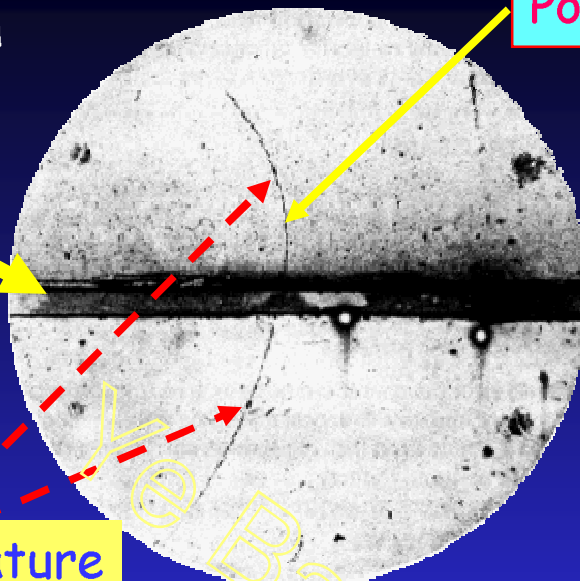
1930年春天，赵 $\alpha$ 尧先生在美国 $\beta$   
CIT实验时发现， $\gamma$ 射线被铅散射时，  
除康普顿散射外，伴随着反常吸收  
还有一种特殊的光辐射出现。当时  
测定的这种特殊辐射的强度是大致  
各向同性的，并且每个光子的能量  
与一个电子质量的相当能量很接近。  
它揭示了一种新的反应机制。赵忠  
尧将这个实验结果写成第二篇论文，  
题目为《硬 $\gamma$ 射线的散射》，并于  
1930年10月在美国《物理评论》杂  
志上发表。



# Cloud Chamber Photograph

Lead plate

Positron



Larger curvature of particle above plate means it's moving slower (lost energy as it passed through)



Carl Anderson  
1905-1991

MARCH 15, 1933

PHYSICAL REVIEW

VOLUME 43

## The Positive Electron

CARL D. ANDERSON, *California Institute of Technology, Pasadena, California*

(Received February 28, 1933)

Out of a group of 1300 photographs of cosmic-ray tracks in a vertical Wilson chamber 15 tracks were of positive particles which could not have a mass as great as that of the proton. From an examination of the energy-loss and ionization produced it is concluded that the charge is less than twice, and is probably exactly equal to, that of the proton. If these particles carry unit positive charge the

curvatures and ionizations produced require the mass to be less than twenty times the electron mass. These particles will be called positrons. Because they occur in groups associated with other tracks it is concluded that they must be secondary particles ejected from atomic nuclei.

*Editor*

ON August 2, 1932, during the course of photographing cosmic-ray tracks produced in a vertical Wilson chamber (magnetic field of 15,000 gauss) designed in the summer of 1930

electrons happened to produce two tracks so placed as to give the impression of a single particle shooting through the lead plate. This assumption was dismissed on a probability basis



# 正电子的性质



- 质量：等于电子质量
- 电荷：与电子电荷数量相等
- 磁矩：与电子磁矩相等， $ge/2m_0c$
- 寿命：在真空无电子环境， $>2 \times 10^{21}$ 年

正电子属轻子族，

所以它是费米子，遵守**Fermi-Dirac**统计；

不直接参与强相互作用。



# 正电子产生



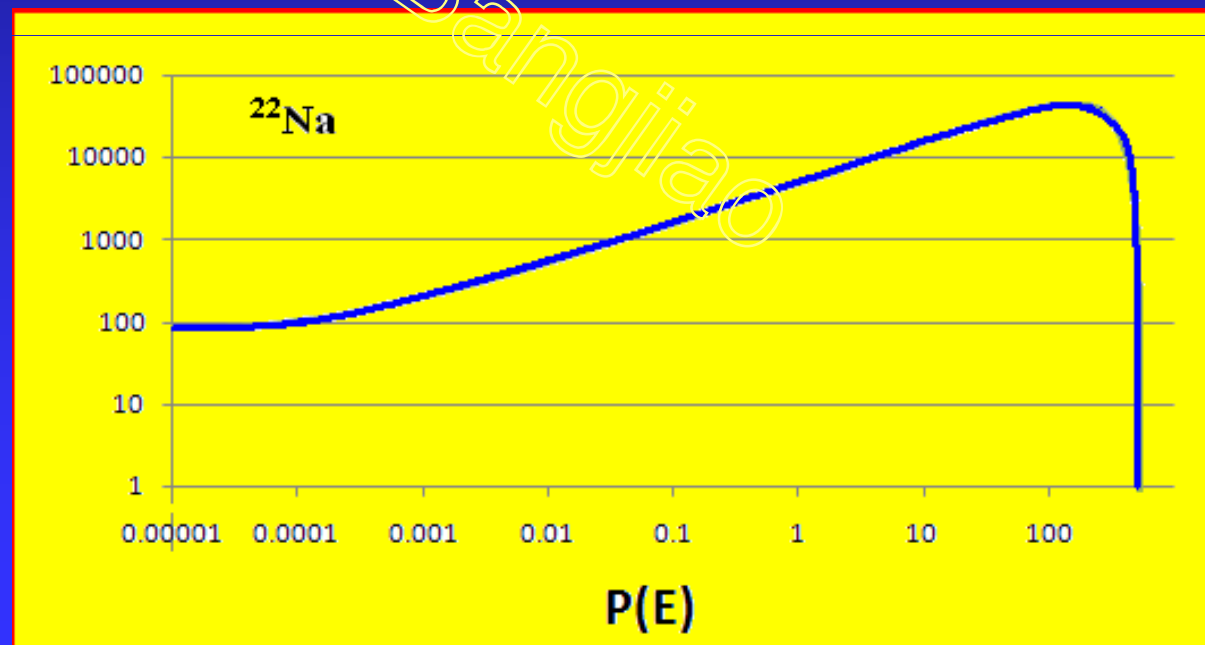
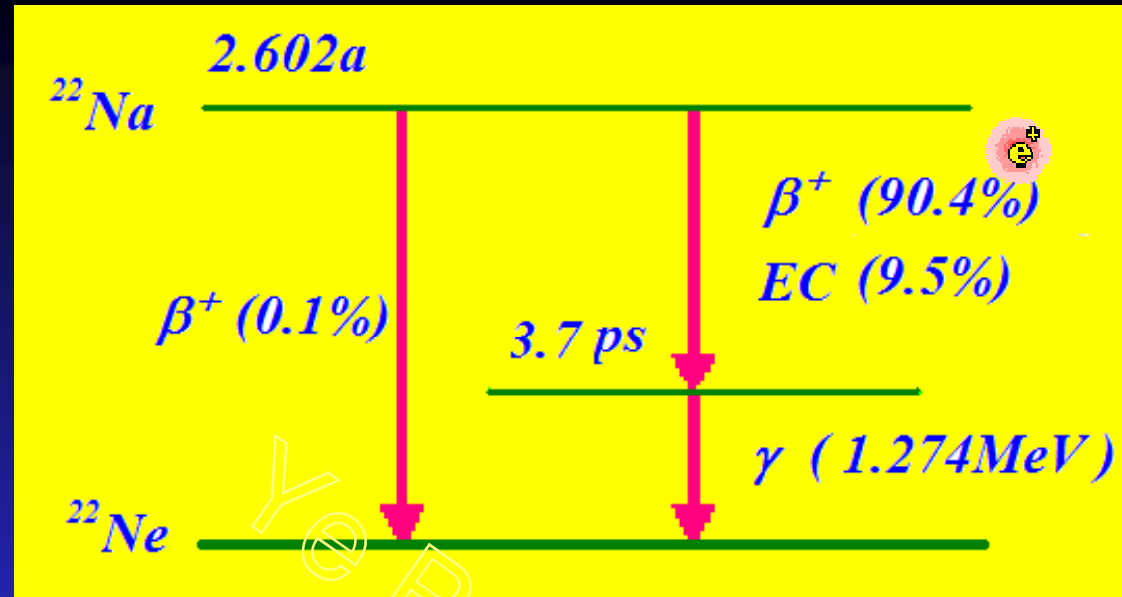
- $\beta^+$ -decay ( $^{22}\text{Na} \rightarrow ^{22}\text{Ne} + e^+ + \nu_e + \gamma (1.28 \text{ MeV})$ )
- pair production ( $\gamma \rightarrow e^+ + e^-$ )

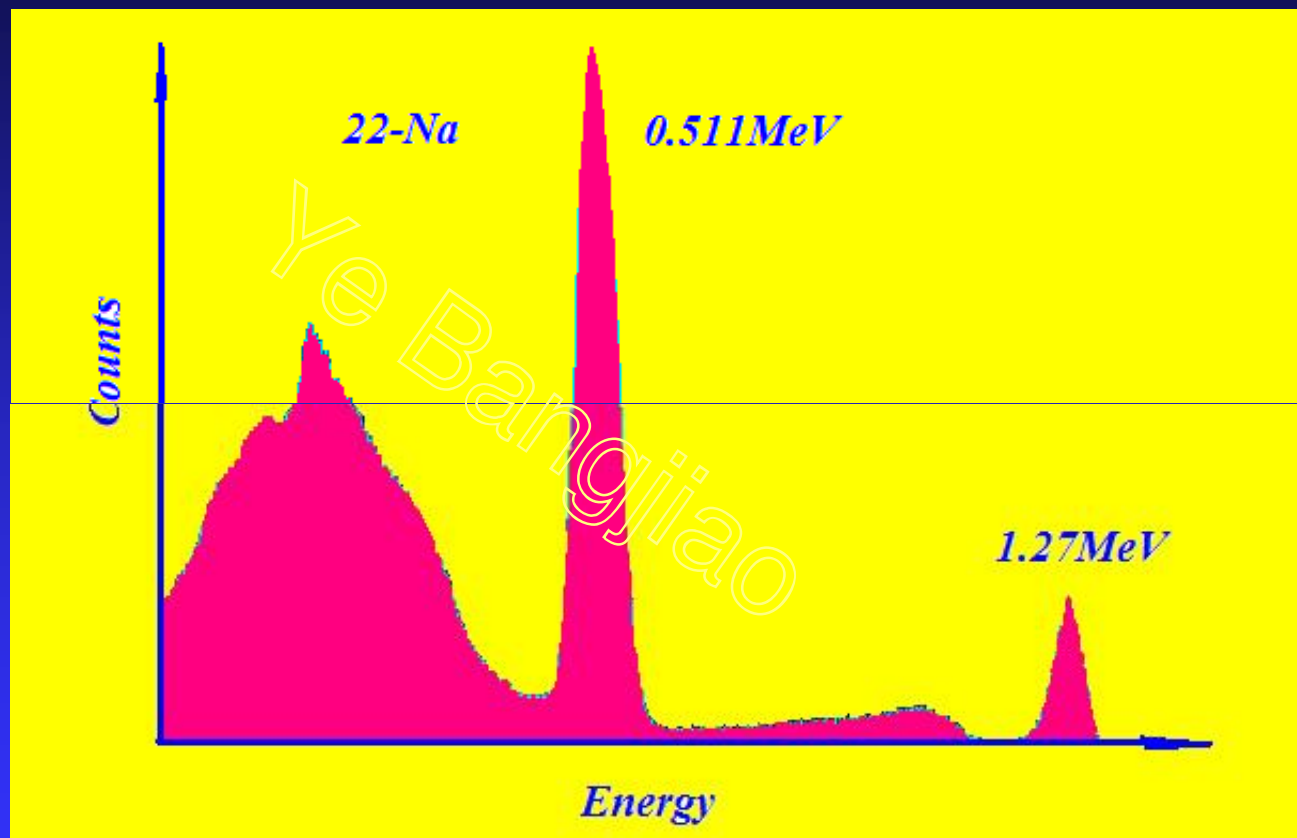
Some Cyclotron-produced  $\beta^+$  Radionuclides

Product	Decay Mode	Common Production Reaction	Natural Abundance of Target Isotope (%)
$^{11}\text{C}$	$\beta^+$	$^{10}\text{B}(d,n)^{11}\text{C}$	19.7
		$^{11}\text{B}(p,n)^{11}\text{C}$	80.3
$^{13}\text{N}$	$\beta^+$	$^{12}\text{C}(d,n)^{13}\text{N}$	98.9
$^{15}\text{O}$	$\beta^+$	$^{14}\text{N}(d,n)^{15}\text{O}$	99.6
$^{18}\text{F}$	$\beta^+, \text{EC}$	$^{20}\text{Ne}(d,\alpha)^{18}\text{F}$	90.9
$^{22}\text{Na}$	$\beta^+, \text{EC}$	$^{23}\text{Na}(p,2n)^{22}\text{Na}$	100









## 二、正电子湮灭探测技术

- 正电子寿命测量技术
- 多普勒展宽测量技术
- 二维角关联技术
- 寿命-动量关联测量技术
- $3\gamma$ 测量技术
- 寿命-幅度关联测量技术
- 慢束
- 正电子衍射技术
- PAES
- 微束



# 正电子技术应用

- 半导体
- 超导体
- 薄膜
- 界面
- 多孔材料
- 纳米材料
- 巨磁阻
- 金属
- 多聚物
- 量子点



# 正电子技术的优越性



各种电镜、卢瑟福背散射、中子衍射、深能级瞬发谱、二次离子谱等，虽然各自给出了许多有价值的结果，但这些方法基本上不能给出原子尺度局域缺陷及微观物相变化的信息，并且多为破坏性测量或造成较大的辐照损伤。

正电子技术是一种无损和高灵敏的探测技术，对复杂材料的分析具有明显的优越性。正电子探针已在基础研究中发挥了巨大的作用，广泛地应用于研究凝聚态材料、介孔材料、半导体和超导体、纳米材料、高聚物化学、量子信息等学科，同时也在工业方面有着巨大的应用潜力，受到各国科学界和工业界的重视。



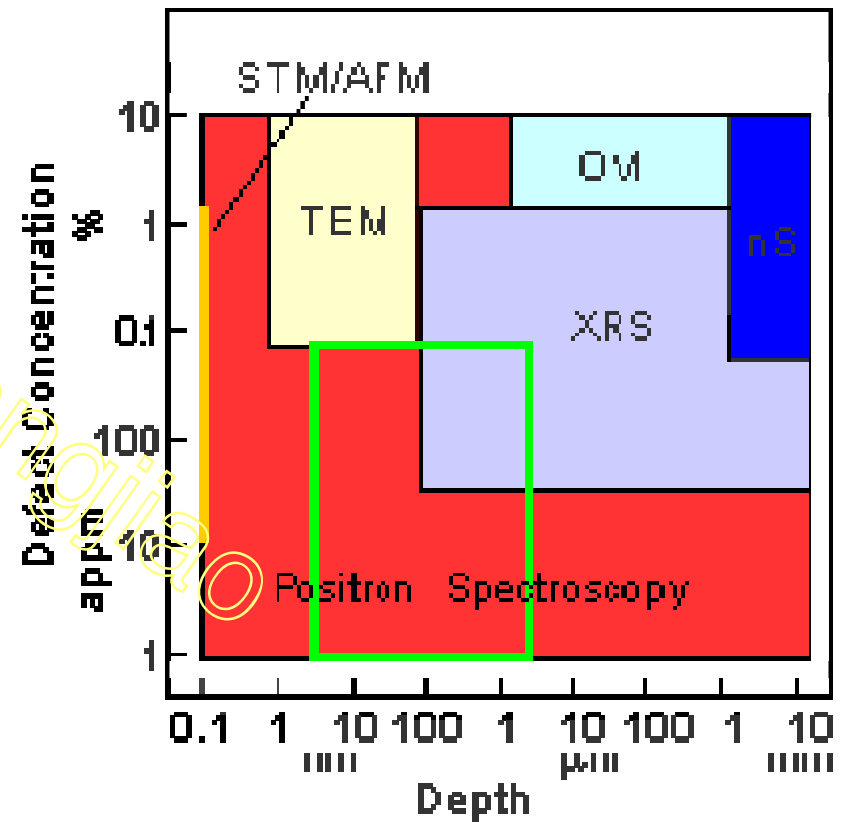
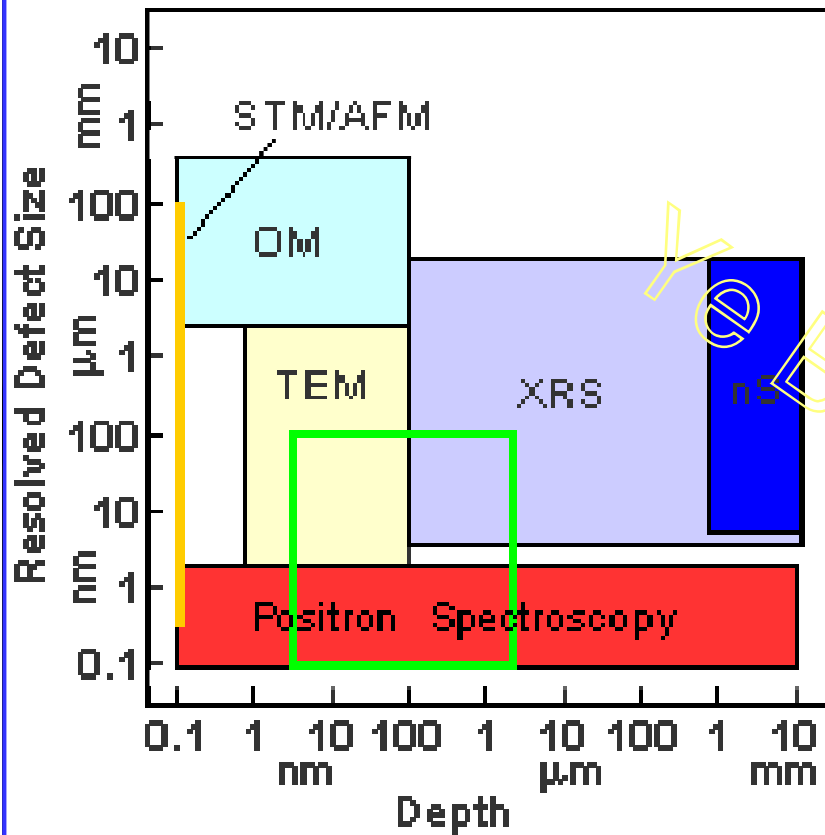
# 正电子技术的优越性

- 对缺陷及原子尺度的微结构变化极为灵敏；
- 无损探测；
- 可探测真实表面（几个原子层）的物理化学信息；
- 探测物体内部局域电子密度及动量分布；
- 正电子是电子的反粒子，容易与电子分辨，又可形成电子偶素；
- 慢正电子技术具有能量可调性，因而可获得缺陷或结构不均匀性沿样品深度的分布。





# 正电子技术与其它技术



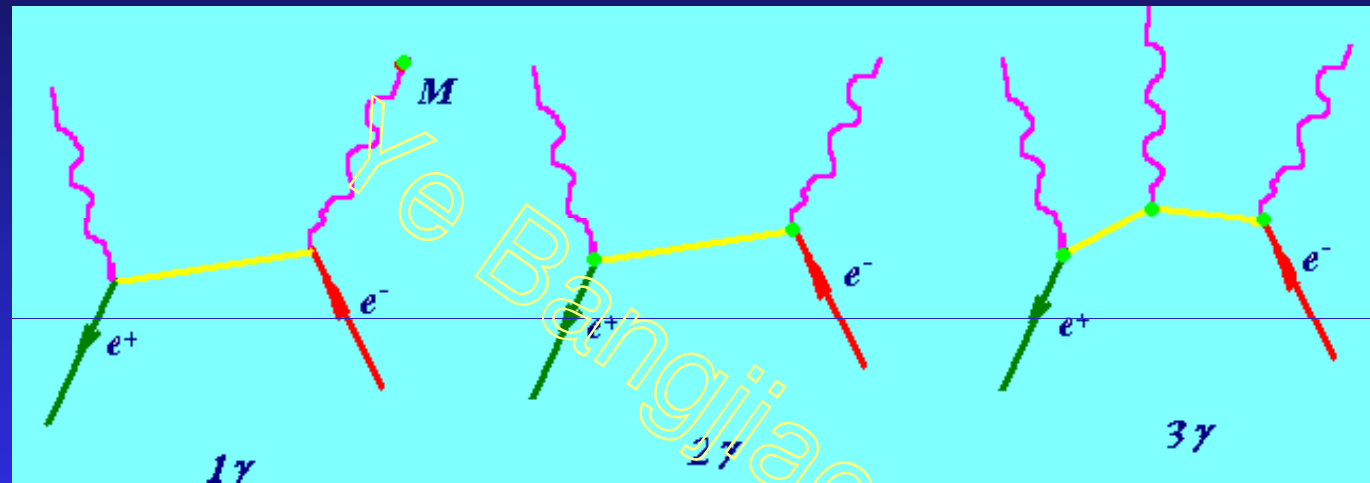
OM: Optical Microscopy

nS: neutron Scattering

TEM: Transmission Electron Microscopy XRS: X-Ray Scattering

STM: Scanning Tunneling Microscopy AFM: Atomic Force Microscopy

# 正电子湮灭



主要湮灭途径：单光子，双光子和三光子

单光子湮灭只有存在着吸收反冲动量的第三个粒子时才有可能





在费曼图中，每增加一个顶点，湮灭截面就要乘以一个因子 $\alpha$ ， $\alpha$ 是精细结构常数

$$\alpha = \frac{e^2}{hc} = \frac{1}{137}$$

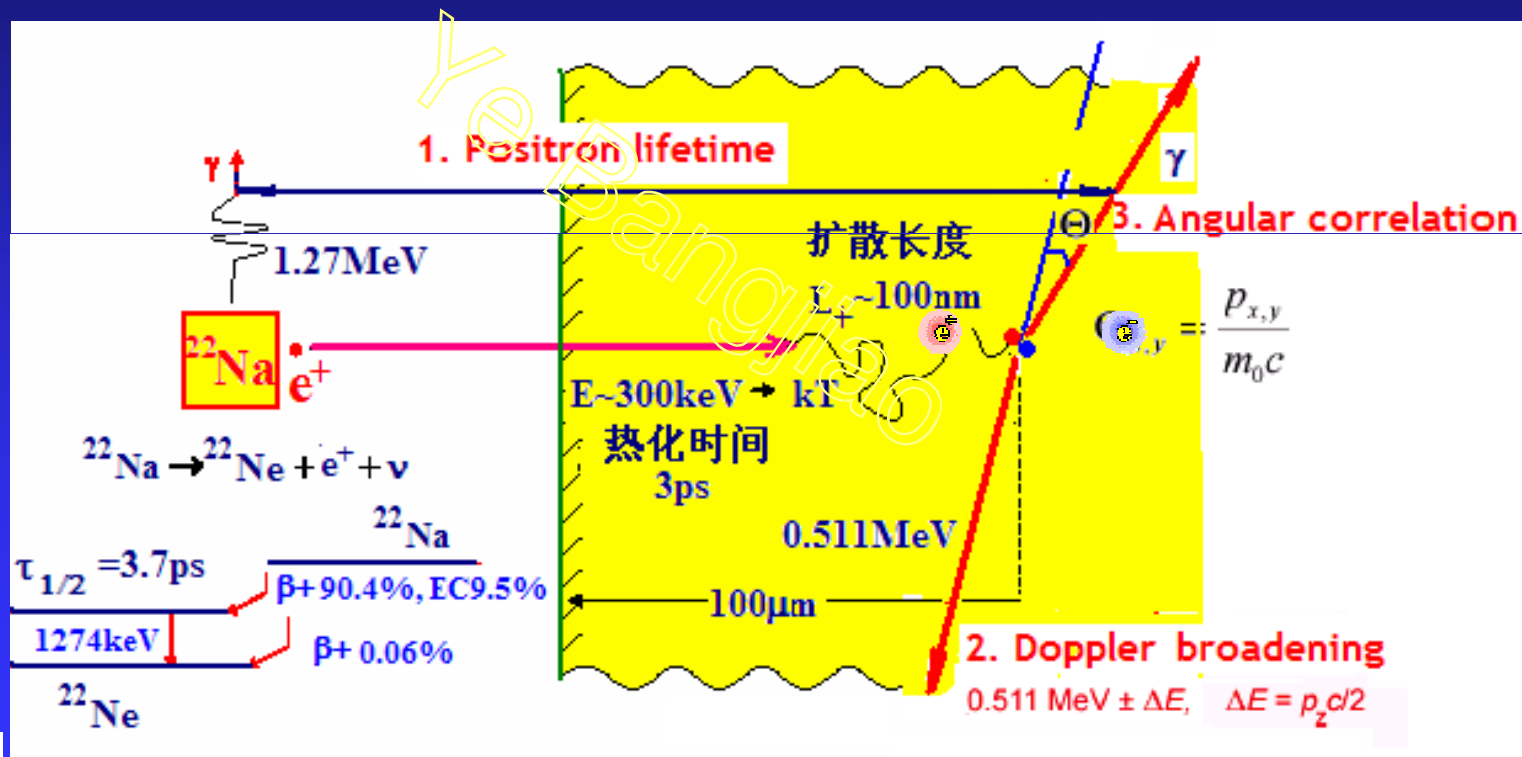
对单光子湮灭，还要乘以减弱因子，因为湮灭只有存在着吸收反冲动量的原子附近发生，这个因子正比于 $\alpha^3$ 。

所以三种湮灭之间的关系为：

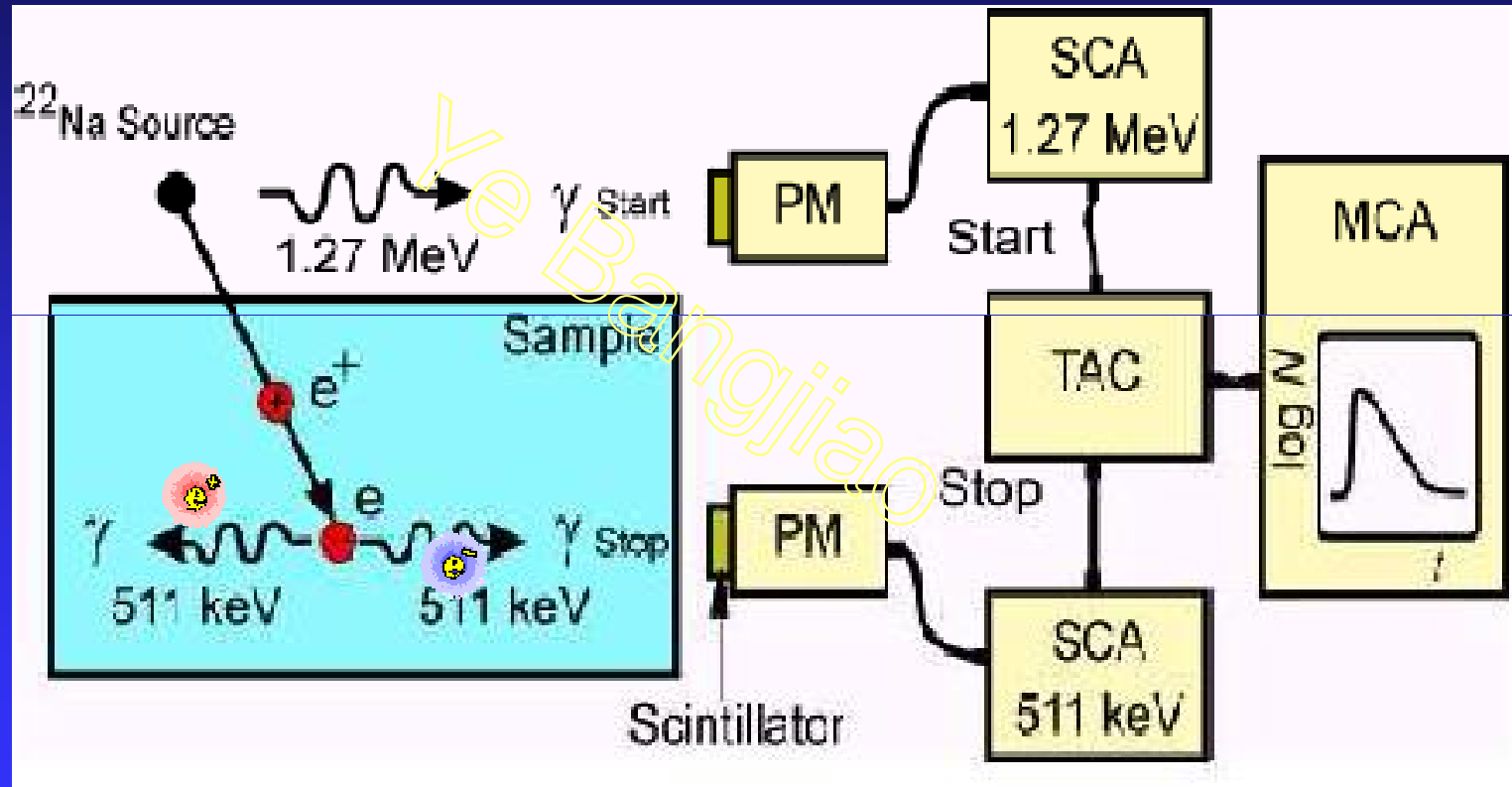
$$\frac{\sigma_{3\gamma}}{\sigma_{2\gamma}} = \frac{\alpha^3}{\alpha^2} = \alpha = \frac{1}{137}, \quad \frac{\sigma_{1\gamma}}{\sigma_{2\gamma}} = \frac{\alpha^6}{\alpha^2} = \alpha^4 \approx 10^{-8},$$



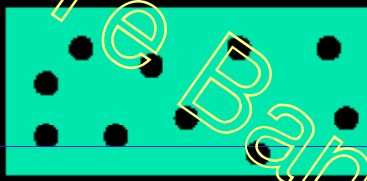

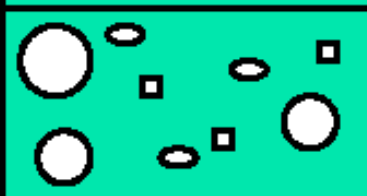

# 正电子湮灭基本测量技术



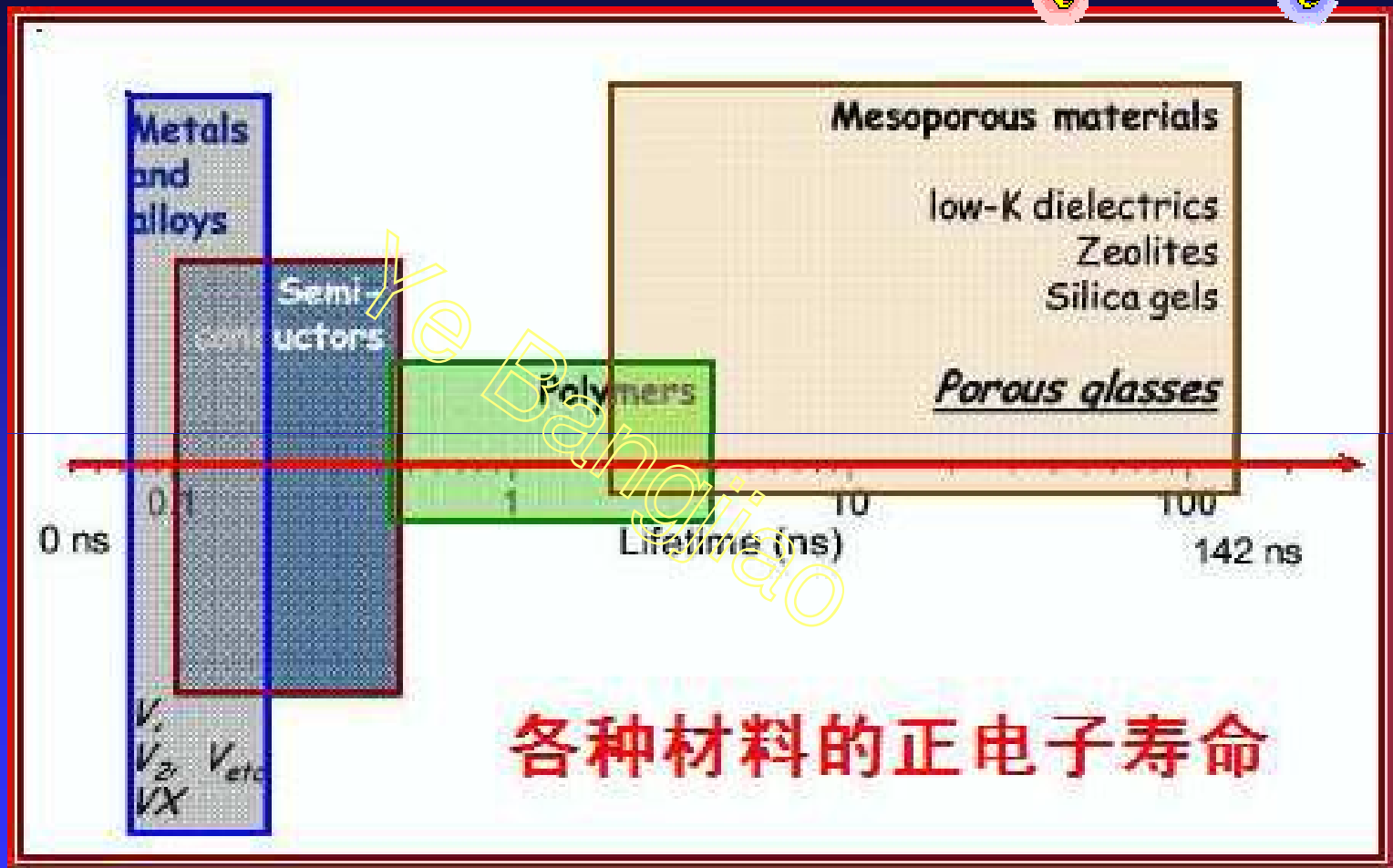
# ● 寿命测量



# Defects in Materials

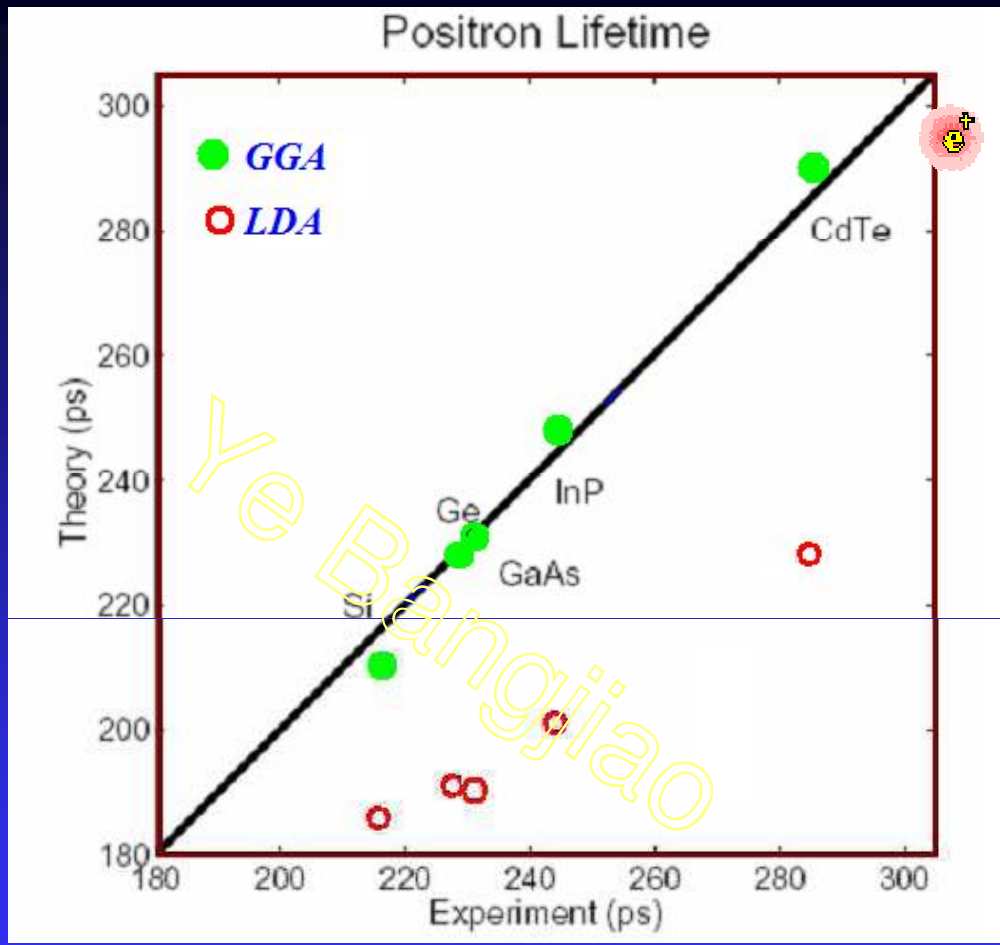
Defect Type		Size	Materials
Atomic Vacancies		.1 nm	Metals
Dislocations		1 nm-10 μm	Metals
Voids		.1 nm-1 μm	Composites
Holes		.1 nm-10 μm	Polymers





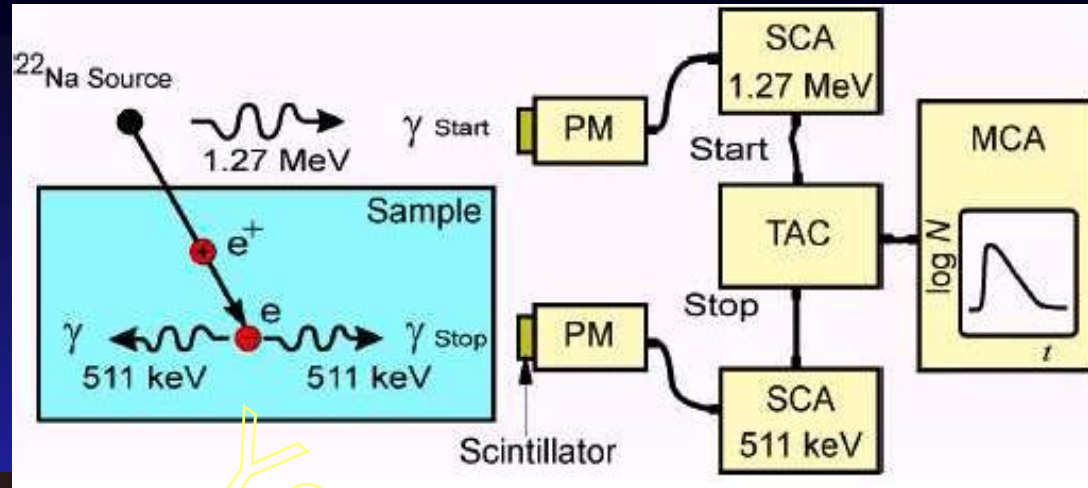
各种材料的正电子寿命





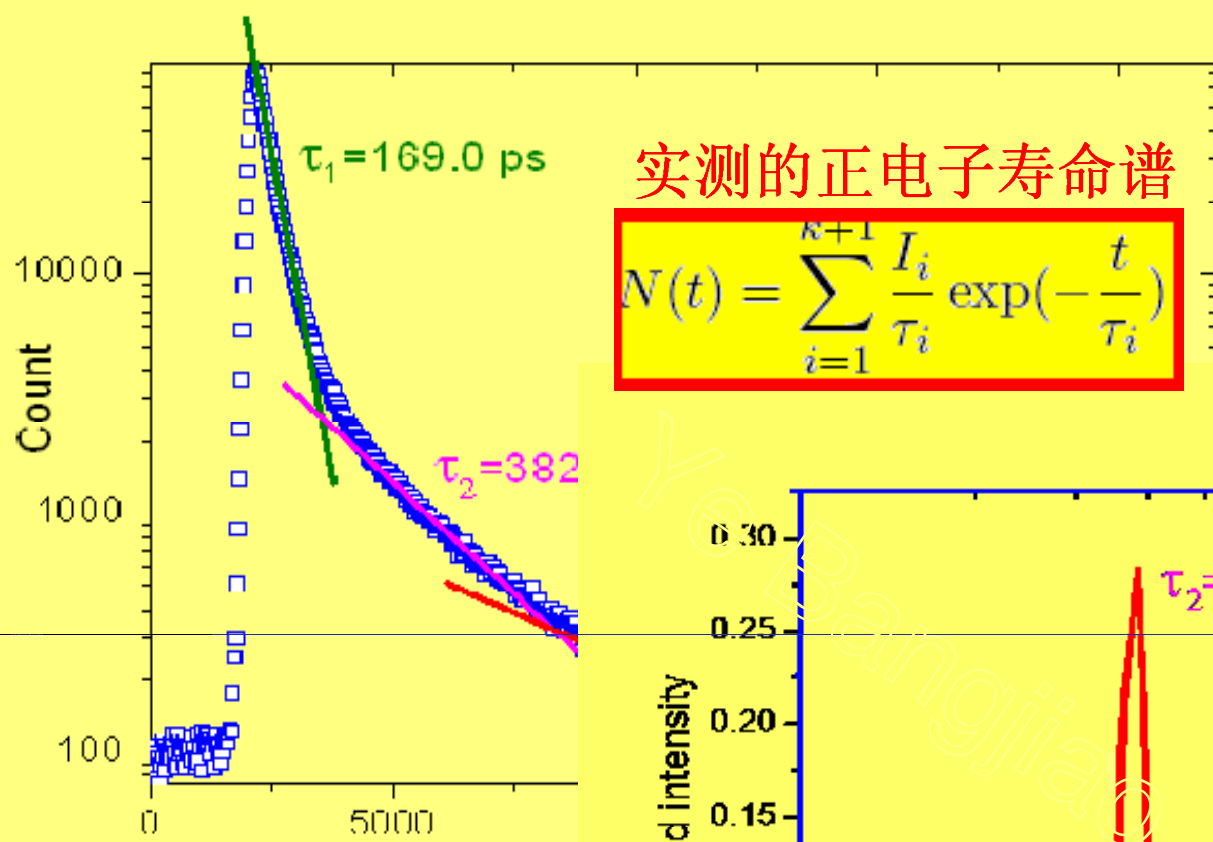
Positron lifetimes for some semiconductors. The solid and open circles give the **Generalized Gradient Approximation (GGA)** and the **Local-Density Approximation (LDA)** results as a function of the experimental ones, respectively.







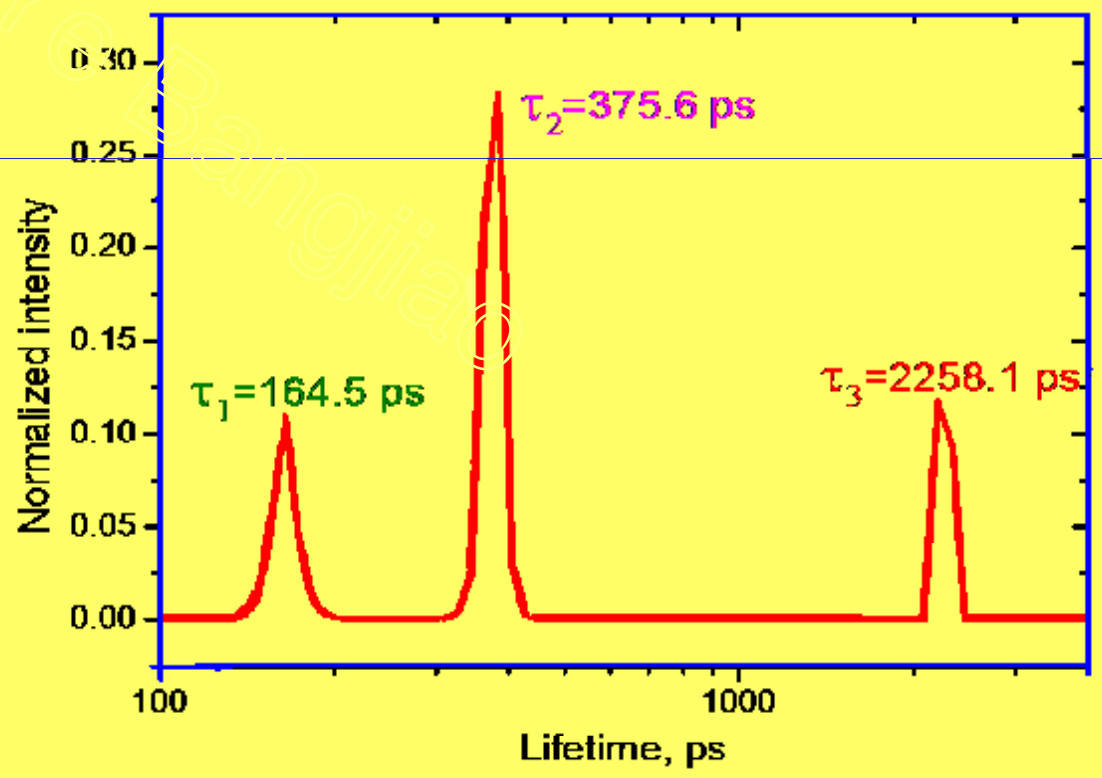


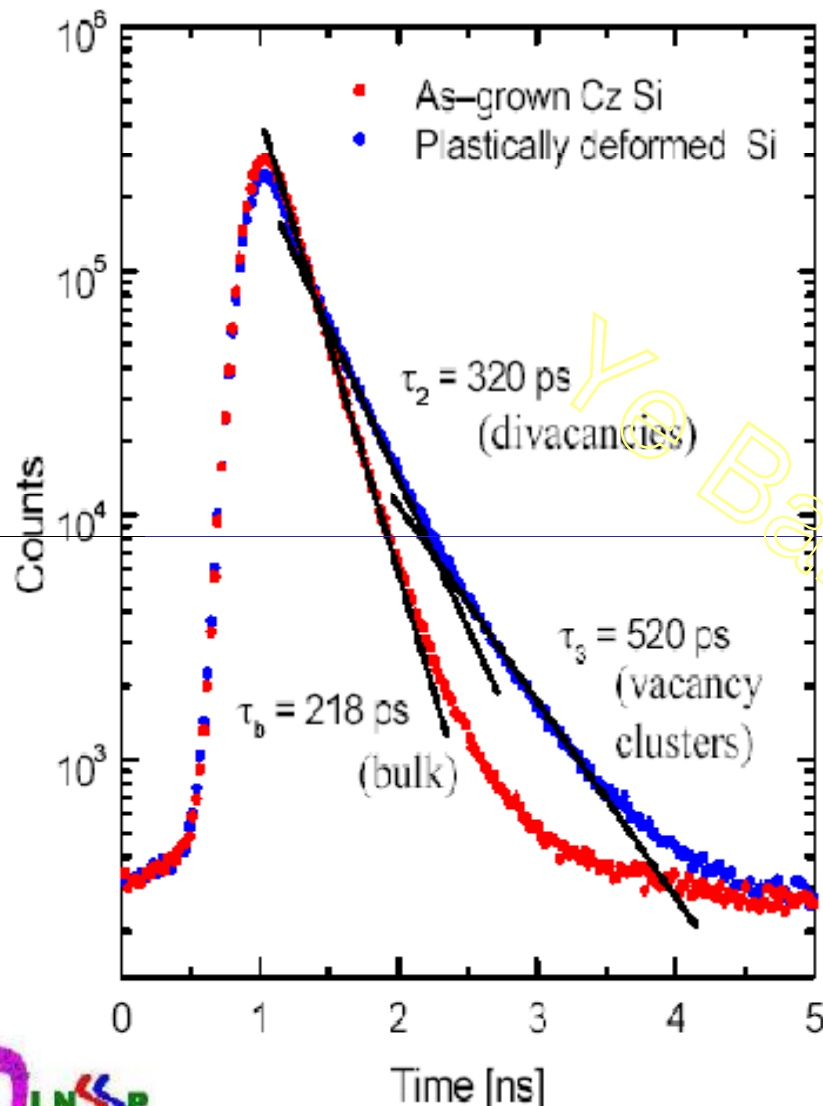


实测的正电子寿命谱

$$N(t) = \sum_{i=1}^{n+1} \frac{I_i}{\tau_i} \exp\left(-\frac{t}{\tau_i}\right)$$

MELT拟合结果





- positron lifetime spectra consist of exponential decay components
- positron trapping in open-volume defects leads to long-lived components
- longer lifetime due to lower electron density
- analysis by non-linear fitting: lifetimes  $\tau_i$  and intensities  $I_i$

positron lifetime spectrum:

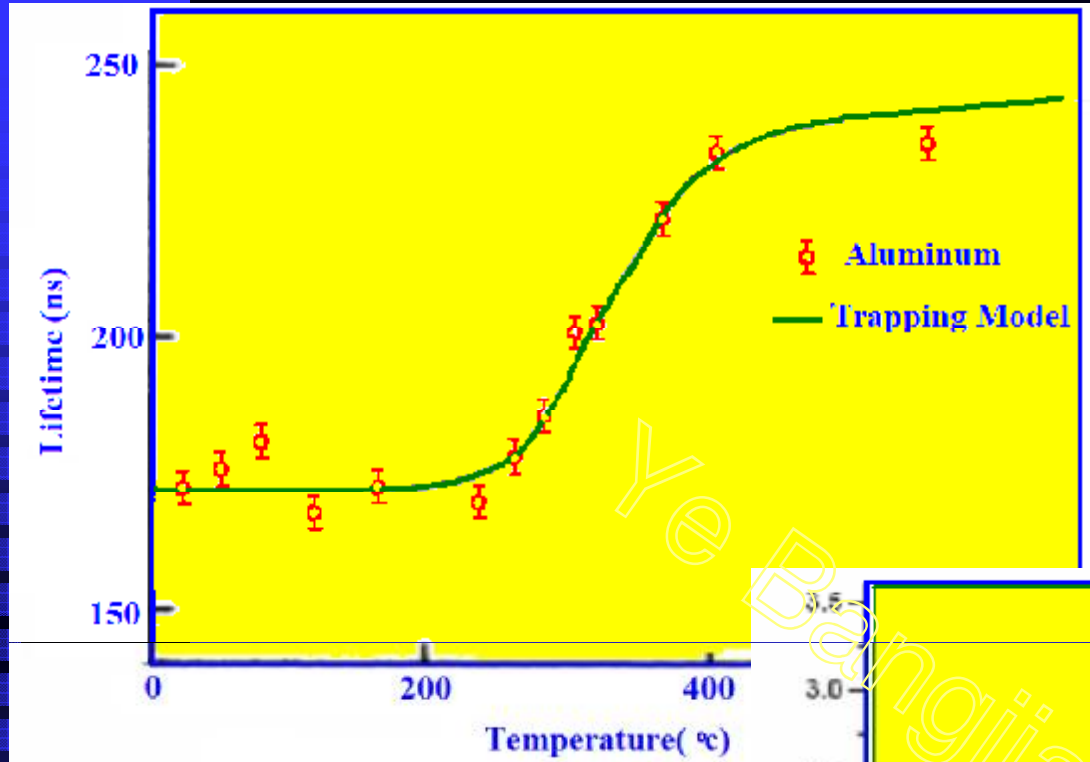
$$N(t) = \sum_{i=1}^{k+1} \frac{I_i}{\tau_i} \exp\left(-\frac{t}{\tau_i}\right)$$

trapping coefficient

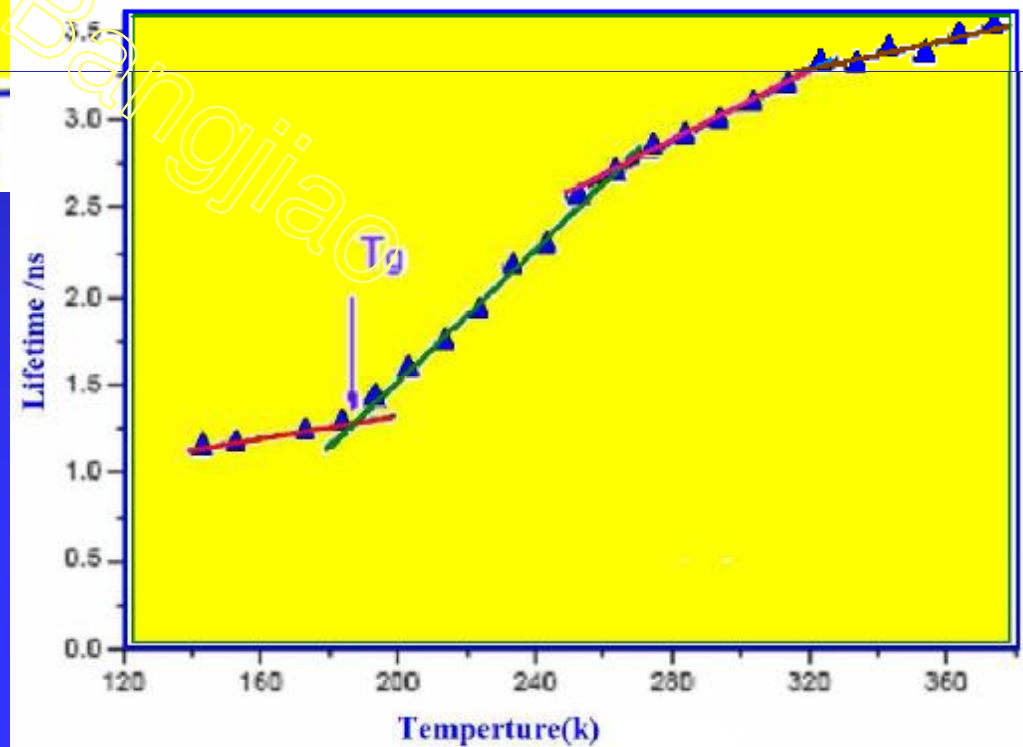
$$\kappa_d = \mu C_d = \frac{I_2}{I_1} \left( \frac{1}{\tau_b} - \frac{1}{\tau_d} \right)$$

trapping rate      defect concentration





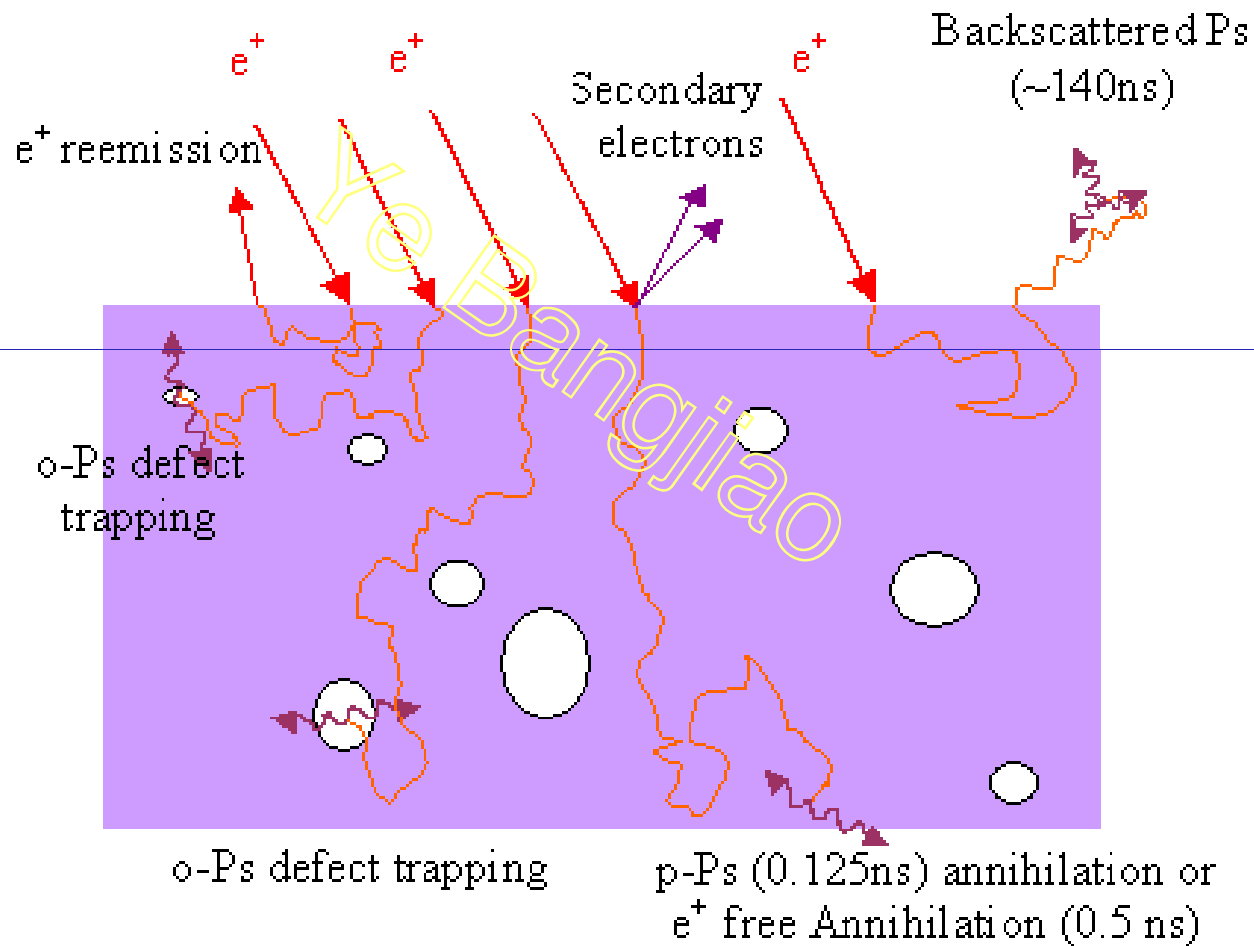
聚乙烯的热弛豫过程



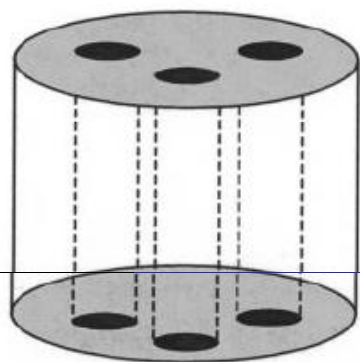
铝的热平衡缺陷



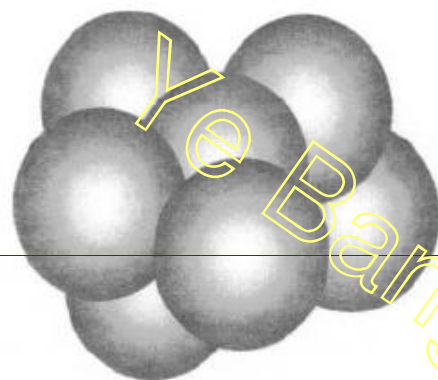
# Positron interactions with condensed matter



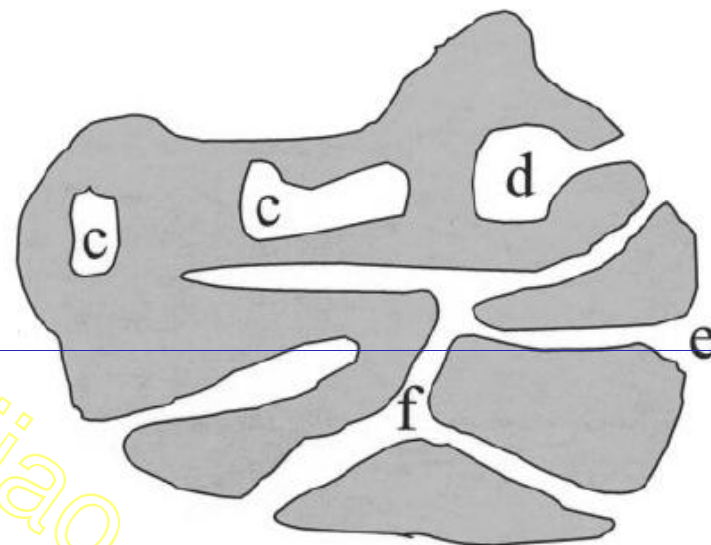
# 介孔结构和尺寸



a



b

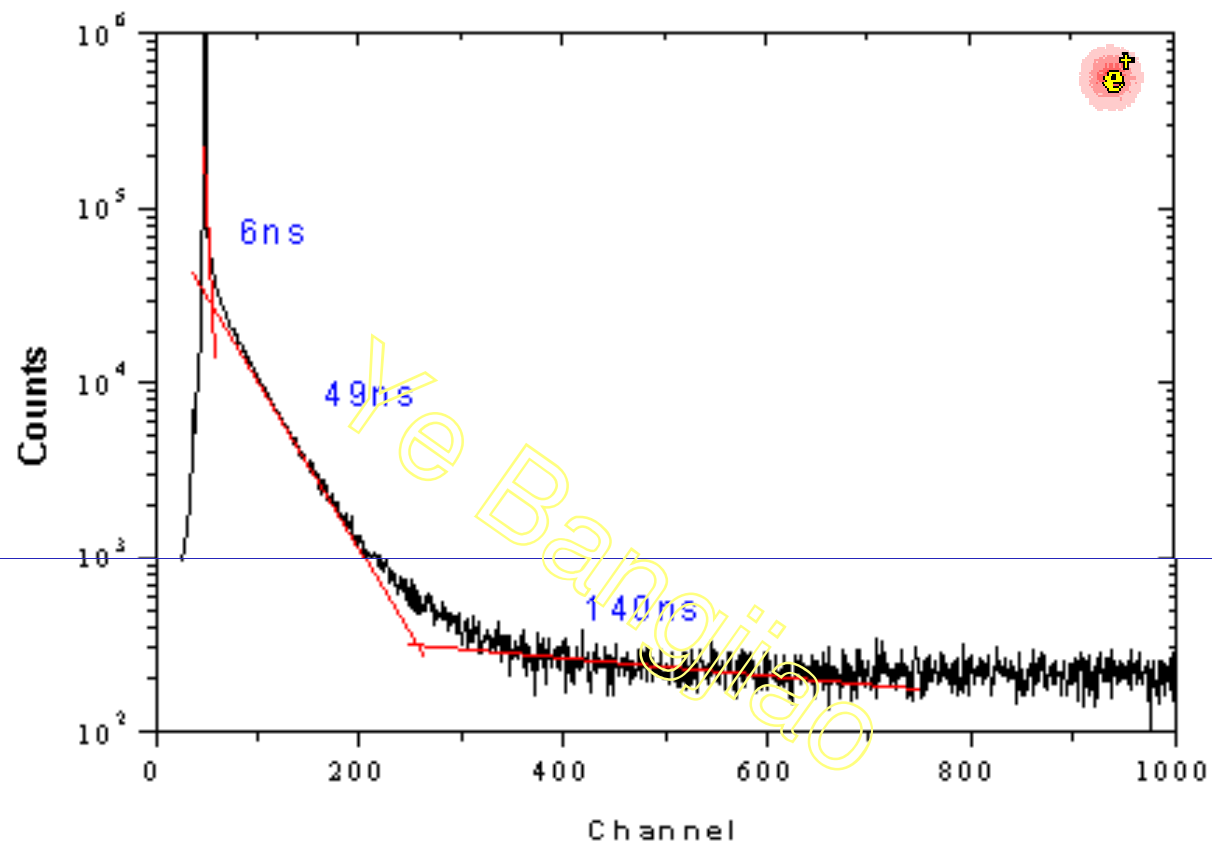


理想化的结构

(a) cylindrical pores; (b) voids between packed spheres and schematic boundary structure showing.

(c) closed (latent) pores; (d) ink bottle; (e) funnel; and (f) open pores.





- A typical PALS spectrum with three film Ps lifetimes fitted using POSFIT.



# T-E公式

Tao 1972,  
J.Chem.Phys. 56, 5499

Eldrup et al. 1981  
Chem. Phys. 63, 51

$$\tau_3 = \frac{1}{2} \left( 1 - \frac{R}{R_0} + \frac{1}{2\pi} \sin \frac{2\pi R}{R_0} \right)^{-1}$$

$$f_v = aV_f I_3$$

R : free volume radius

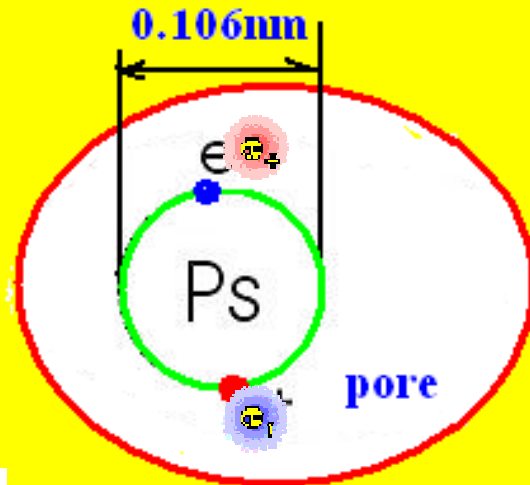
$$R_0 = R + 1.66 \text{ \AA}$$

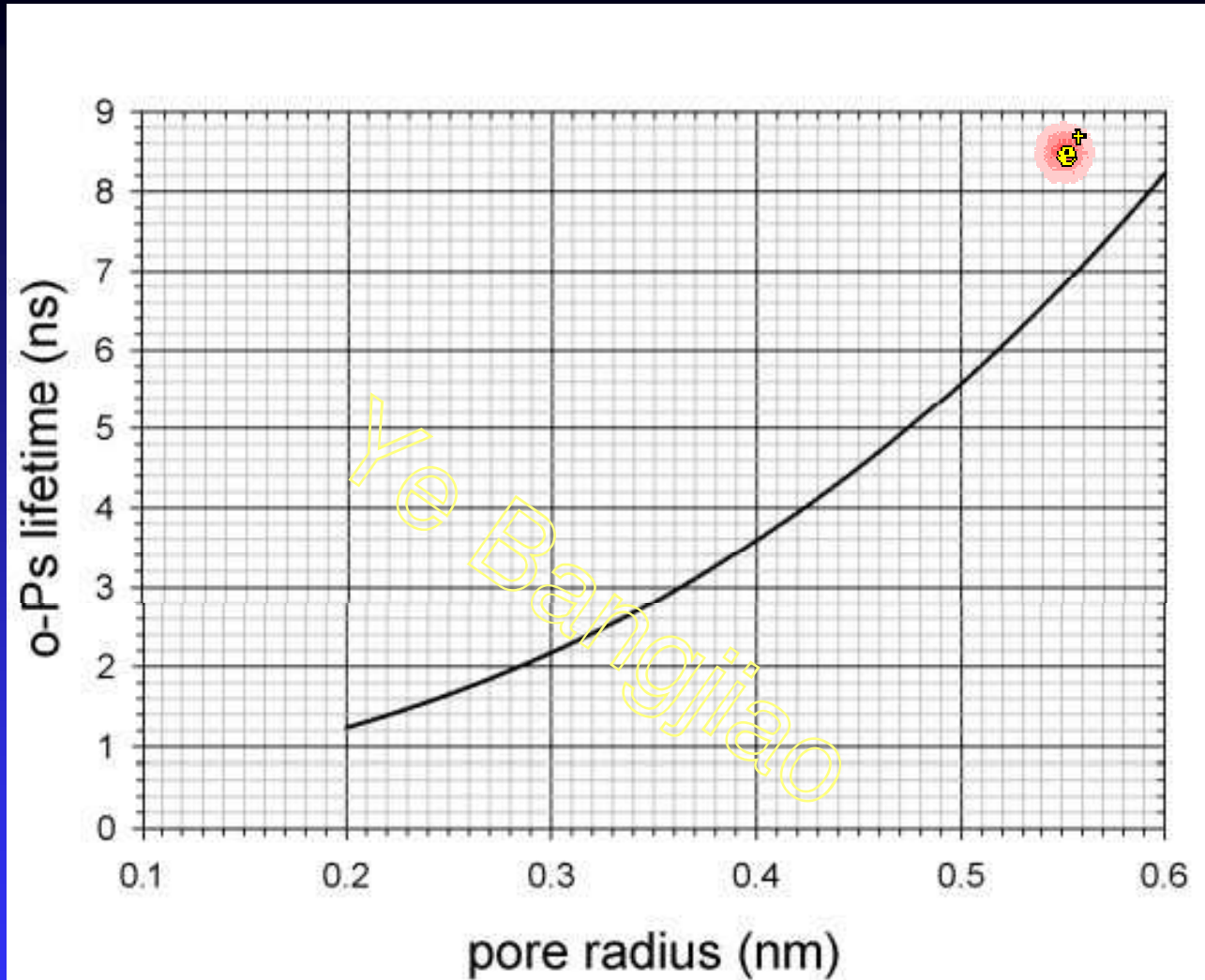
如果半径 > 2.3 nm

$$\frac{1}{\tau} = \frac{1}{\tau_{pick-off}} + \frac{1}{\tau_{self}}$$

where in air = 100 ns but in vacuum 142 ns

Excluded volume





The dependency of o-Ps lifetime versus the pore radius according to the **Tao-Eldrup equation**



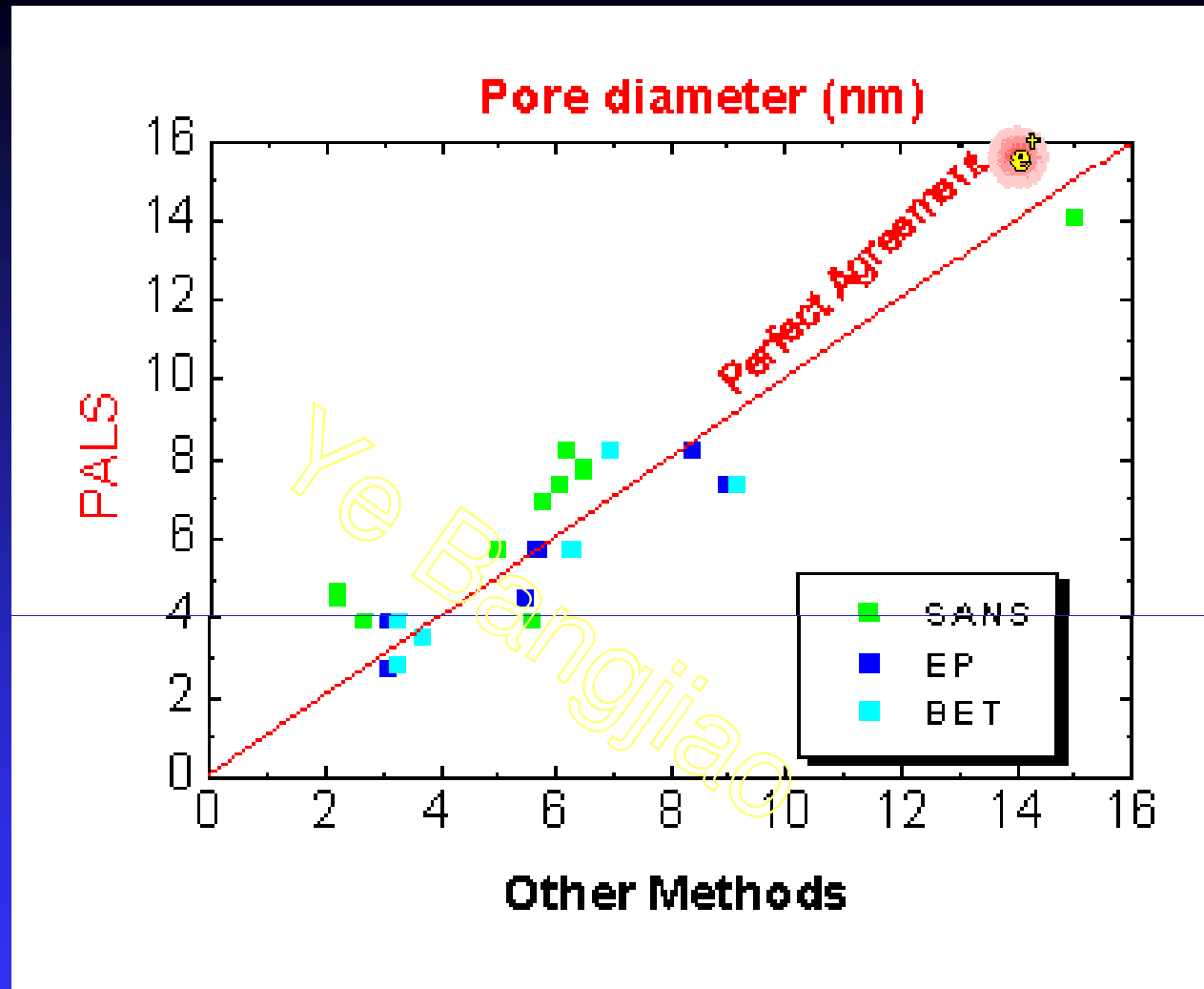


# 介孔尺寸标定

## 介孔分类

Type of porous Si	Corresponding size regime for dominant porosity (nm)
Microporous	$\leq 2$
Mesoporous	2–50
Macroporous	$> 50$



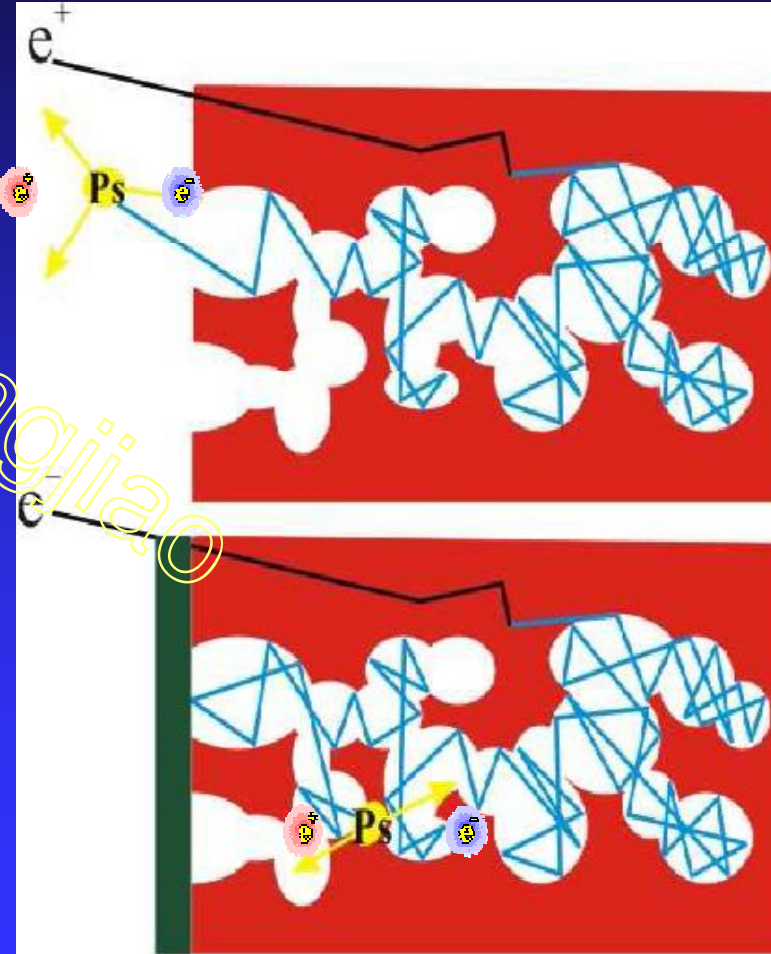


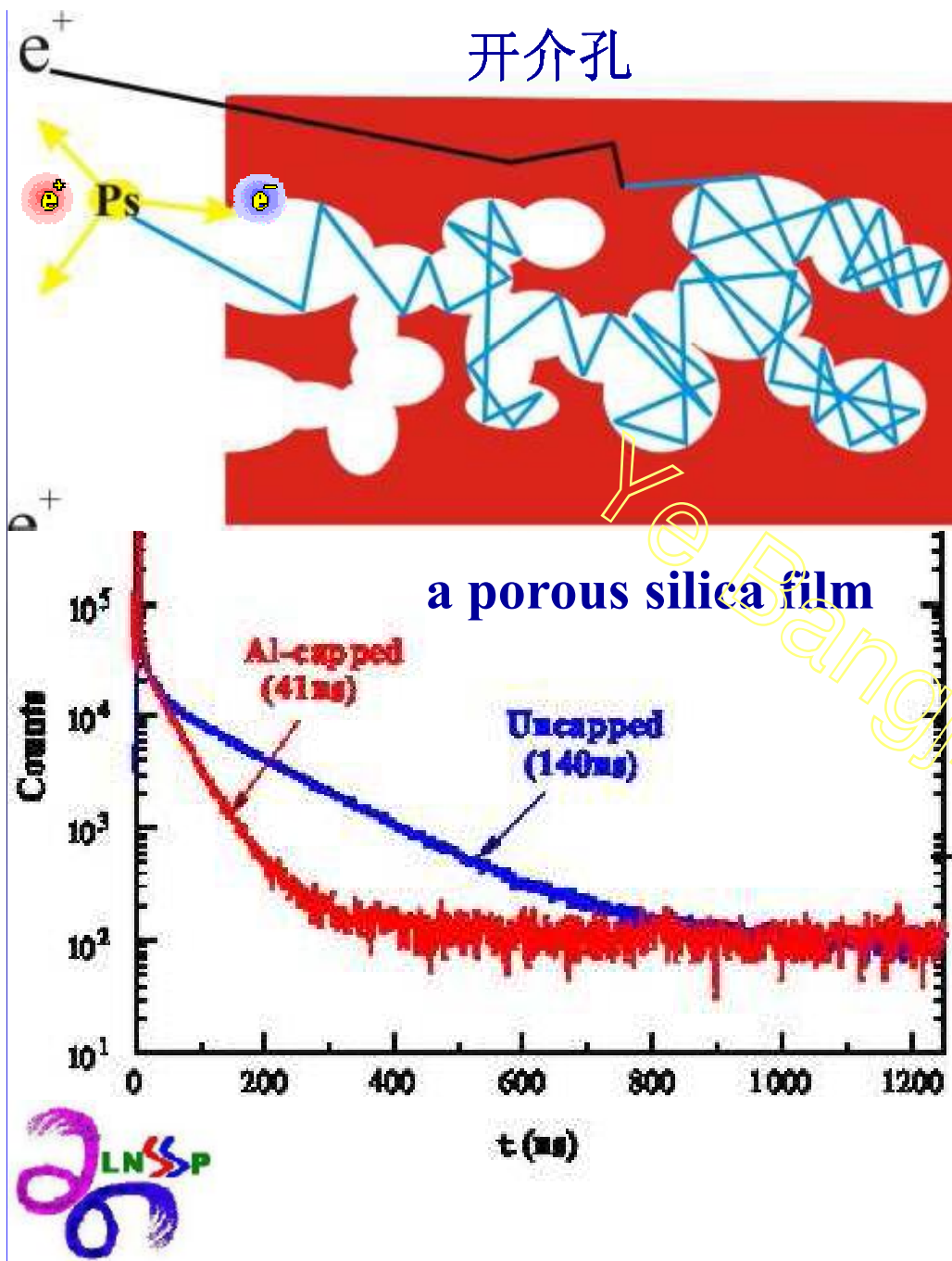
**Comparison on PALS technique with other methods**



# Open Porosity

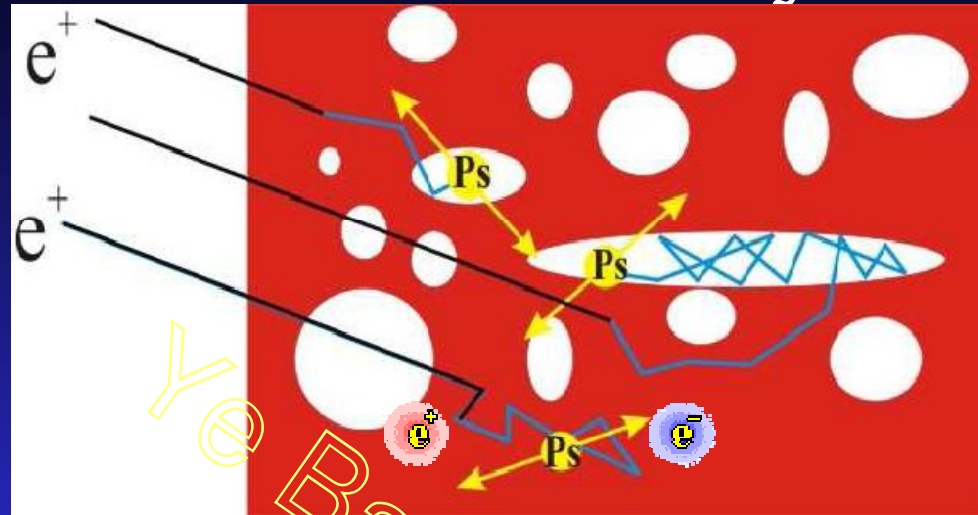
- Ps 在室温下的速率为  $8 \times 10^6$  cm/s, 在寿命期内在直径为 5-10nm 的介孔内可以有  $1-2 \times 10^6$  次碰撞.
- Ps 可以容易地扩散回到真空表面, 大部分的 Ps 湮灭发生在表面真空 (142 ns).





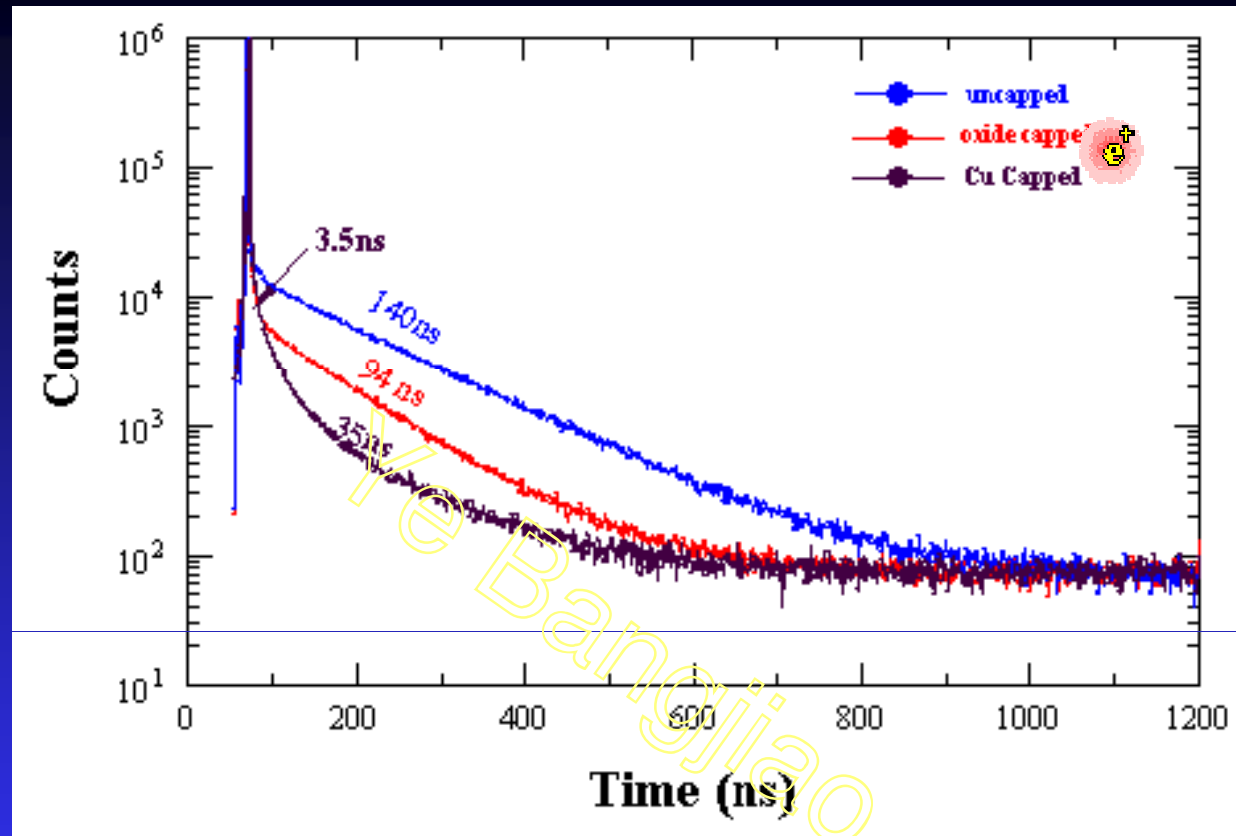
- 典型的开介孔寿命谱.
- 一个较短寿命(<0.5 ns)的特征峰来自于正电子或 Ps 在介孔和块体上的湮灭;
- 另一个长寿命分量占 (35 - 40%).
- 长寿命分量的拟合值是140 ns,即在真空中湮灭.表明介孔内部是高度连通,Ps 可以容易扩散到真空表面.

# Closed Porosity



# Capped Porosity

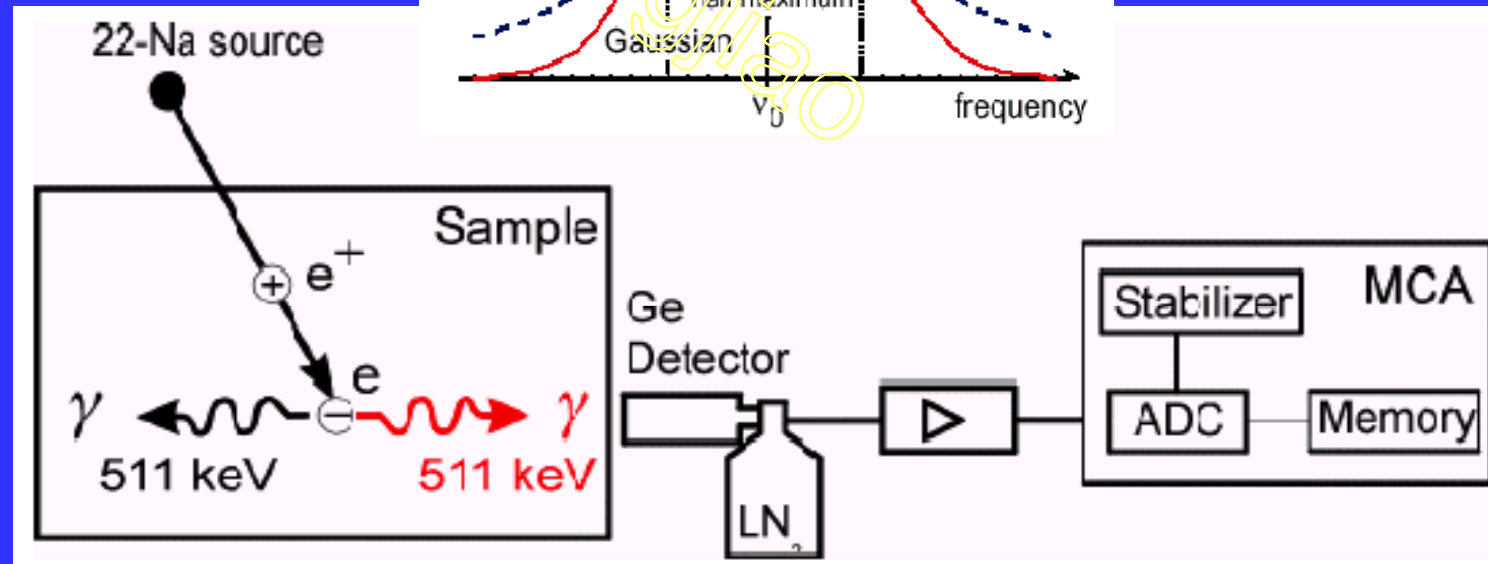
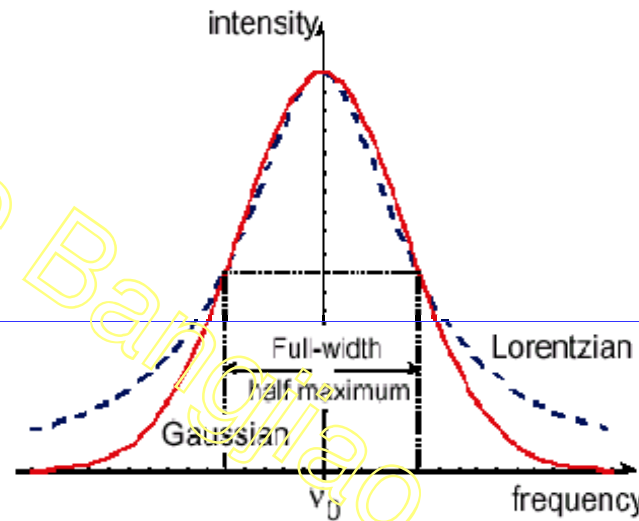




- ❑ A Cu-capped porous silica film : 35ns and 3.5 ns;
- ❑ Oxide-capped silica film : 94 ns;
- ❑ This reduction of the Ps lifetime is almost certainly due to Cu coating on the inner pore surfaces where Ps annihilation would be enhanced by the high density of free electrons in Cu.

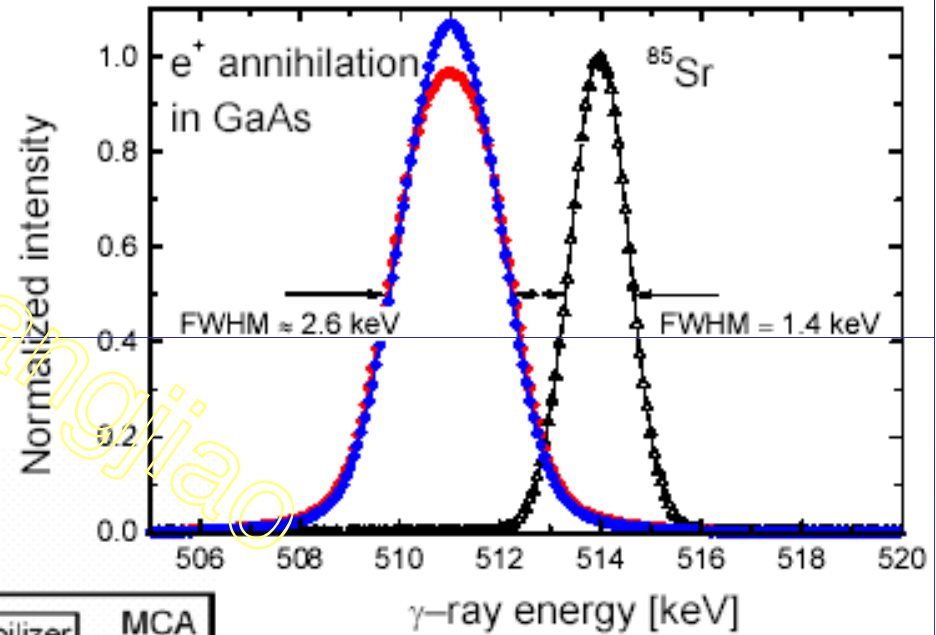
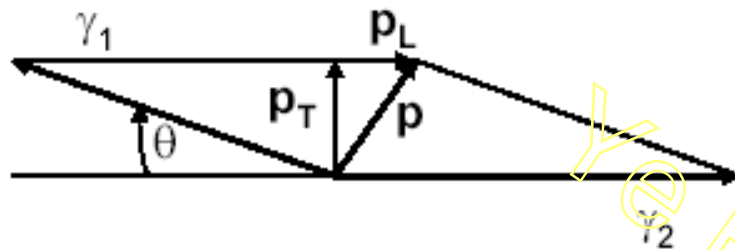


# ● 多普勒展宽

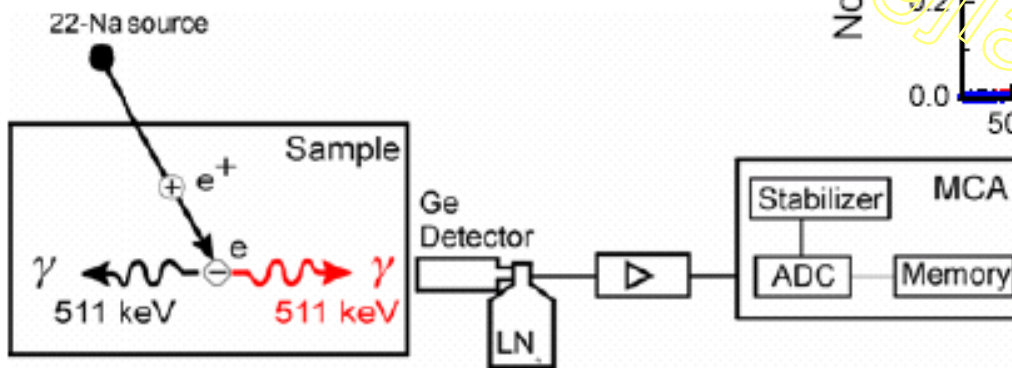


## Doppler effect

- electron momentum in propagation direction of 511 keV  $\gamma$ -ray leads to Doppler broadening of annihilation line



## Technique

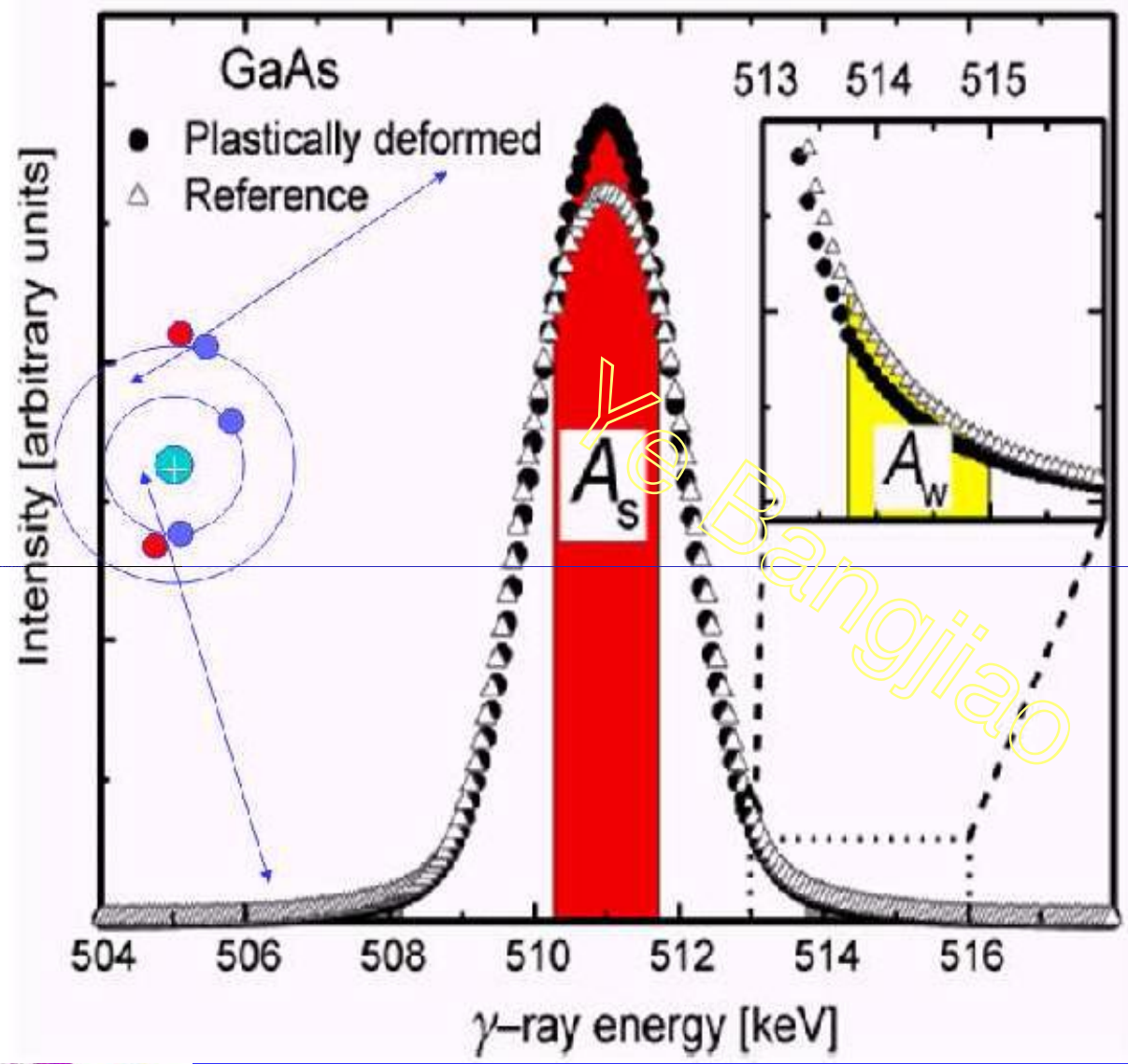


$$E_1 - E_2 = p_L c$$

$E_1, E_2$  – energy of  $\gamma$  quanta







- Data Treatment
- Line Parameters
- "Shape" parameter

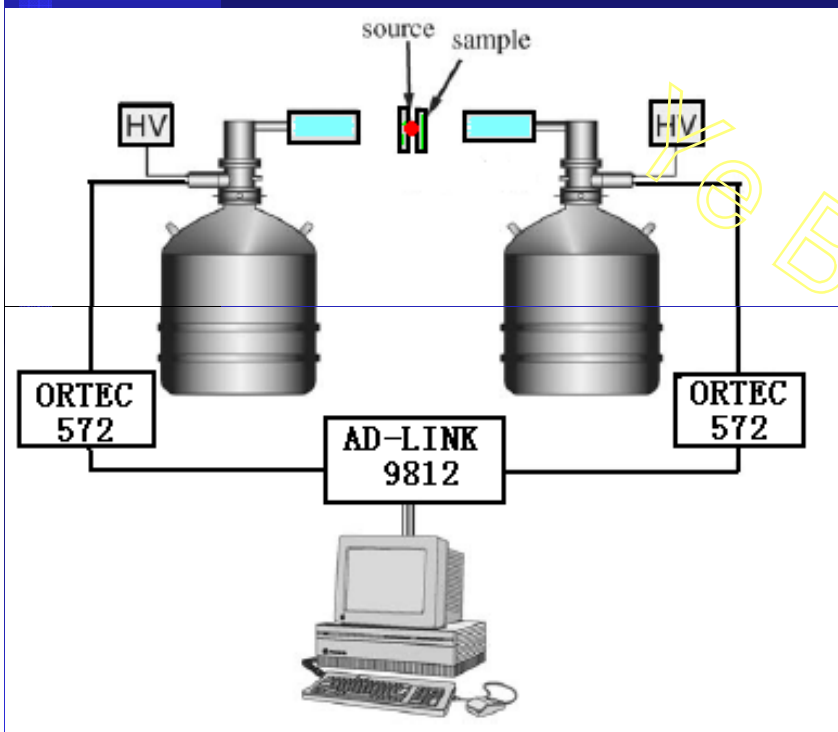
$$S = \frac{A_s}{A_0}, \quad A_s = \int_{E_0 - E_s}^{E_0 + E_s} N_D dE$$

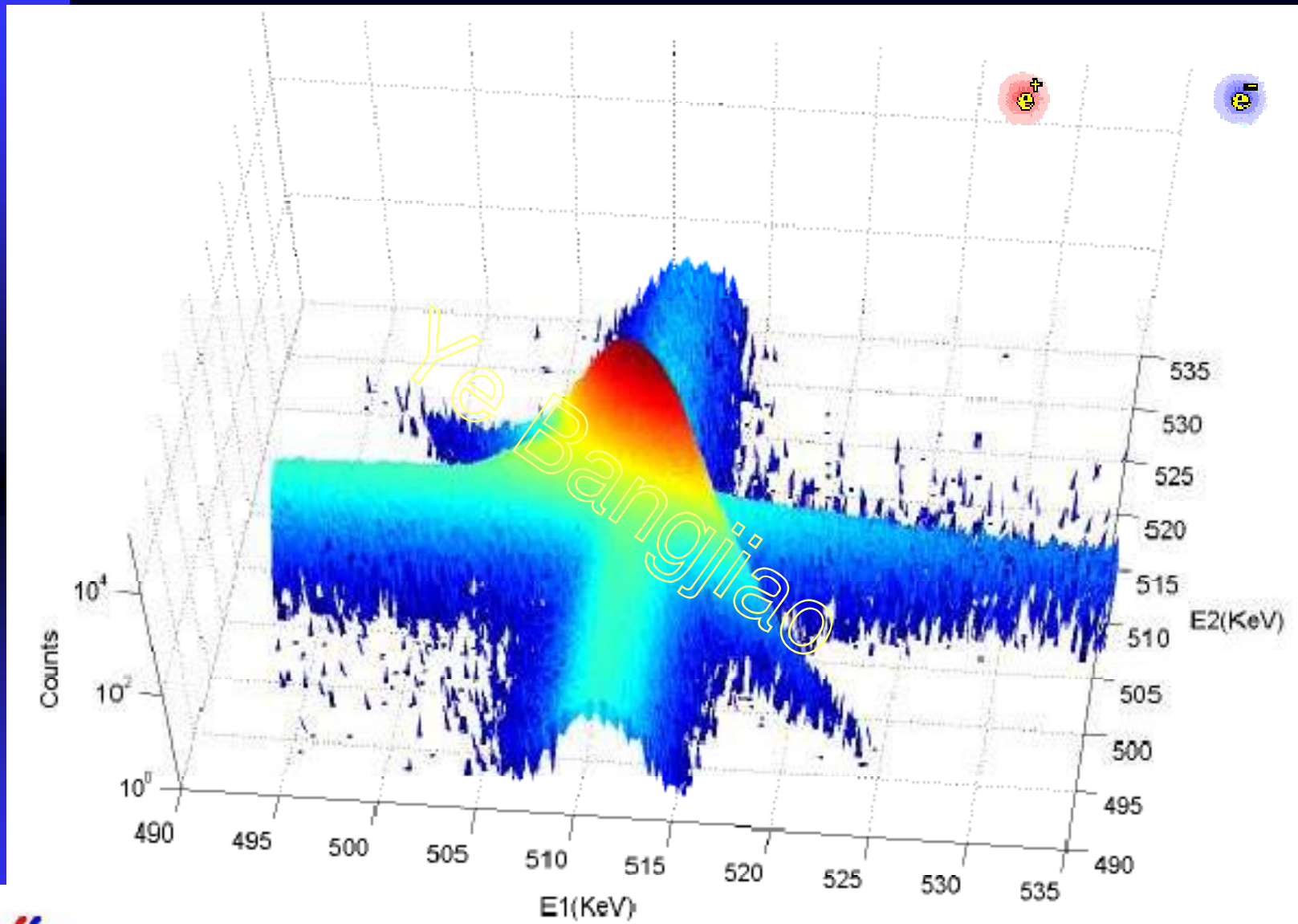
- "Wing" parameter

$$W = \frac{A_w}{A_0}, \quad A_w = \int_{E_1}^{E_2} N_D dE$$

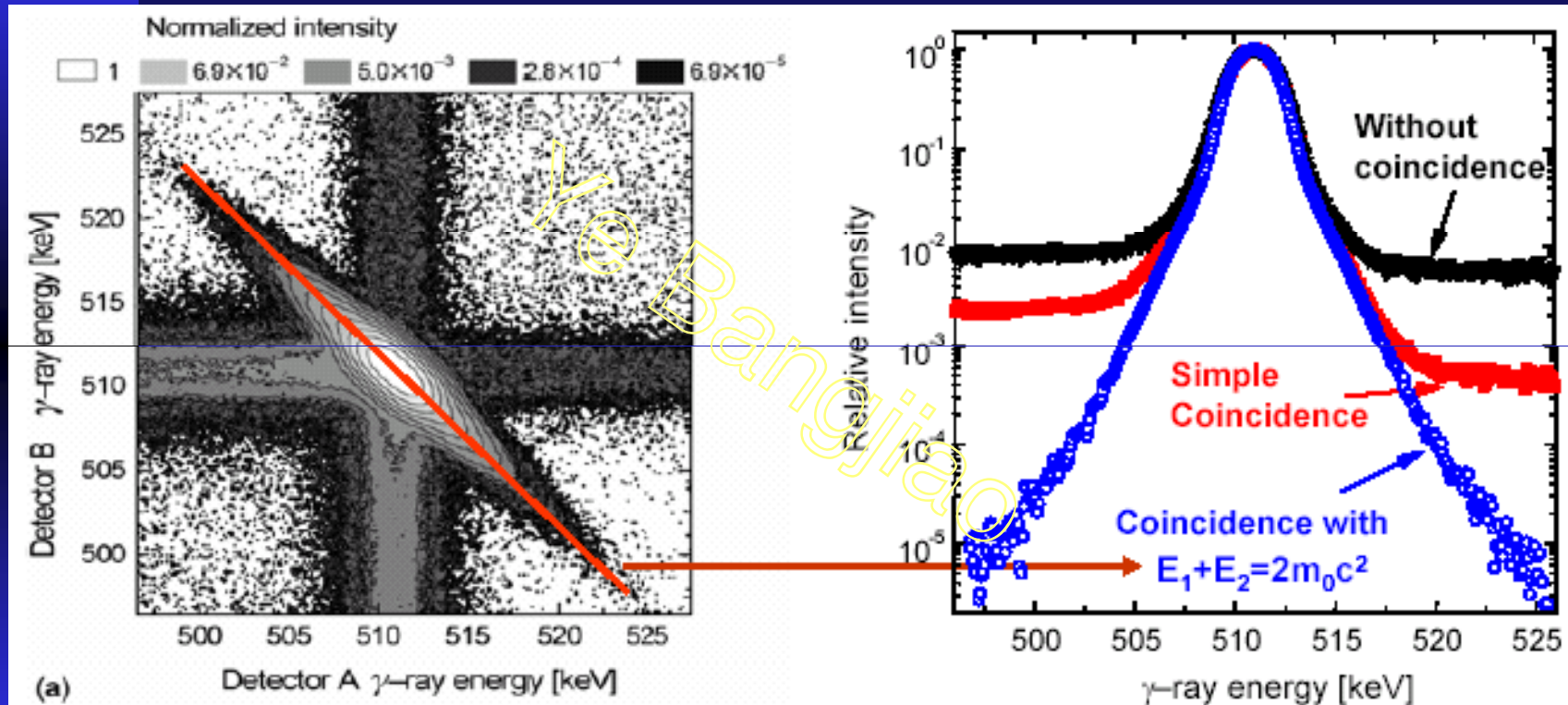


# Doppler coincidence spectroscopy





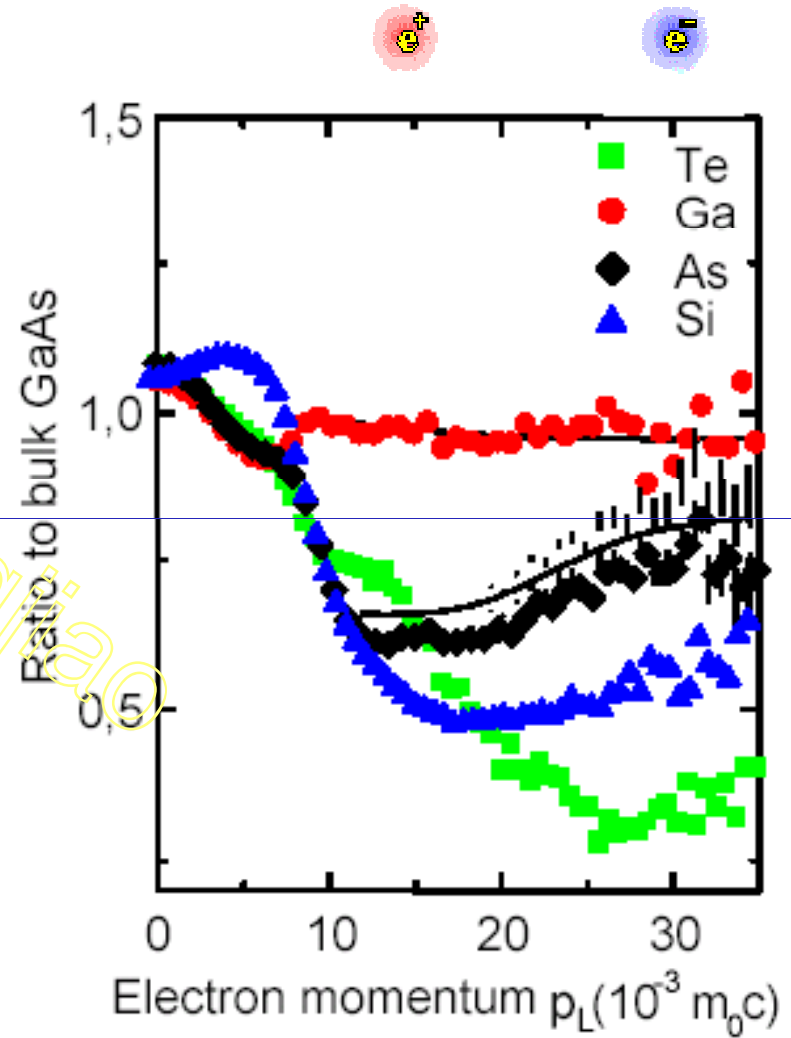
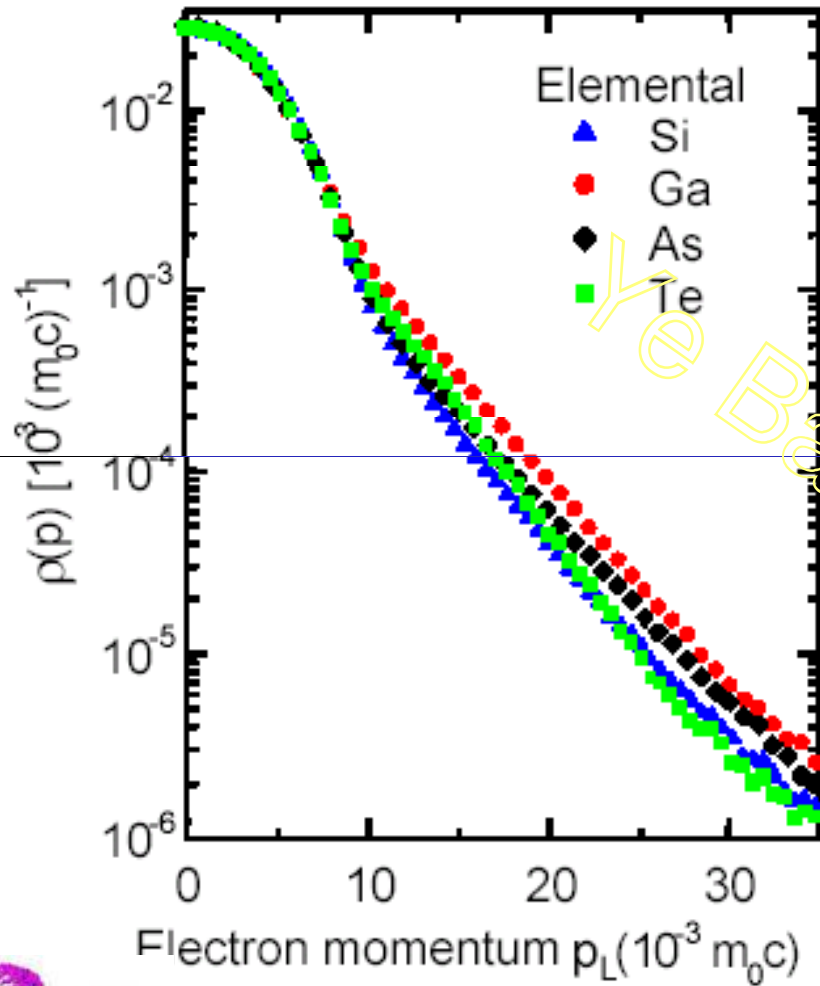
# Doppler coincidence spectroscopy



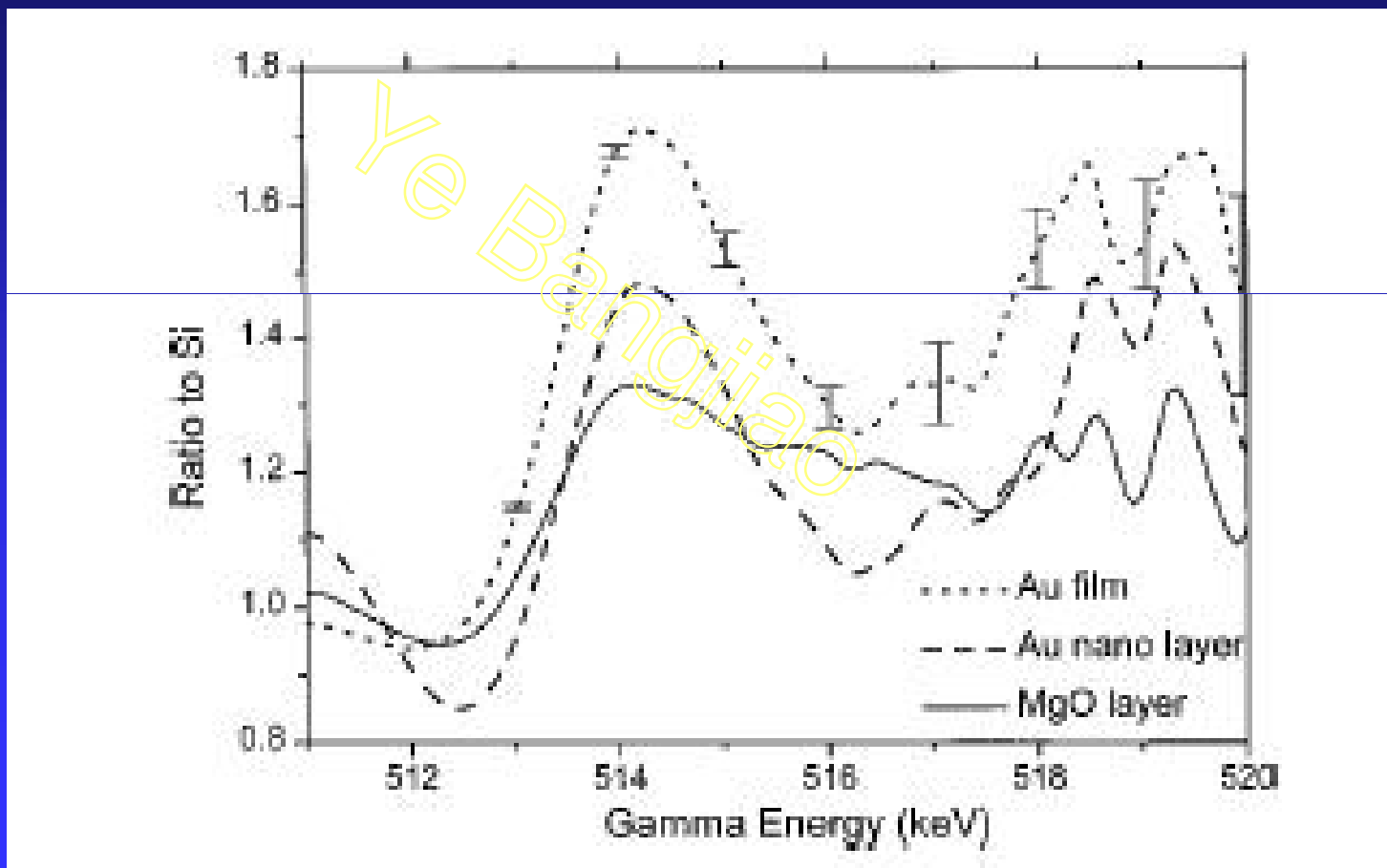
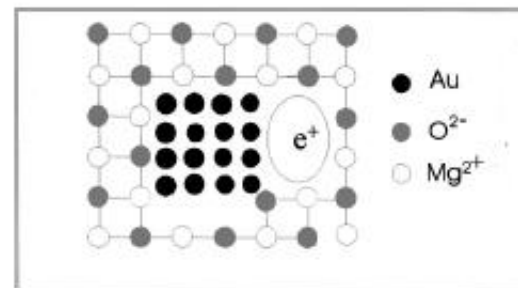
提高峰底比 $\sim 10^5$



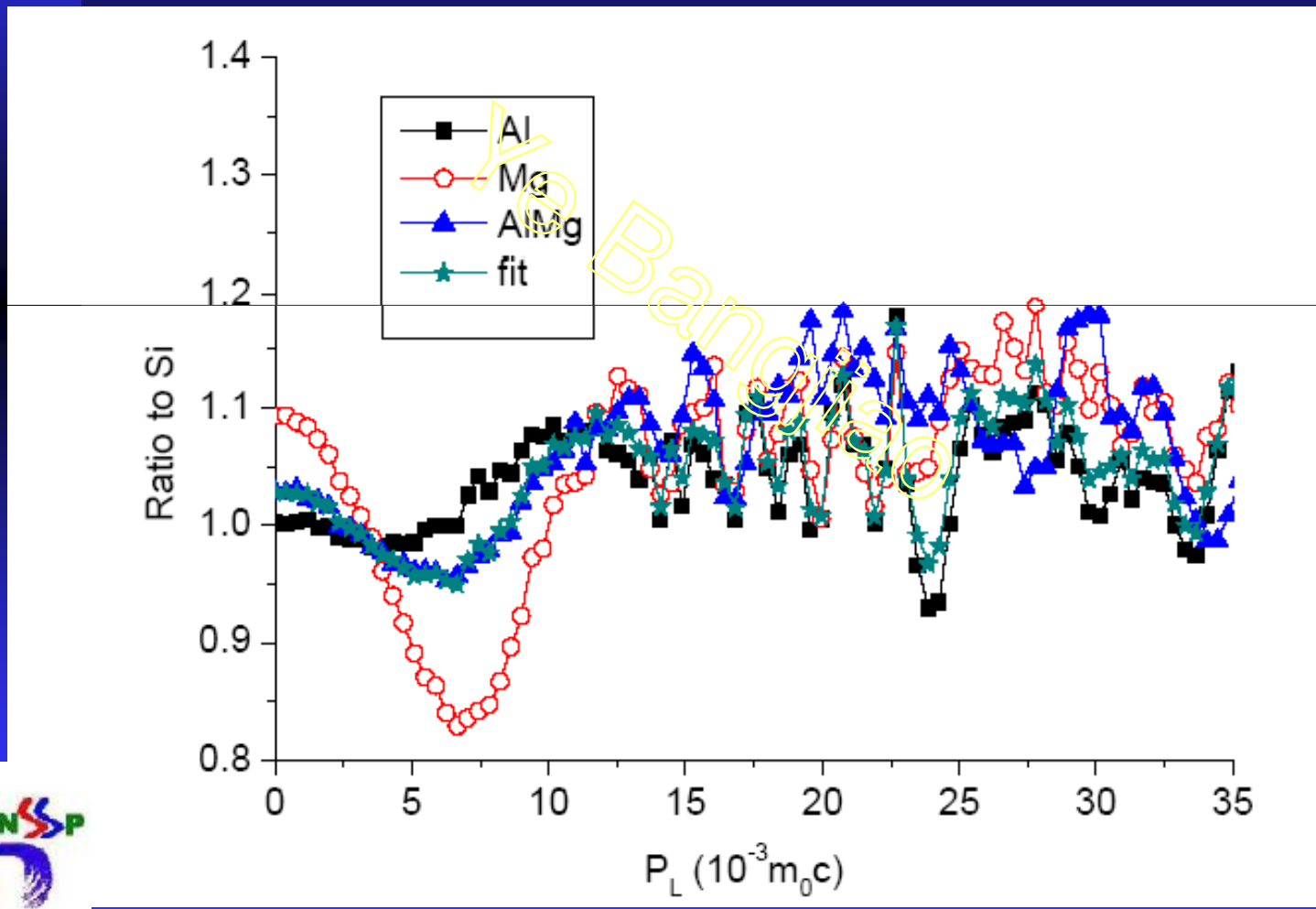
chemical sensitivity of energy spectra



# 元素的“指纹鉴别”



	比例	亲和势(eV)	湮灭比例
AlMgCr	97.25/2.5/0.25	-4.41/-6.18/-2.62	69.6/29.8/0.6



## 第四周期元素:

Ti:  $[\text{Ar}]3d^24s^2$

V:  $[\text{Ar}]3d^34s^2$

Cr:  $[\text{Ar}]3d^44s^2$

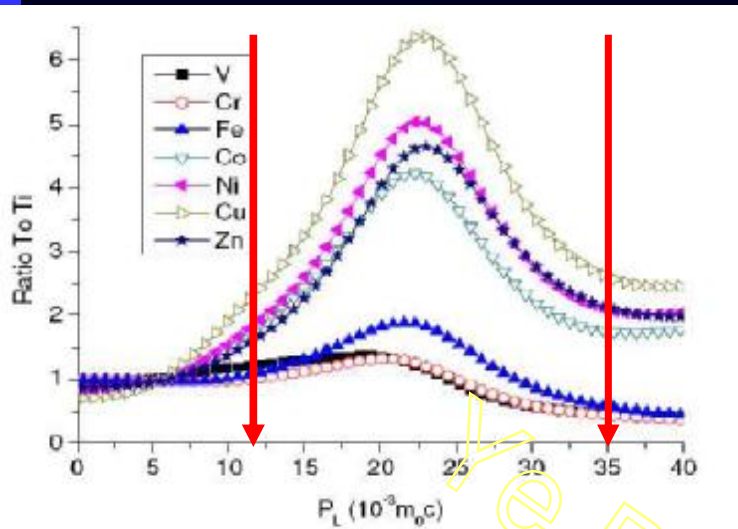
Fe:  $[\text{Ar}]3d^64s^2$

Co:  $[\text{Ar}]3d^74s^2$

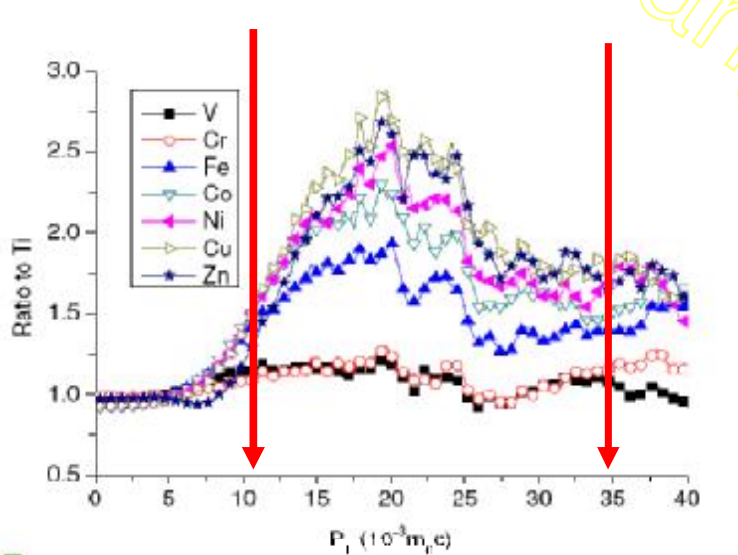
Ni:  $[\text{Ar}]3d^84s^2$

Cu:  $[\text{Ar}]3d^{10}4s^1$

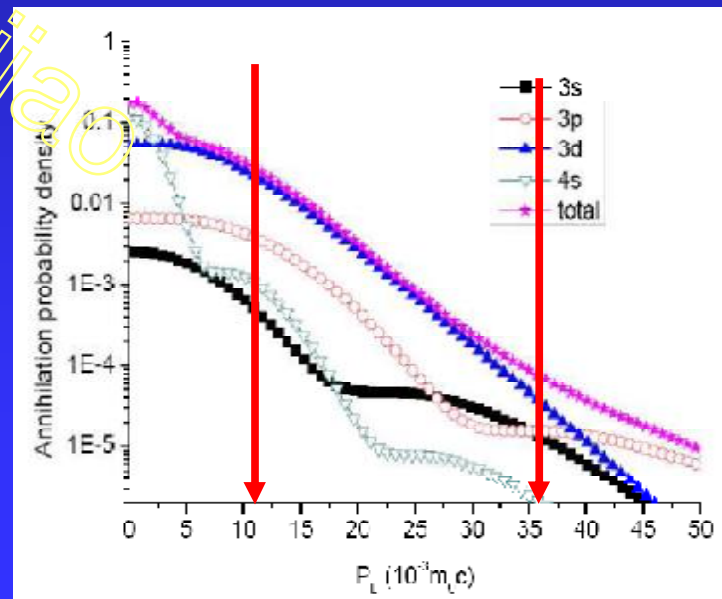
Zn:  $[\text{Ar}]3d^{10}4s^2$



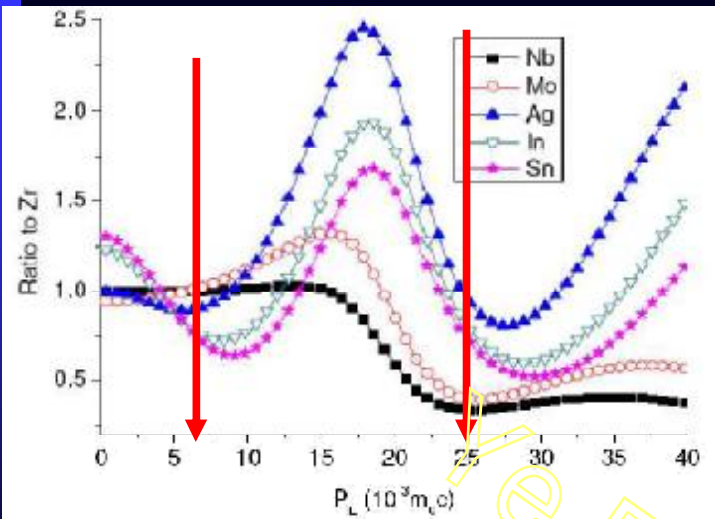
(c) Ti, V, Cr, Fe, Co, Ni, Cu, Zn 理论计算结果



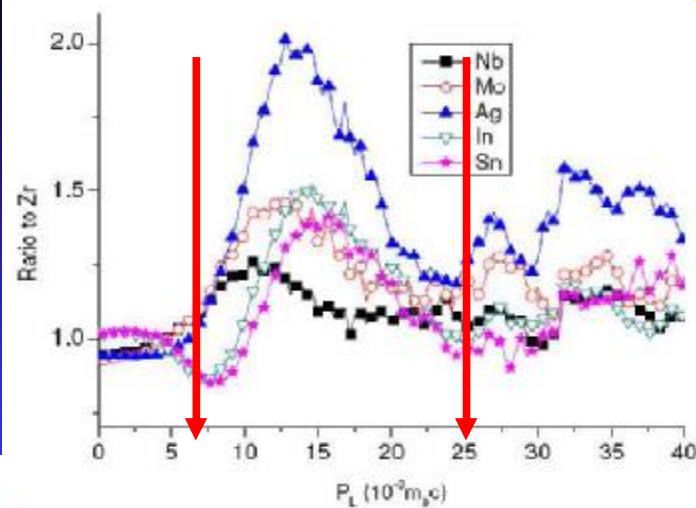
(d) Ti, V, Cr, Fe, Co, Ni, Cu, Zn 实验结果







(e) Zr,Nb,Mo,Ag,In,Sn理论计算结果



(f) Zr,Nb,Mo,Ag,In,Sn实验结果

## 第五周期元素:



Zr:  $[\text{Kr}]4d^25s^2$

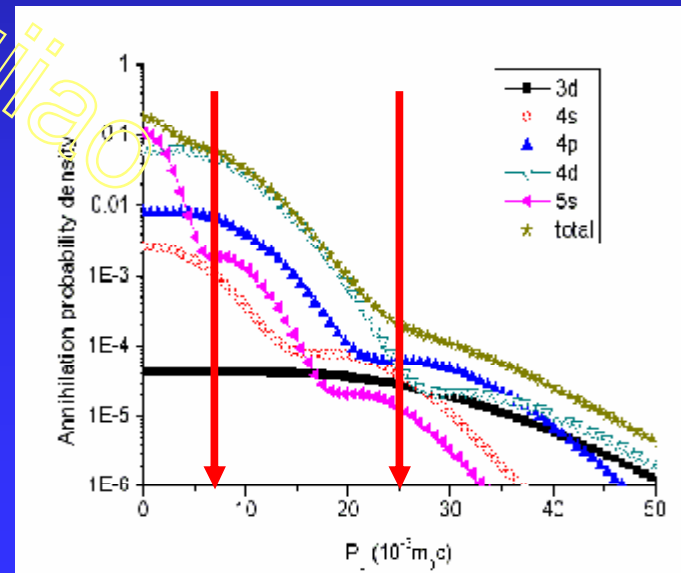
Nb:  $[\text{Kr}]4d^45s^1$

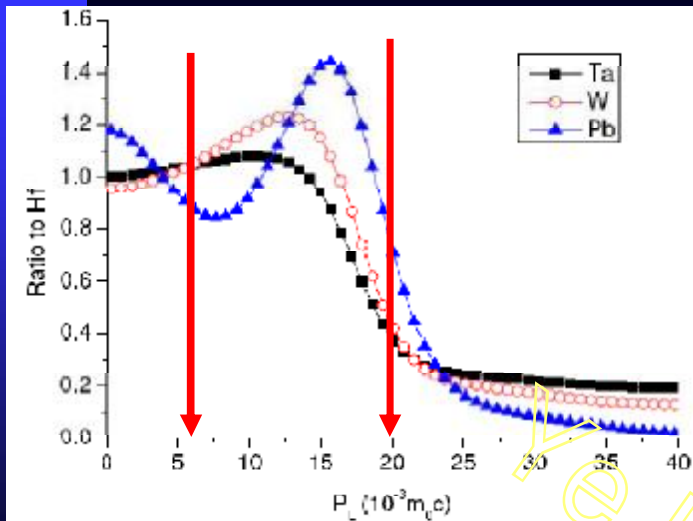
Mo:  $[\text{Kr}]4d^55s^1$

Ag:  $[\text{Kr}]4d^{10}5s^1$

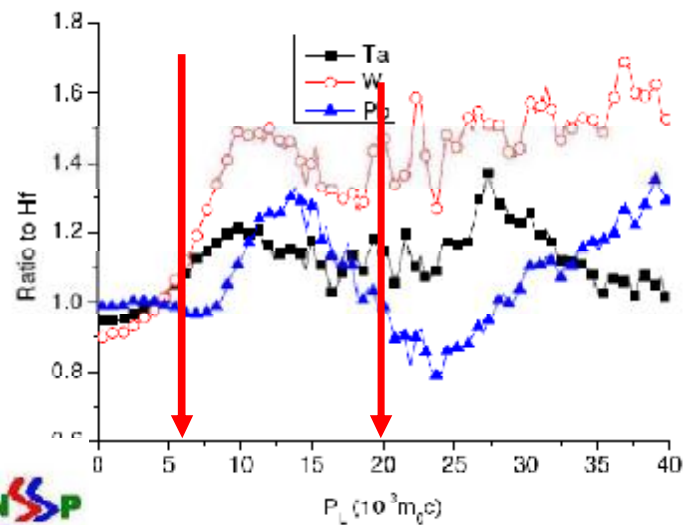
In:  $[\text{Kr}]4d^{10}5s^25p^1$

Sn:  $[\text{Kr}]4d^{10}5s^25p^2$





(g) Hf, Ta, W, Pb 理论计算结果



(h) Hf, Ta, W, Pb 实验结果

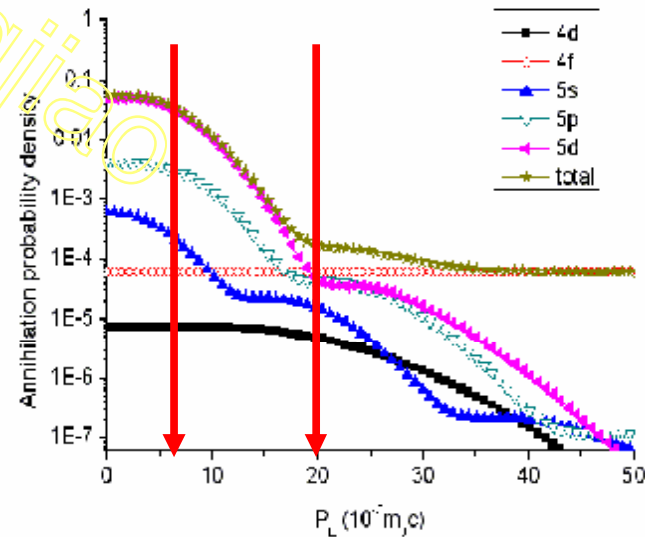
## 第六周期元素

Hf:  $[\text{Xe}]4f^{14}5d^26s^2$

Ta:  $[\text{Xe}]4f^{14}5d^36s^2$

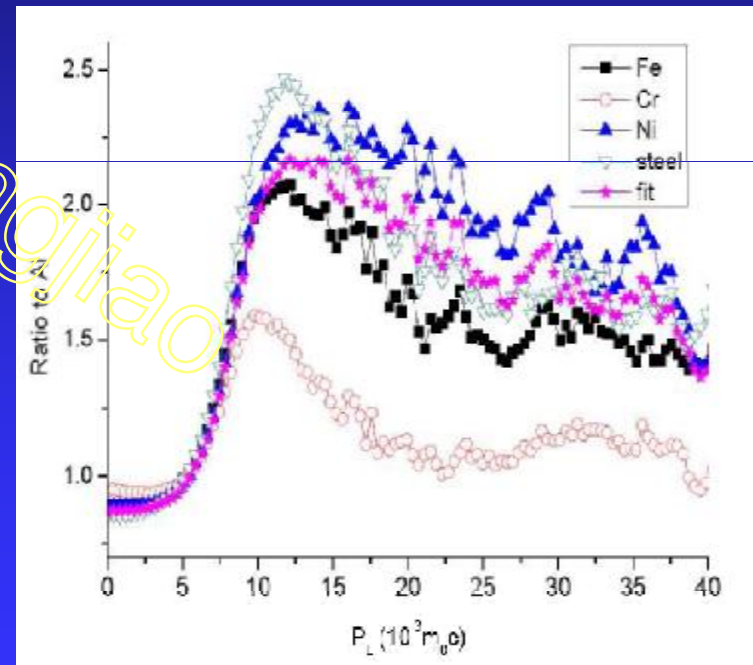
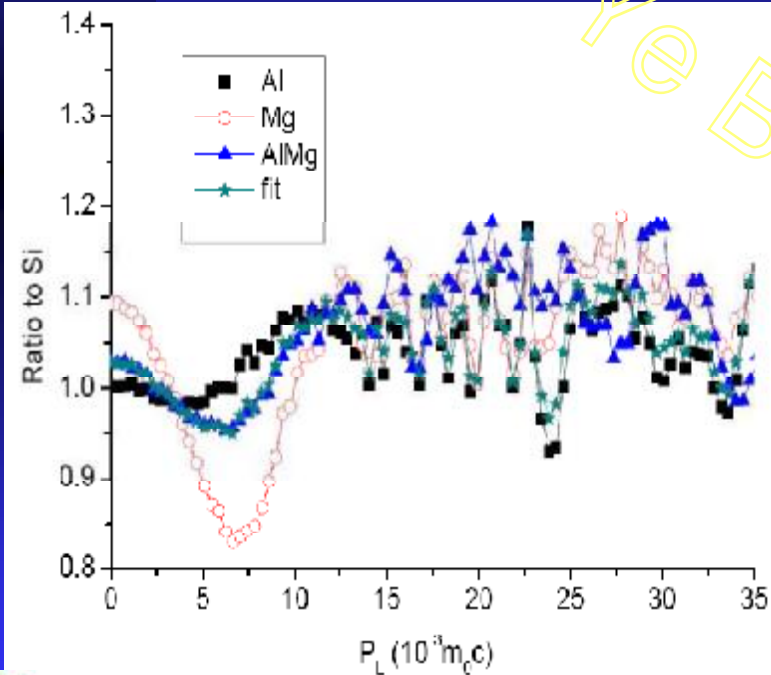
W:  $[\text{Xe}]4f^{14}5d^46s^2$

Pb:  $[\text{Xe}]4f^{14}5d^{10}6s^26p^2$



# MgAl合金和不锈钢

样品	纯度	尺寸/mm	拟合系数		
			a	b	c
AlMg合金	Al:Mg:Cr=97.25:2.5:0.25	10 × 10 × 0.79	69.6	29.8	0.6
不锈钢	Fe:Cr:Ni=70:19:11	10 × 10 × 0.5	37.5	0.1	60.4



将合金谱拟合成各组分谱的加权和，见下式：

$$S_{alloy} = a \times S_{Al} + b \times S_{Mg} + c \times S_{Cr}$$



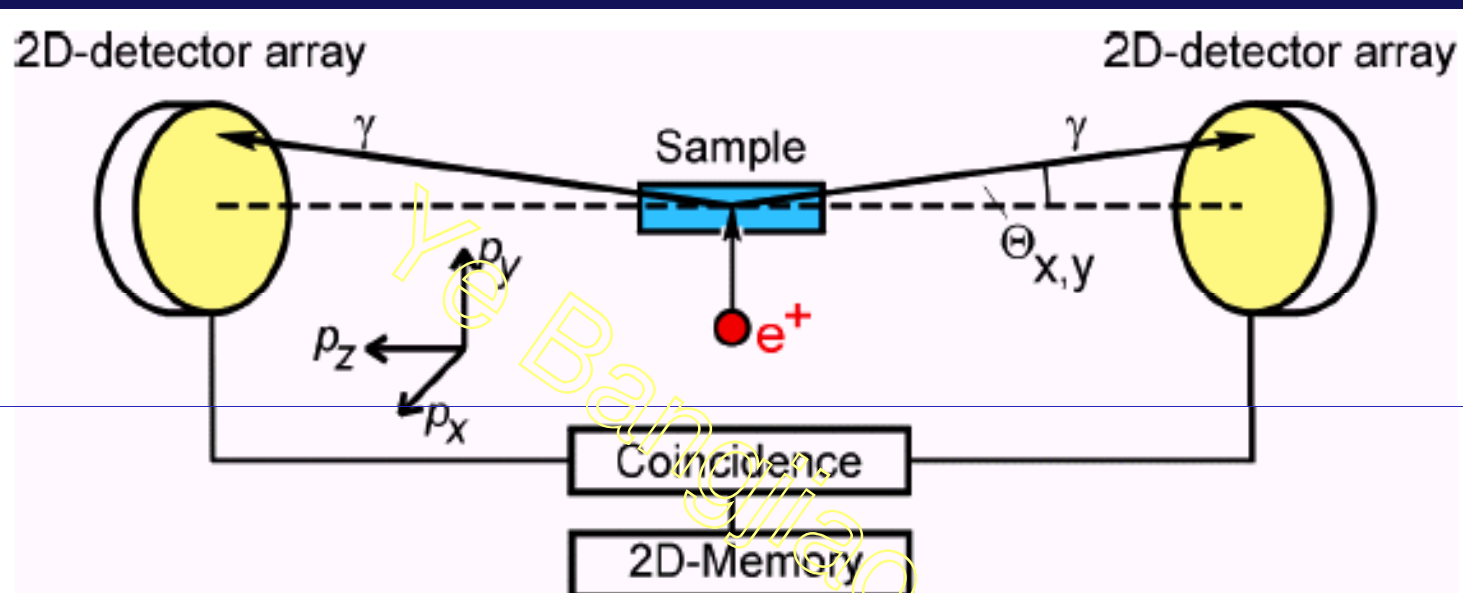
样品	纯度	尺寸/mm	拟合系数		
			a	b	c
AlMg合金	Al:Mg:Cr=97.25:2.5:0.25	10 × 10 × 0.79	69.6	29.8	0.6
不锈钢	Fe:Cr:Ni=70:19:11	10 × 10 × 0.5	37.5	0.1	60.4

Li -7.36	Be -3.11																		
Na -7.12	Mg -6.18																	Al -4.41	Si -6.95
K -7.05	Ca -6.40	Sc -5.10	Ti -4.06	V -3.44	Cr -2.62	Mn 3.72	Fe -3.84	Co -4.18	Ni -4.46	Cu -4.81	Zn -5.24							Ge -6.69	
Rb -6.98	Sr -6.41	Y -5.31	Zr -3.98	Nb -2.93	Mo -1.92	Tc -1.67	Ru -1.92	Rh -3.10	Pd -5.04	Ag -5.36	Cd -5.78							Sn -7.60	
Cs -6.94	Ba -6.13	Lu -6.90	Hf -3.70	Ta -2.63	W -1.31	Re -0.97	Os -0.89	Ir -1.53	Pt -3.63	Au -4.59								Pb -5.56	



E电子看到的元素比例 =  $f(A_+)$  × 合金中元素的质量百分比

# ● 二维角关联



Coincidence counting rate  $N_c$ :

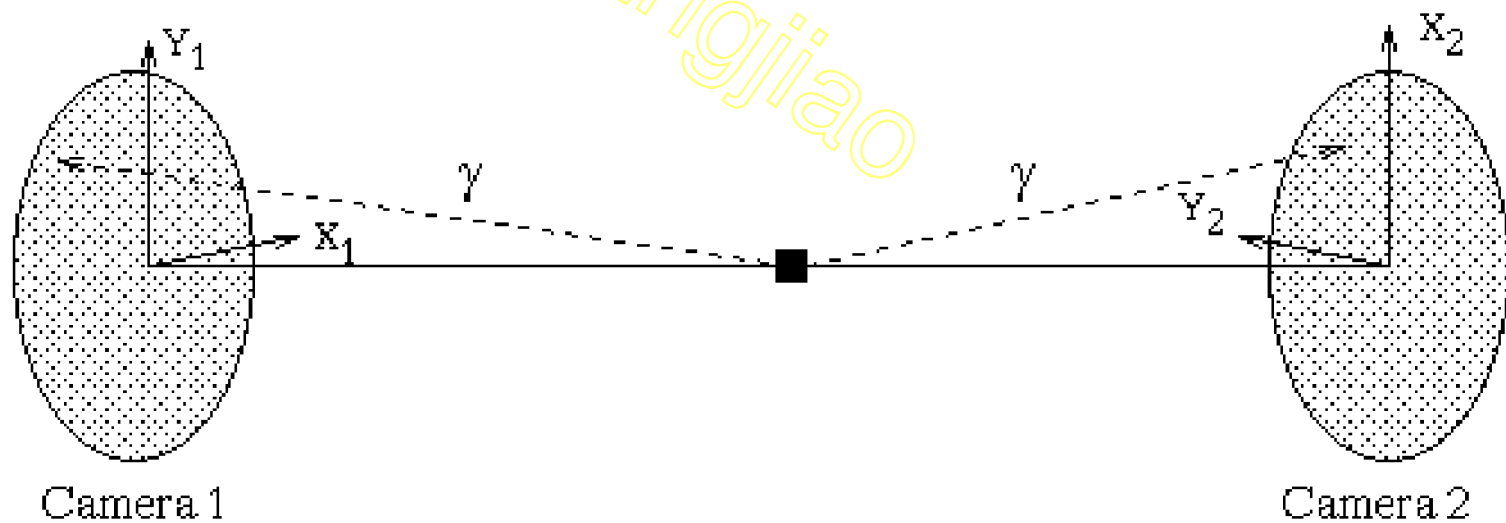
$$N_c(\Theta_x, \Theta_y) = A_c \int \sigma(\Theta_x m_0 c, \Theta_y m_0 c, p_z) dp_z$$

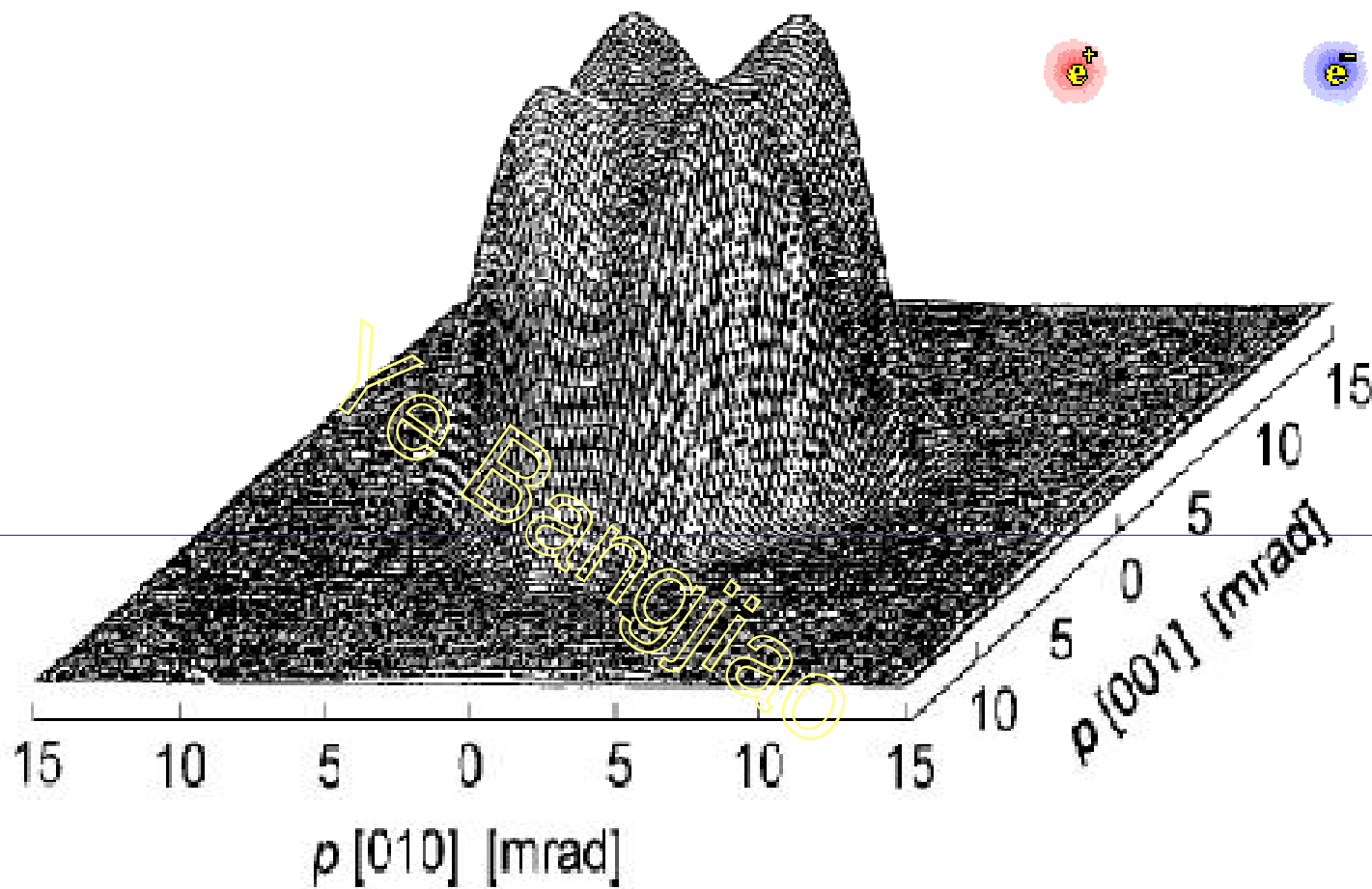
$$\Theta_{x,y} = p_{x,y} / m_0 c$$

Resolution: 0.2~5mrad (0.05~1.2keV)



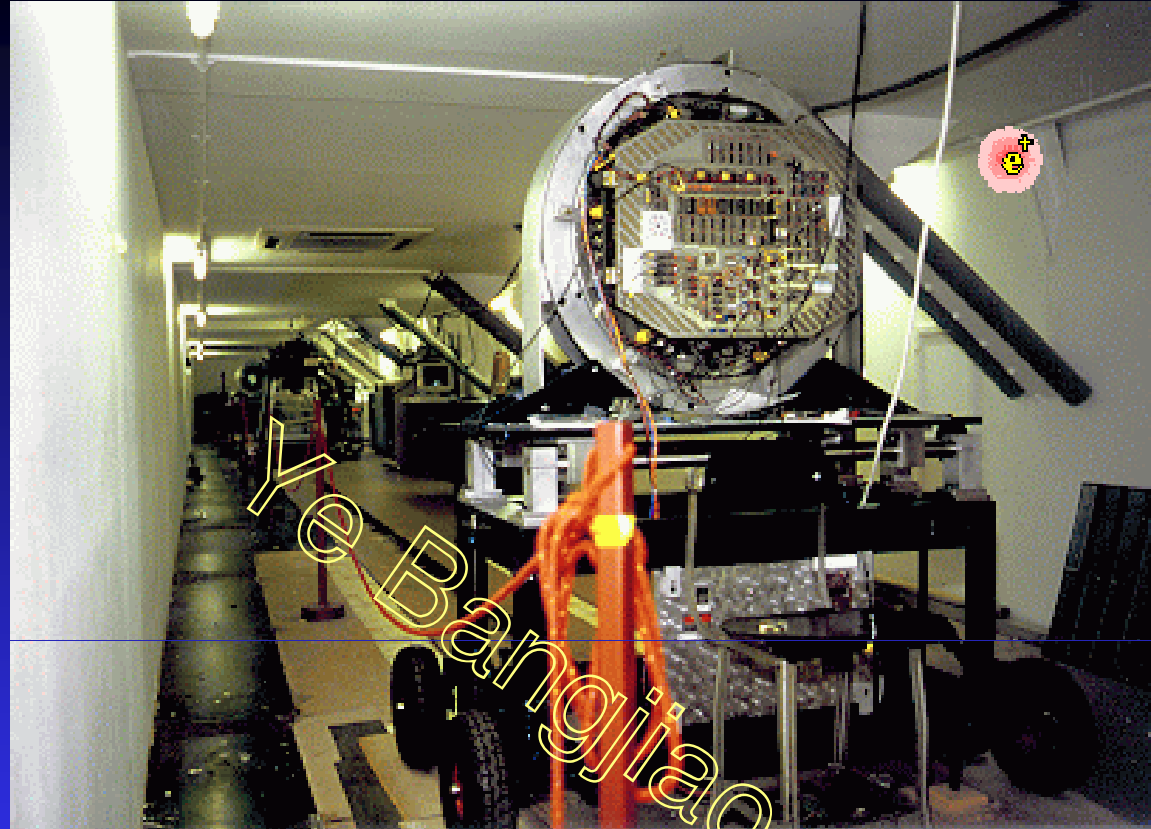
- $e^+e^-$ 湮没产生的 $2\gamma$ 的夹角与 $180^\circ$  有一微小的偏离。实验同时测量 $e^+e^-$ 湮没产生的 $2\gamma$ 关联信号，可以获得电子动量分布信息，并且可进一步得到费米面形貌，研究能带结构等。
- 同CDB相似，二维角关联（2D-ACAR）可以由 $e^+e^-$ 湮灭的动量分布来获得电子结构的信息，特别对单晶材料





(Tanigawa et al., 1995) 3D-Fermi surface can be reconstructed from measurements in several directions of a single crystal



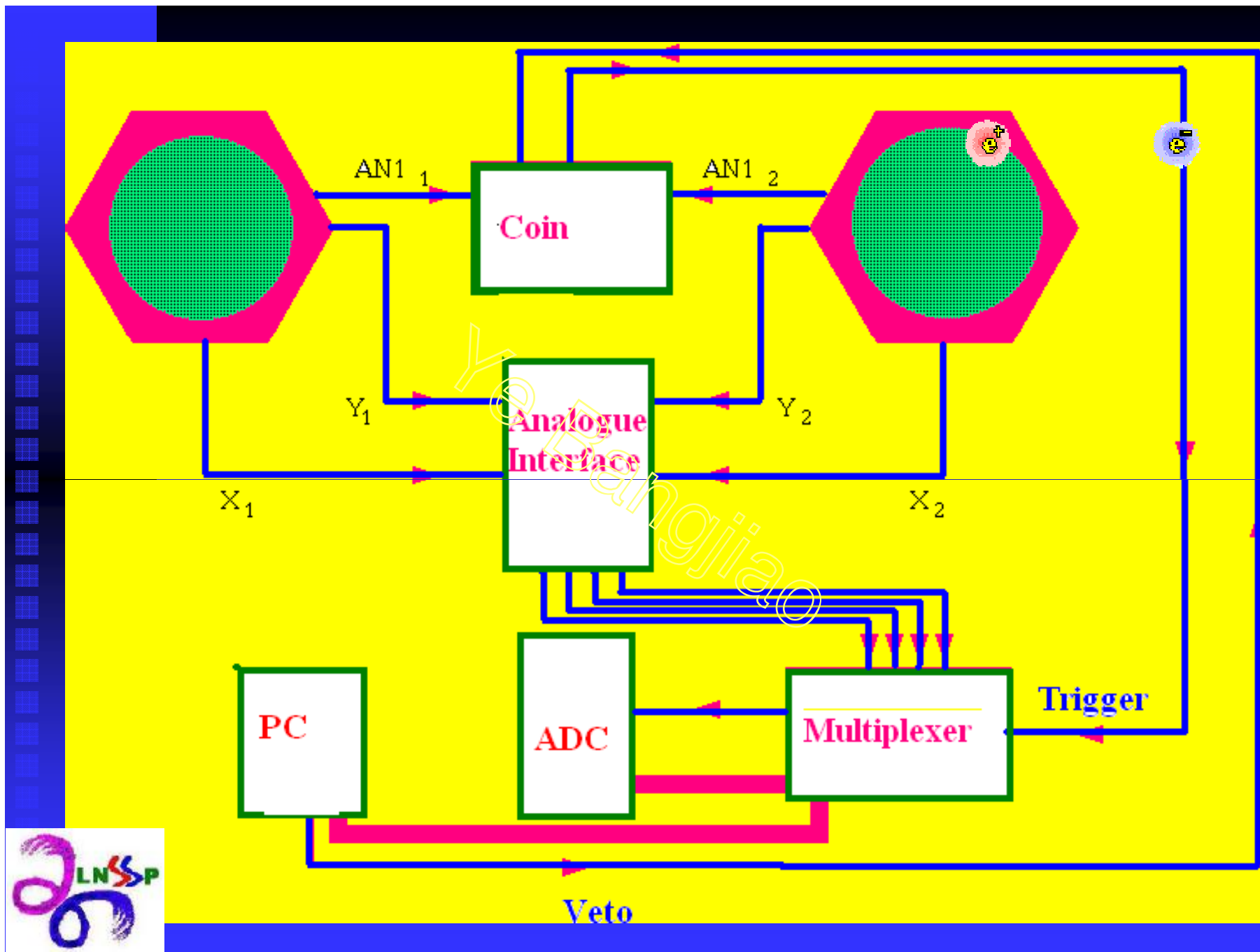


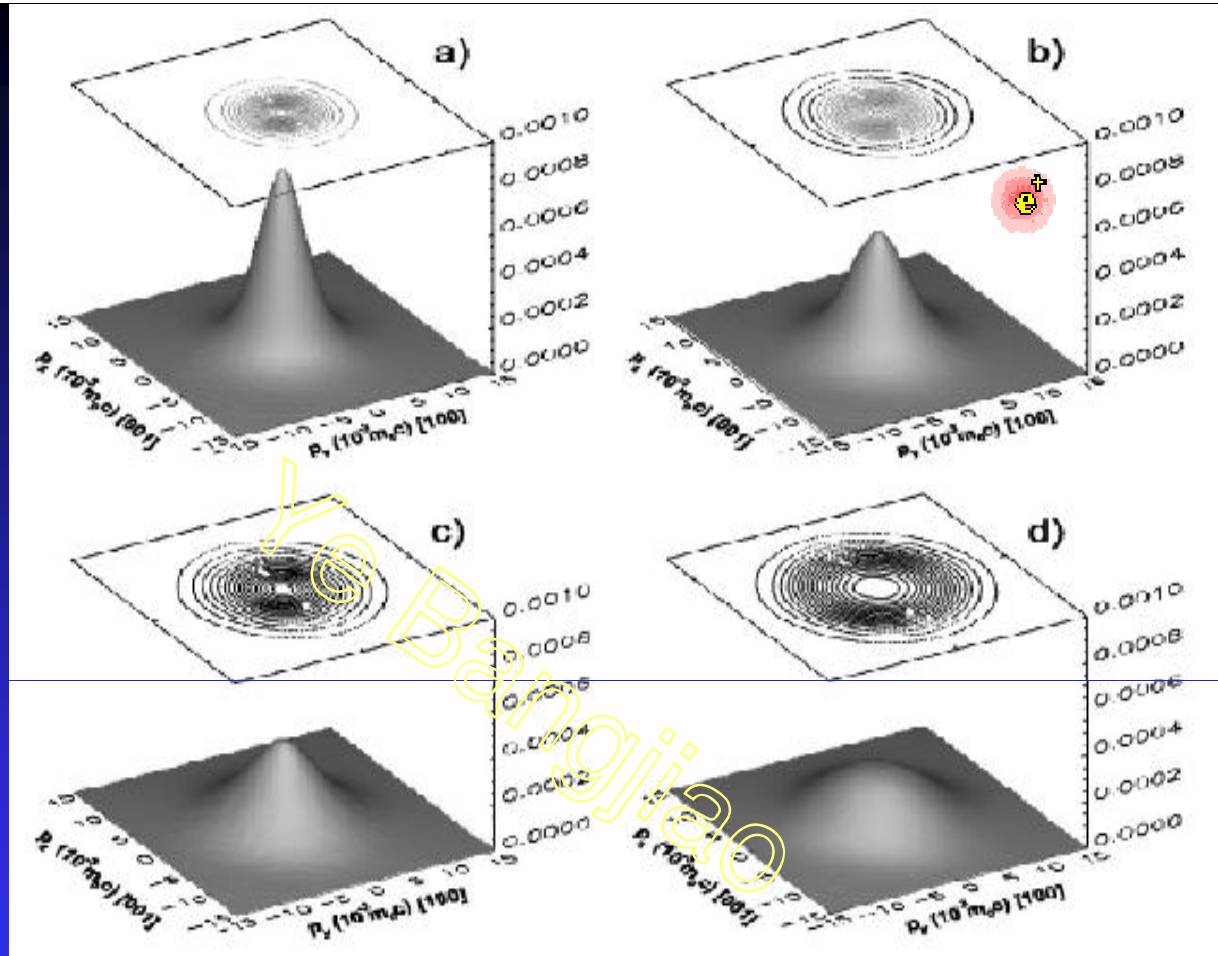
## The 'long laboratory'

- A 2D-ACAR setup coupled to the intense ( $8 \cdot 10^7 e^+/s$ ) monochromatic slow  $e^+$  beam POSH (POSitrons from the HOR reactor) is used for depth-selective research.



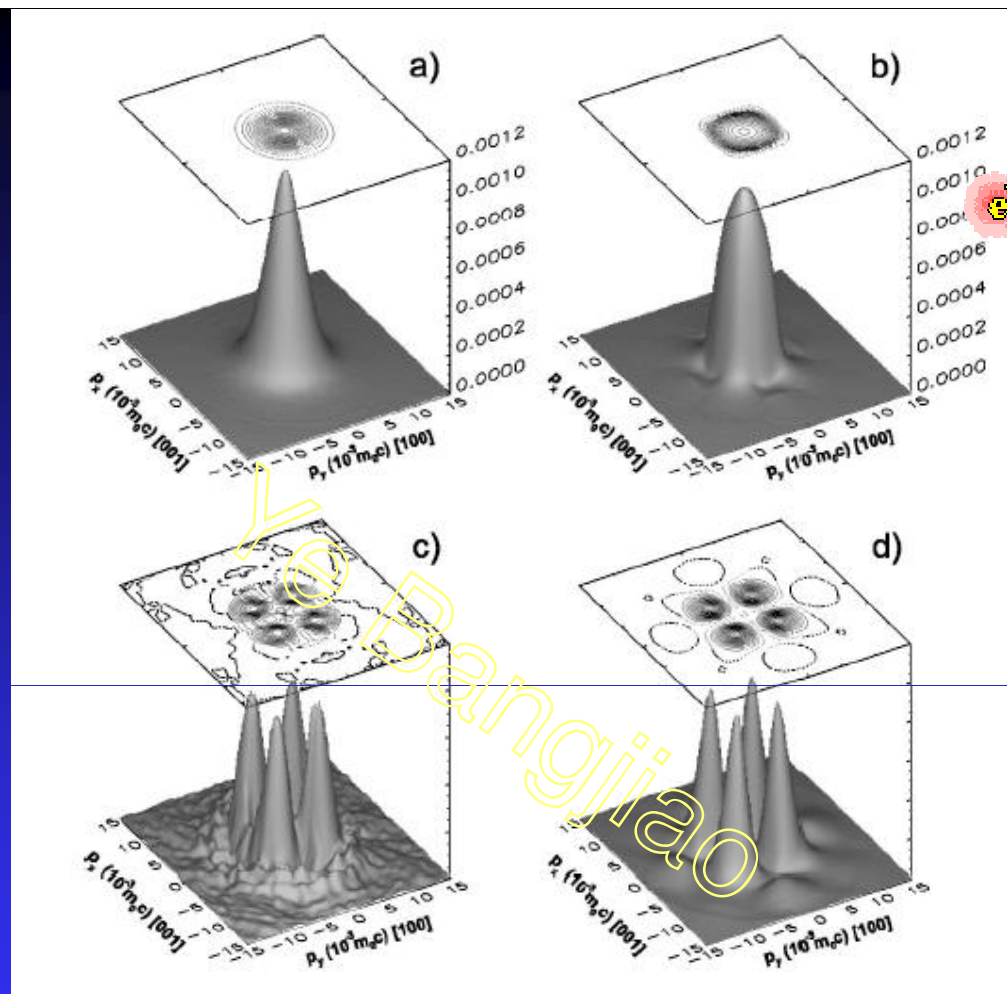






2D-ACAR distributions for Li implanted MgO(100) at positron energies of (a) 4 keV, (b) 7.5 keV, and (c) 11.5 keV; (d) 2D-ACAR spectrum for bulk MgO(100). The distributions are normalized to equal total numbers of counts..

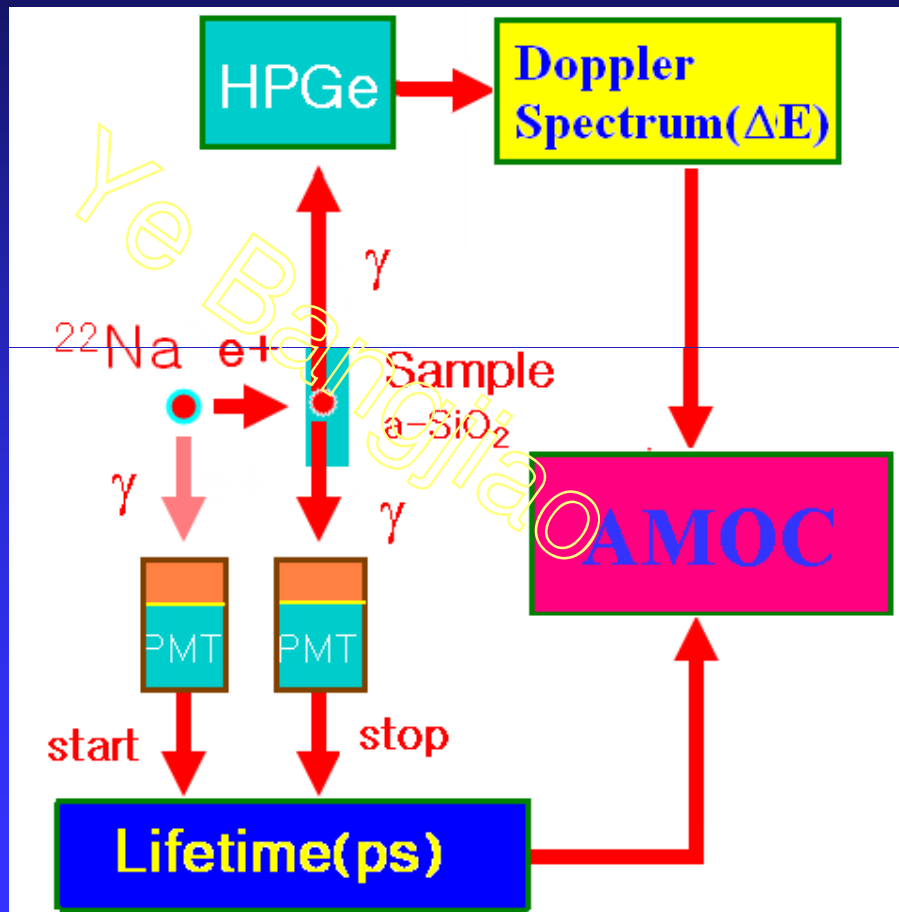




(a) Experimental 2D-ACAR distribution after subtracting the bulk MgO(100) contribution (43%); (b) theoretical spectrum of fcc Li(100); (c) and (d) anisotropies of the distributions in (a) and (b). The distributions are normalized with respect to the total number of counts.



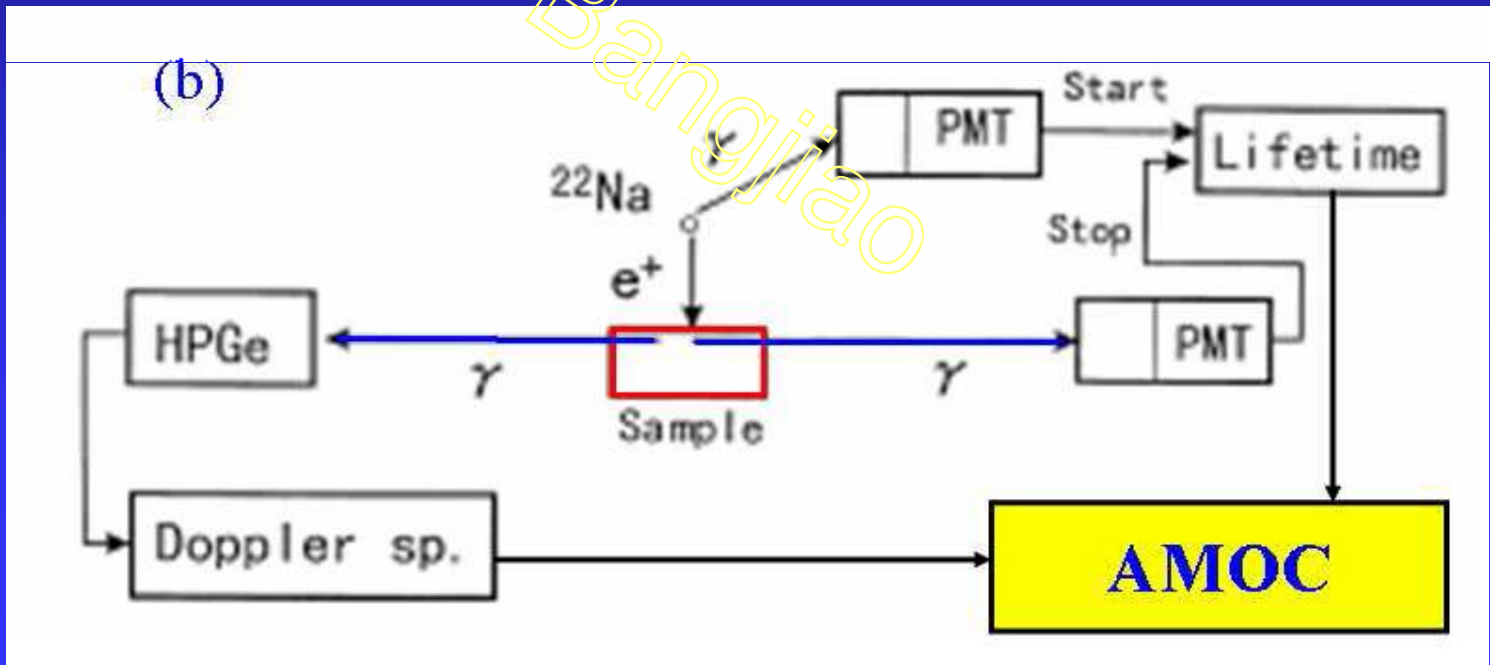
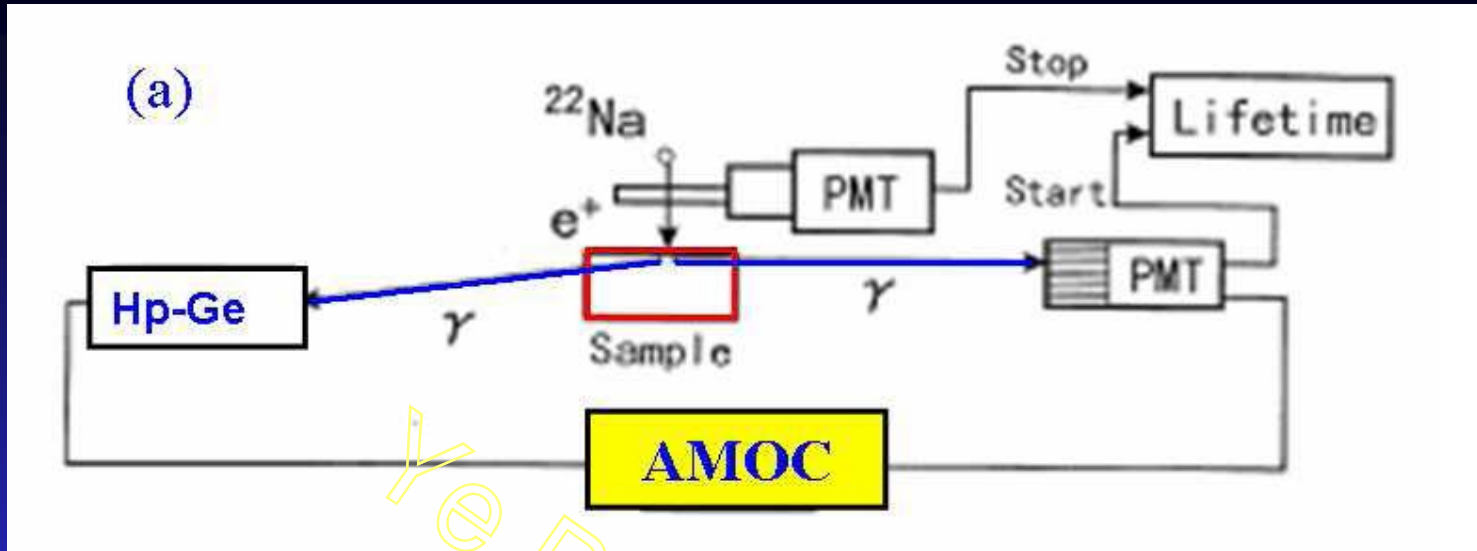
# ● 寿命-动量关联

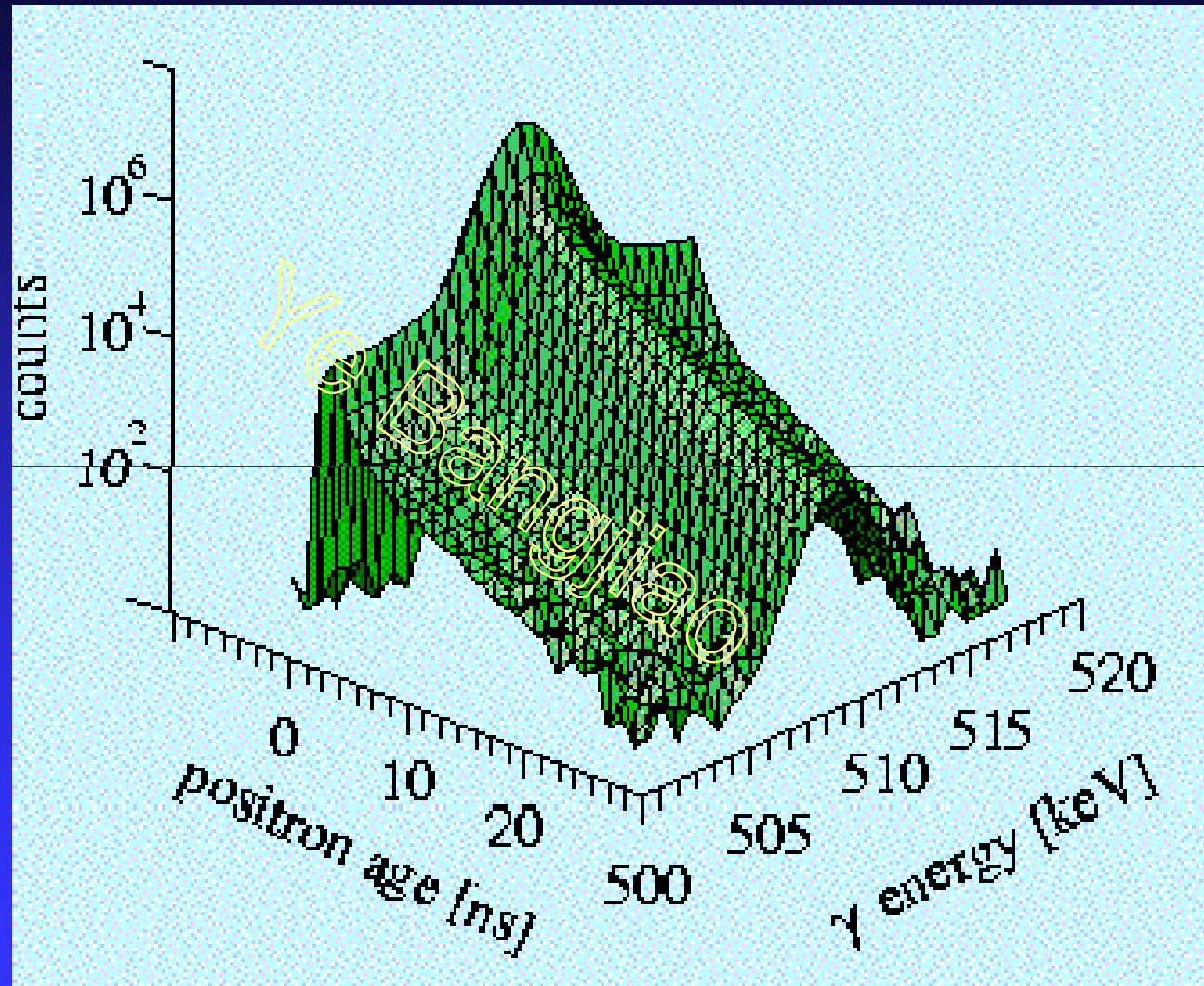


AMOC技术按测量寿命的起始触发信号分，主要有两种：

- 采用触发 $\gamma$  (1.28MeV) 作起始信号，即所谓的AMOC- $\gamma\gamma\Delta E\gamma$ 技术；
- 采用正电子作起始信号，即AMOC- $\beta^+\gamma\Delta E\gamma$ 技术。







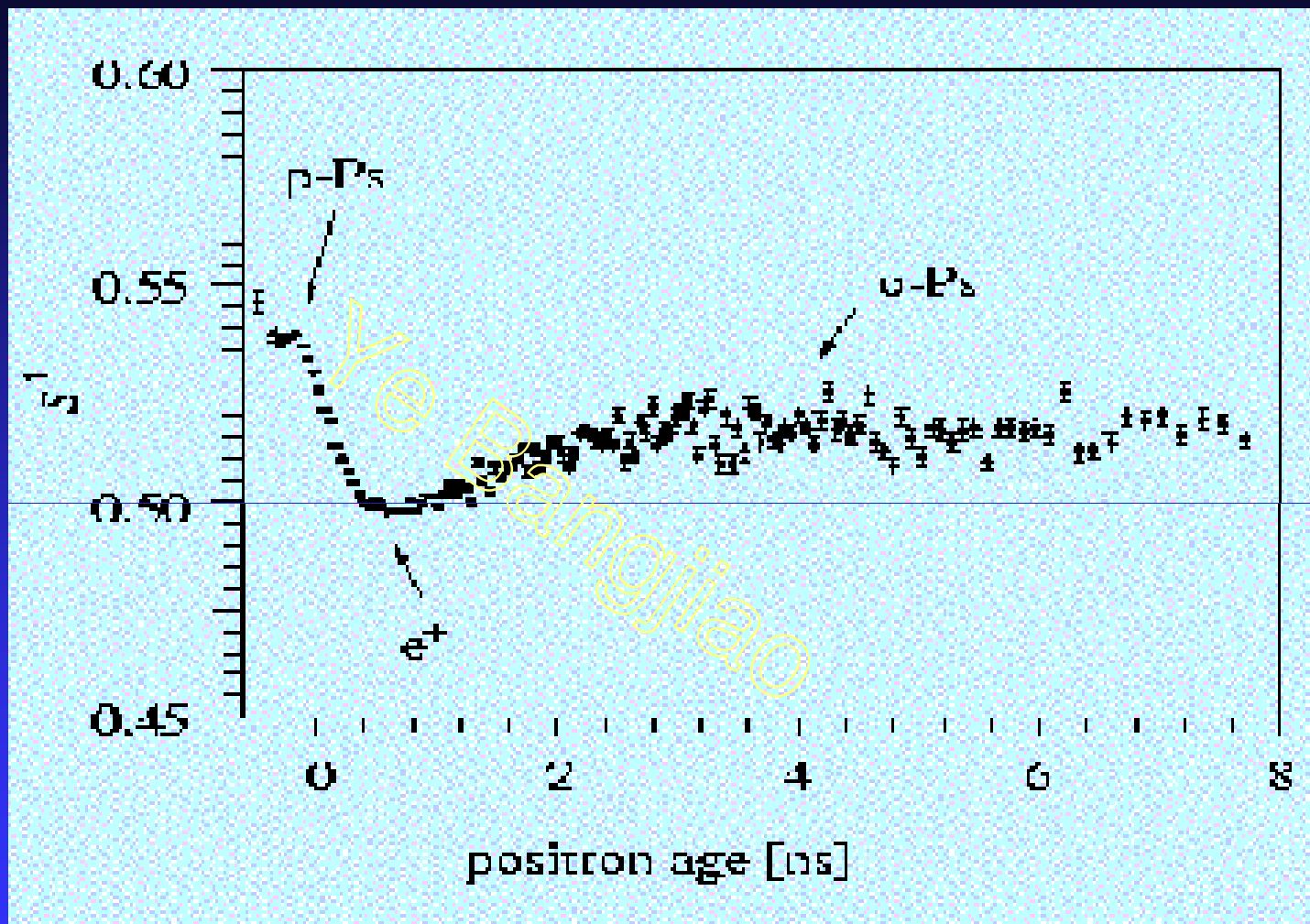
# $S_t$ 分析

- AMOC二维谱是正电子湮灭时间和湮灭光子的多普勒展宽的关联。通常的正电子寿命谱可对所有正电子能谱积分得到，通常的多普勒展宽可对不同的寿命积分得到。
- 此外，还可以获得多普勒展宽的S参数随寿命的变化（即计算不同寿命下的S参数）称 $S_t$ 线性函数：

$$S^t(t) = \frac{\int_{\pm\Delta p} N(p,t) dp}{\int N(p,t) dp} = \frac{\int_{\pm\Delta p} N(p,t) dp}{L(t)}$$

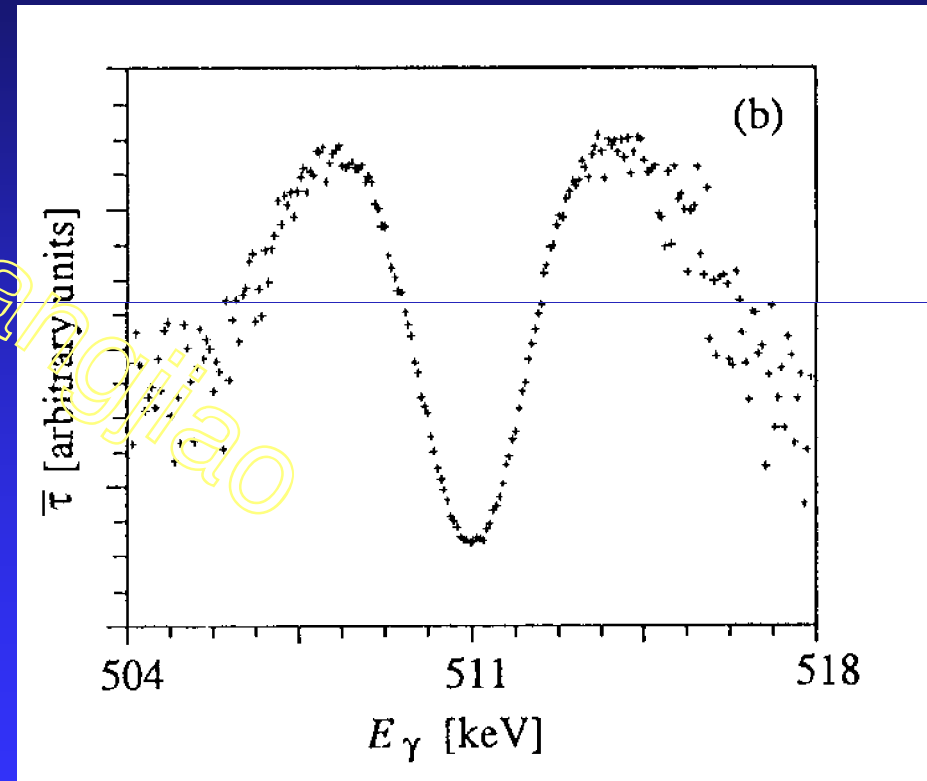




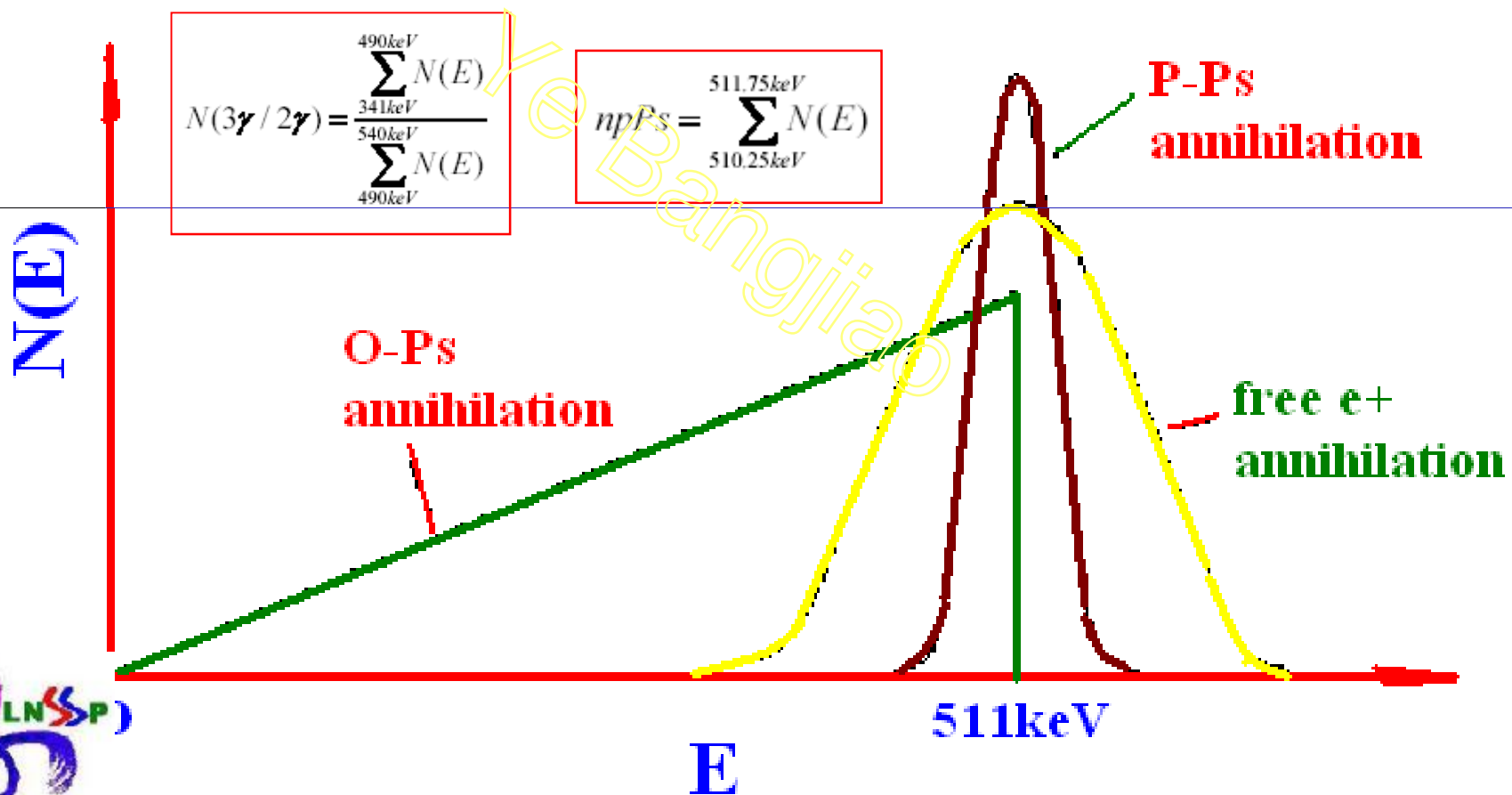


# Tsukuba分析

- 从AMOC二维谱中抽取正电子平均寿命随正电子的能量变化的变化称Tsukuba（筑波）分析
- 平均寿命是以511keV对称分布的，在511keV处是一个谷。



# ● 3γ measurement

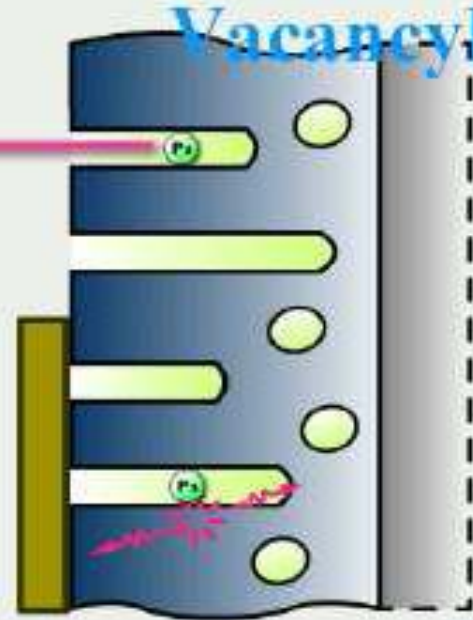


Positron  $3\gamma$  annihilation probability ( $I_{3\gamma}$ )



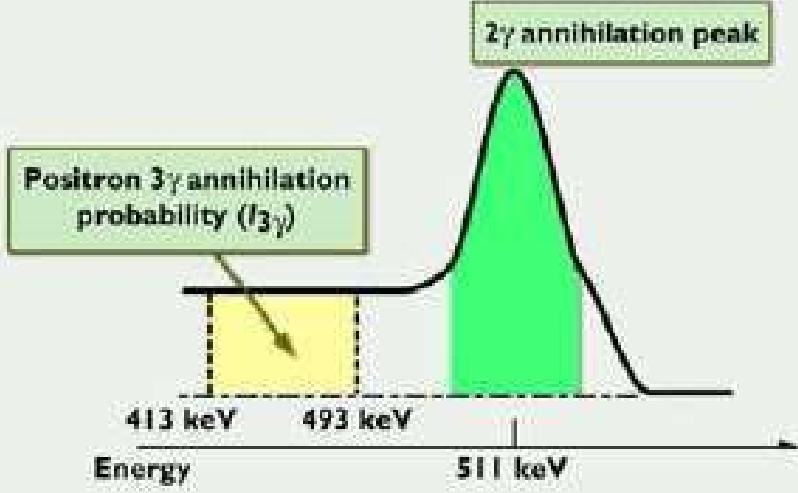
Positron annihilation  $\gamma$ -ray spectroscopy

VacancyRM



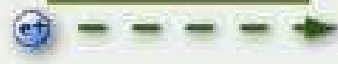
Slow positron with an energy related to the implantation depth

Positron lifetime measurement

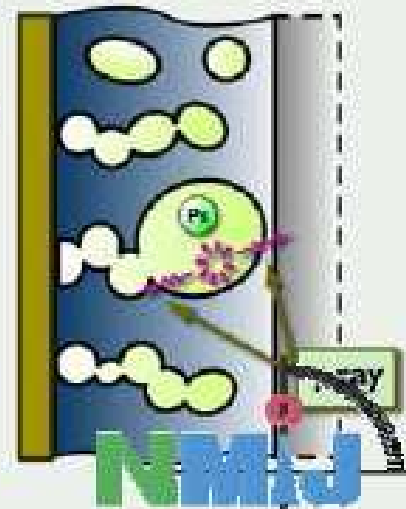
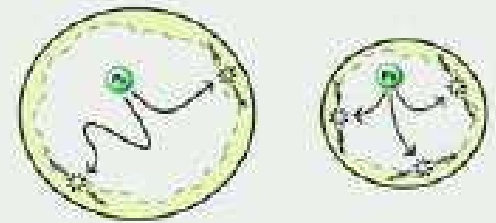


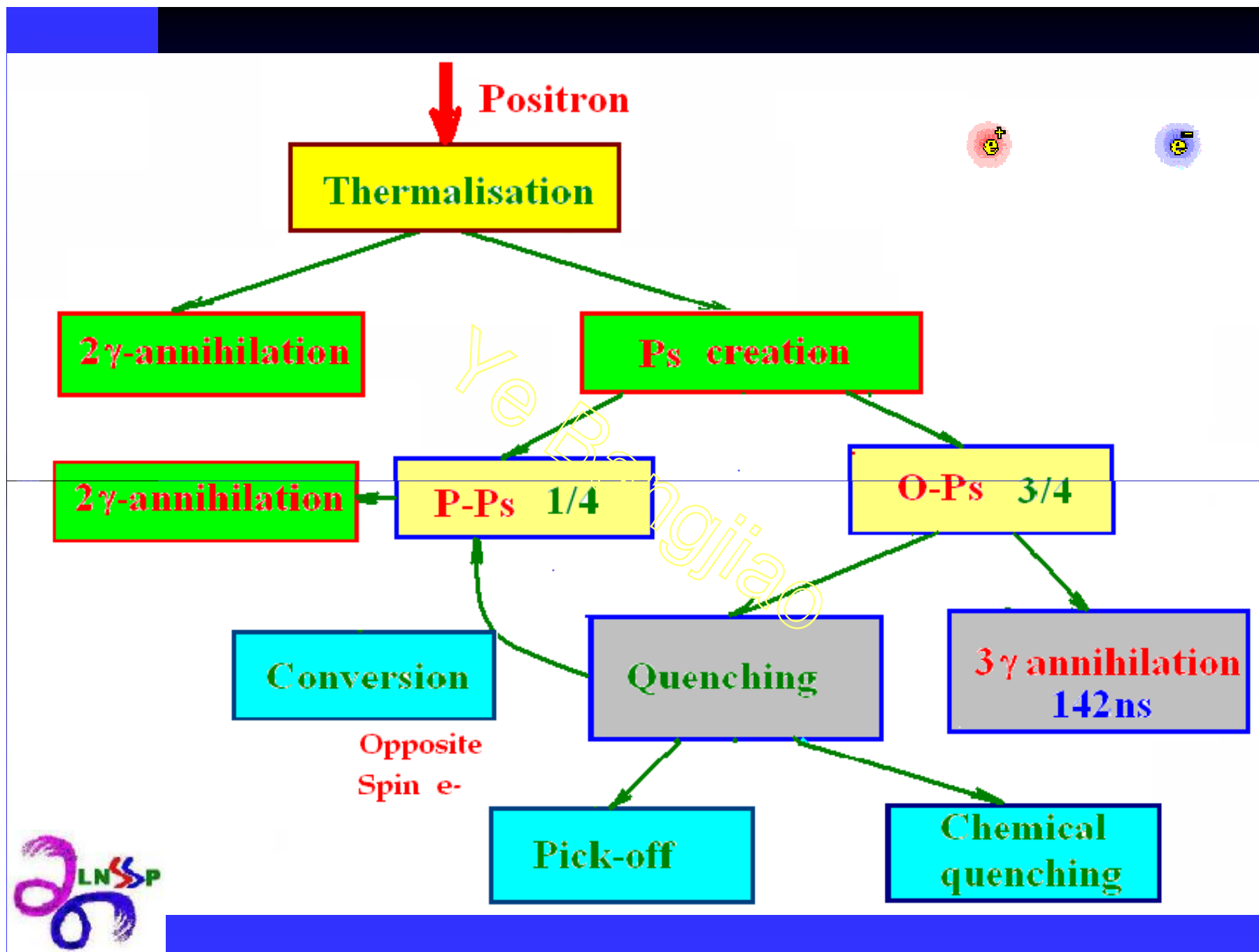
Positron annihilation  $\gamma$ -ray spectrum

Positron beam

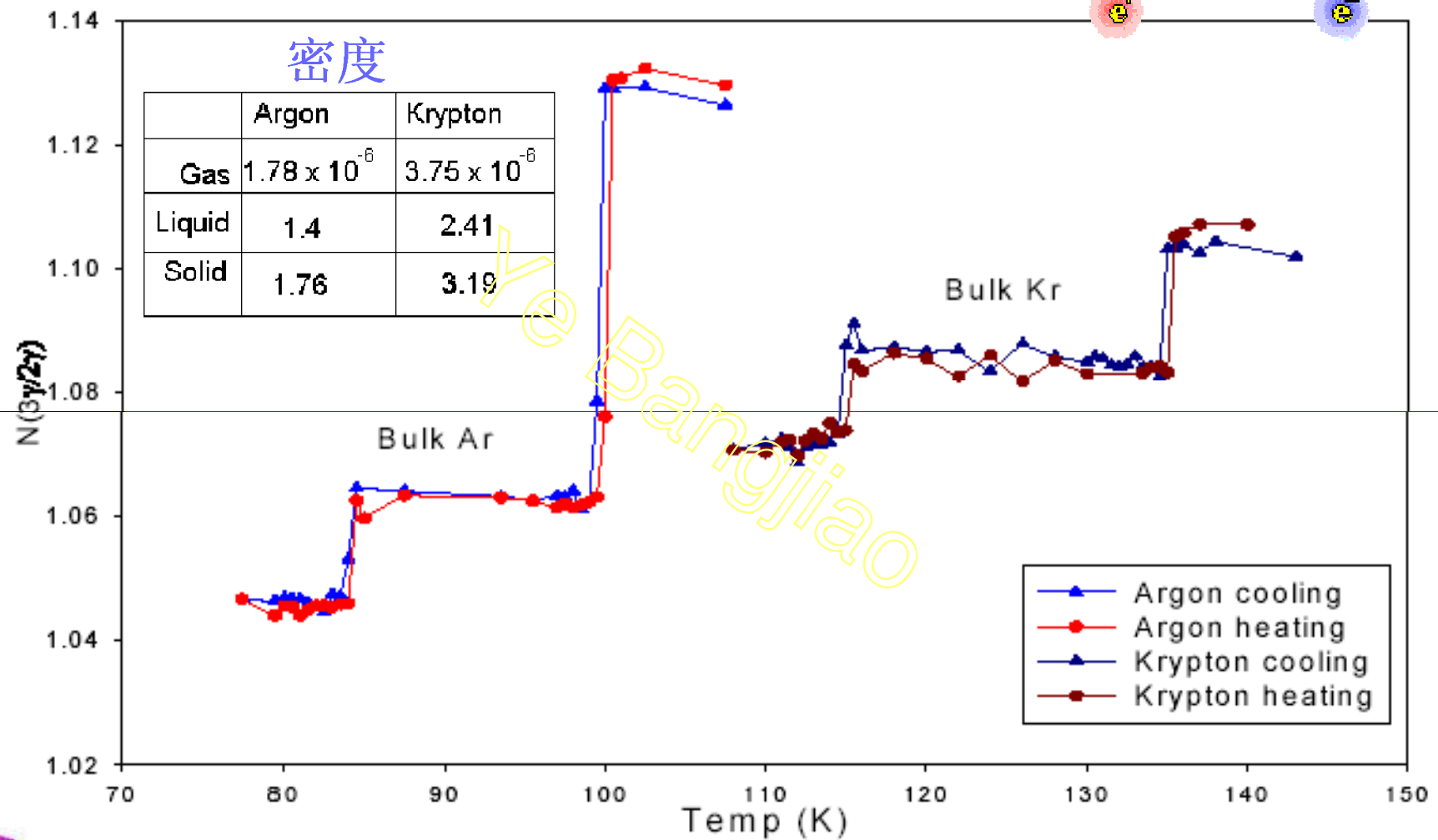


The larger the pore size, the longer the Ps lifetime.

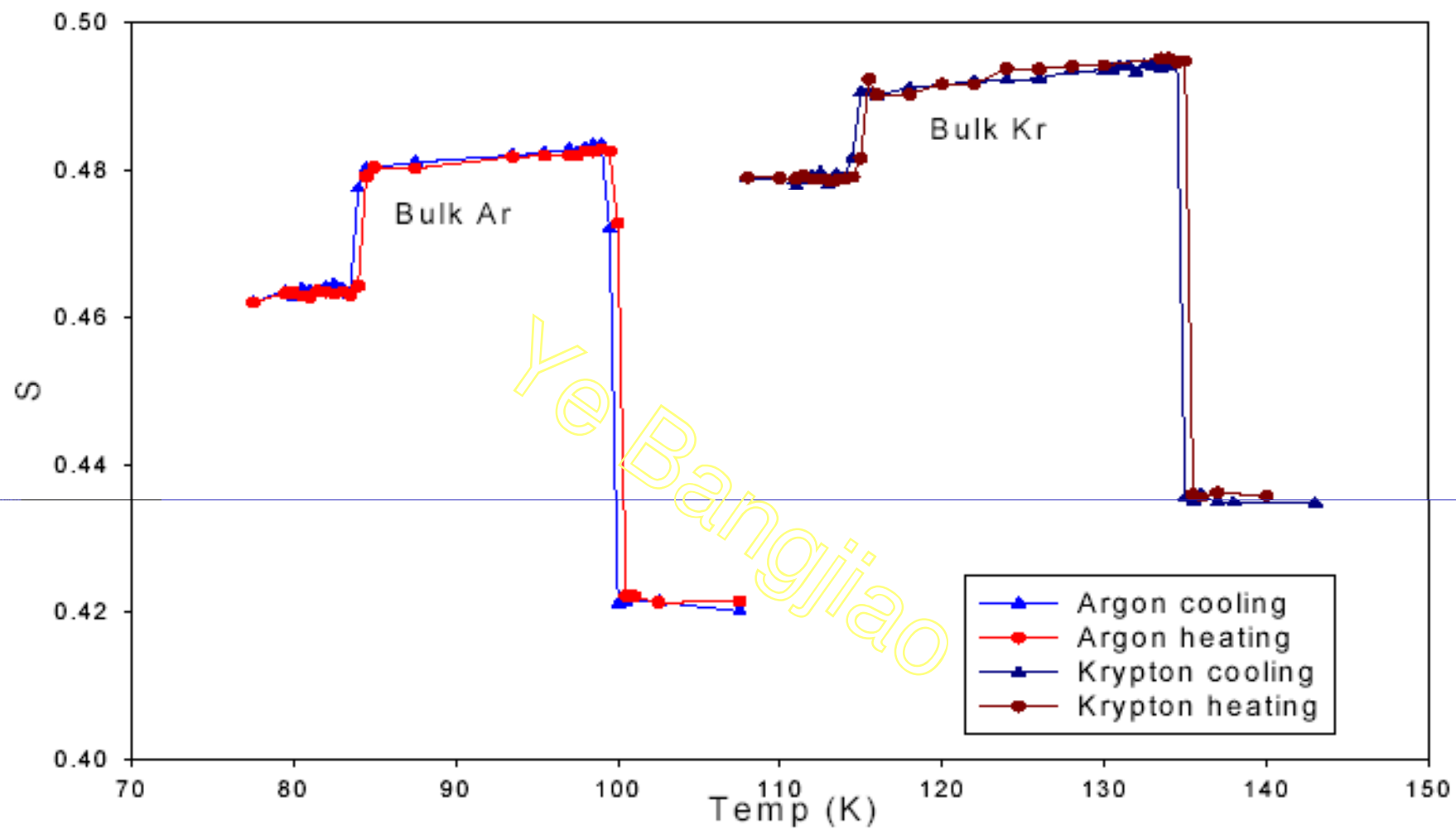




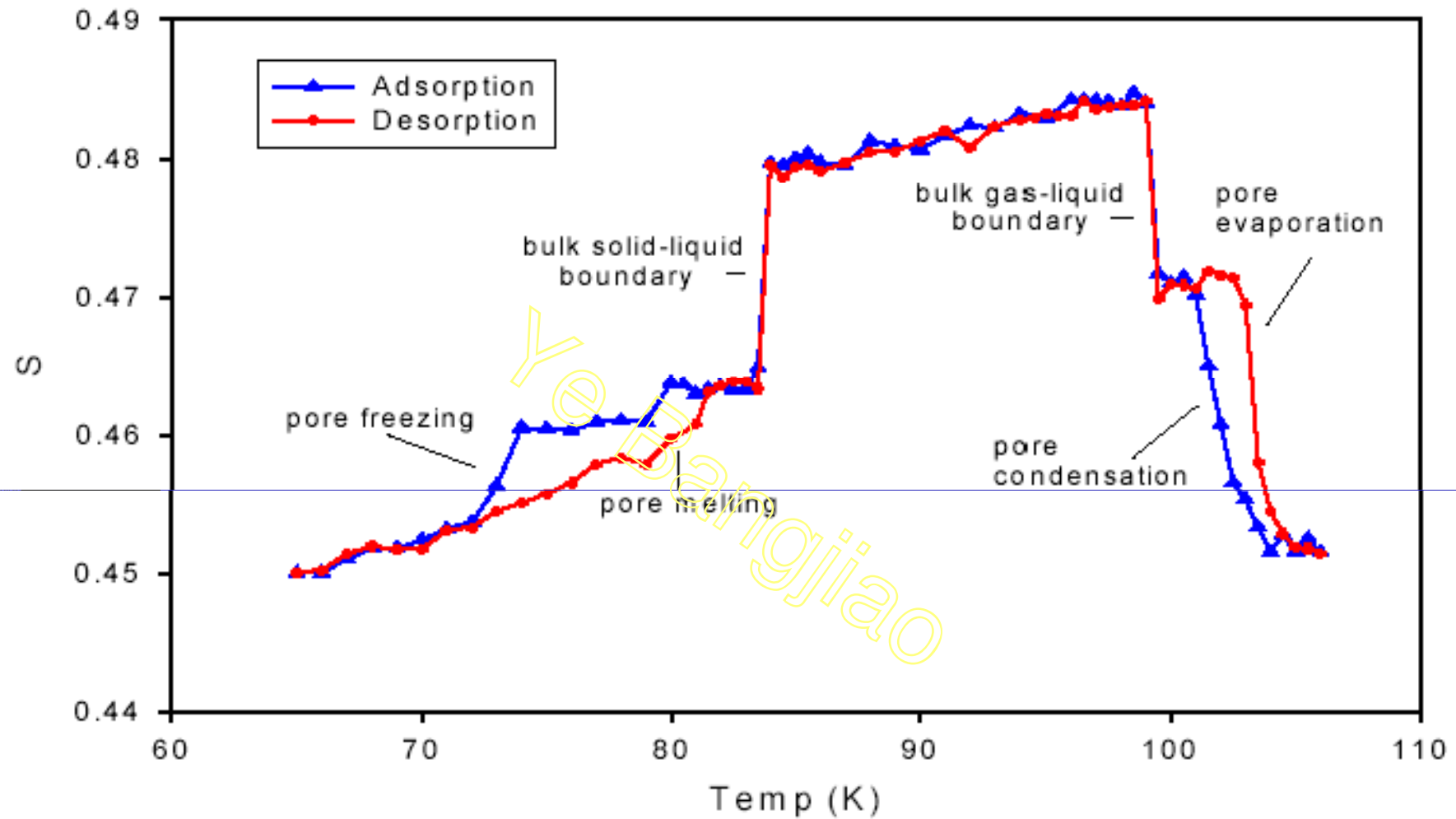
# 相变



$N(3\gamma/2\gamma)$  parameter for bulk argon and krypton at a constant pressure of 3 bar.



The S parameter for bulk argon and krypton at a constant pressure of 3 bar.



The S parameter for an isobaric argon experiment at 3bar.



# ● 2D-PALS



Ye Bangjiao

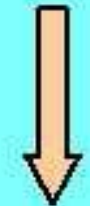
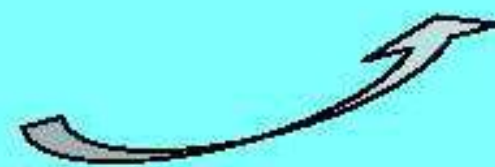
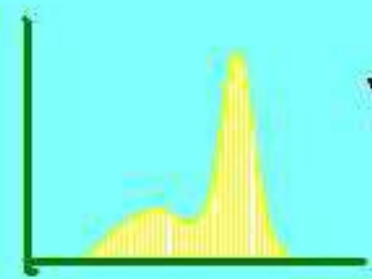
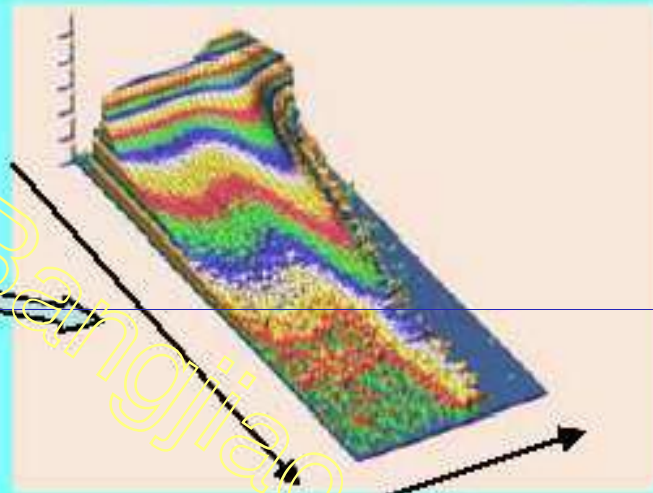


# porous materials

Long-lived o-Ps

$3\gamma$  annihilation

Age - Pulse Height



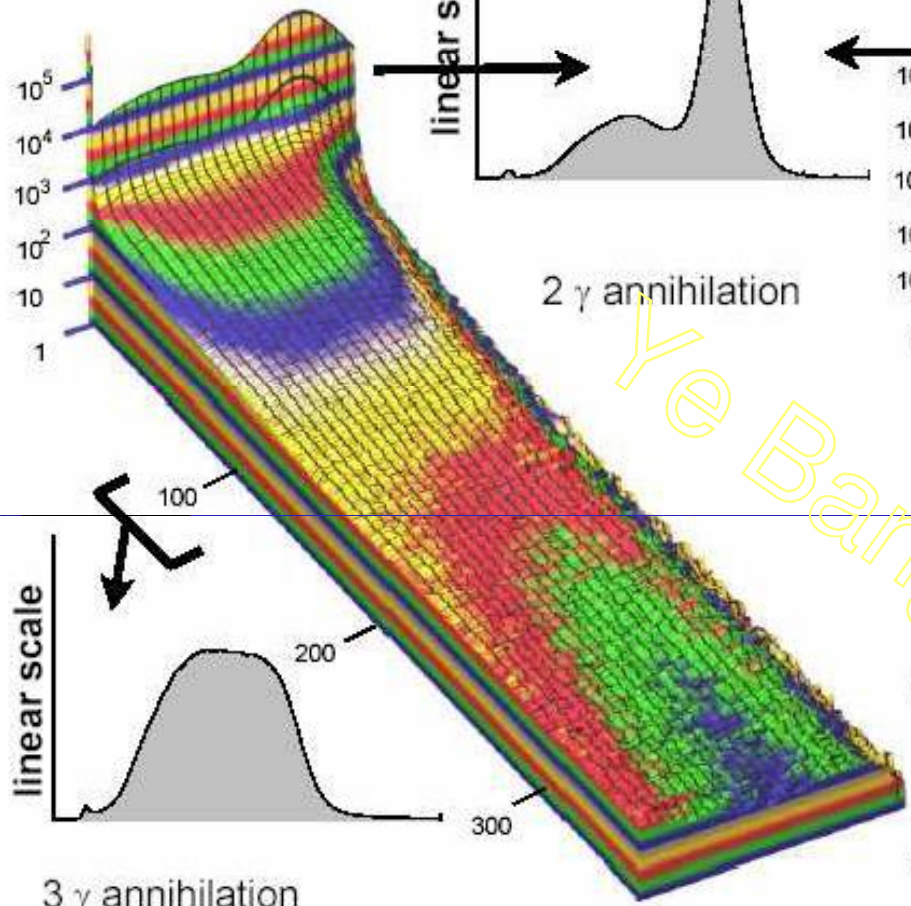
time dependent  $3\gamma$  fraction

$$F_{3\gamma}(t)$$

Pulse Height

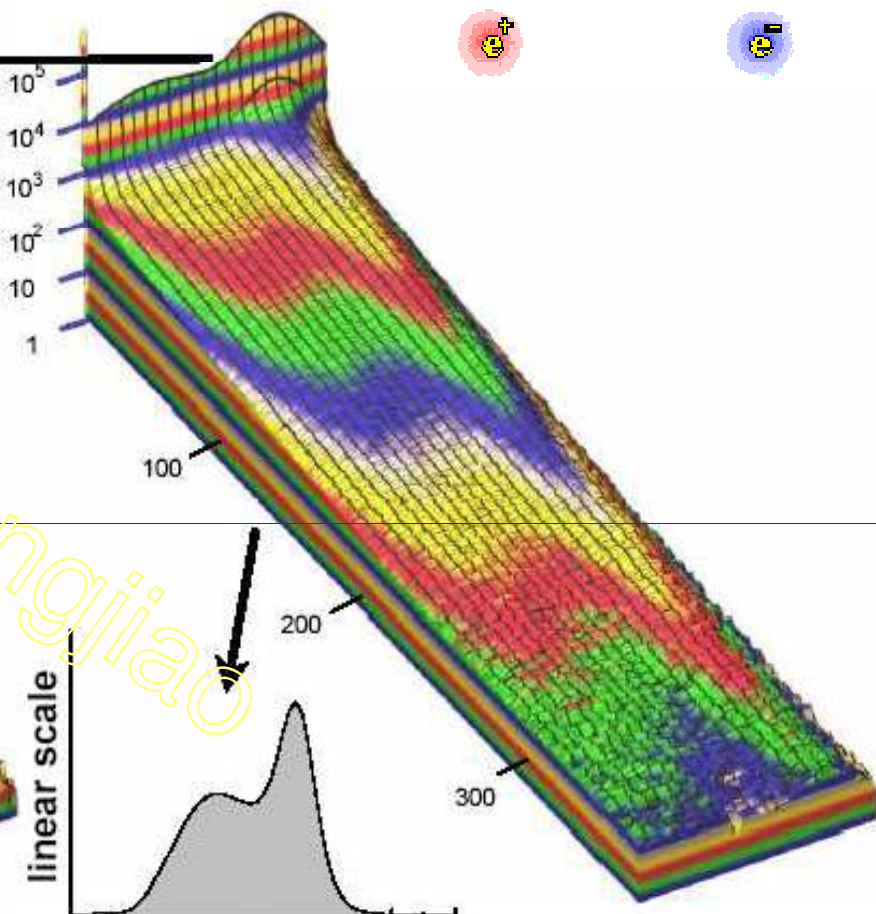


without Cap



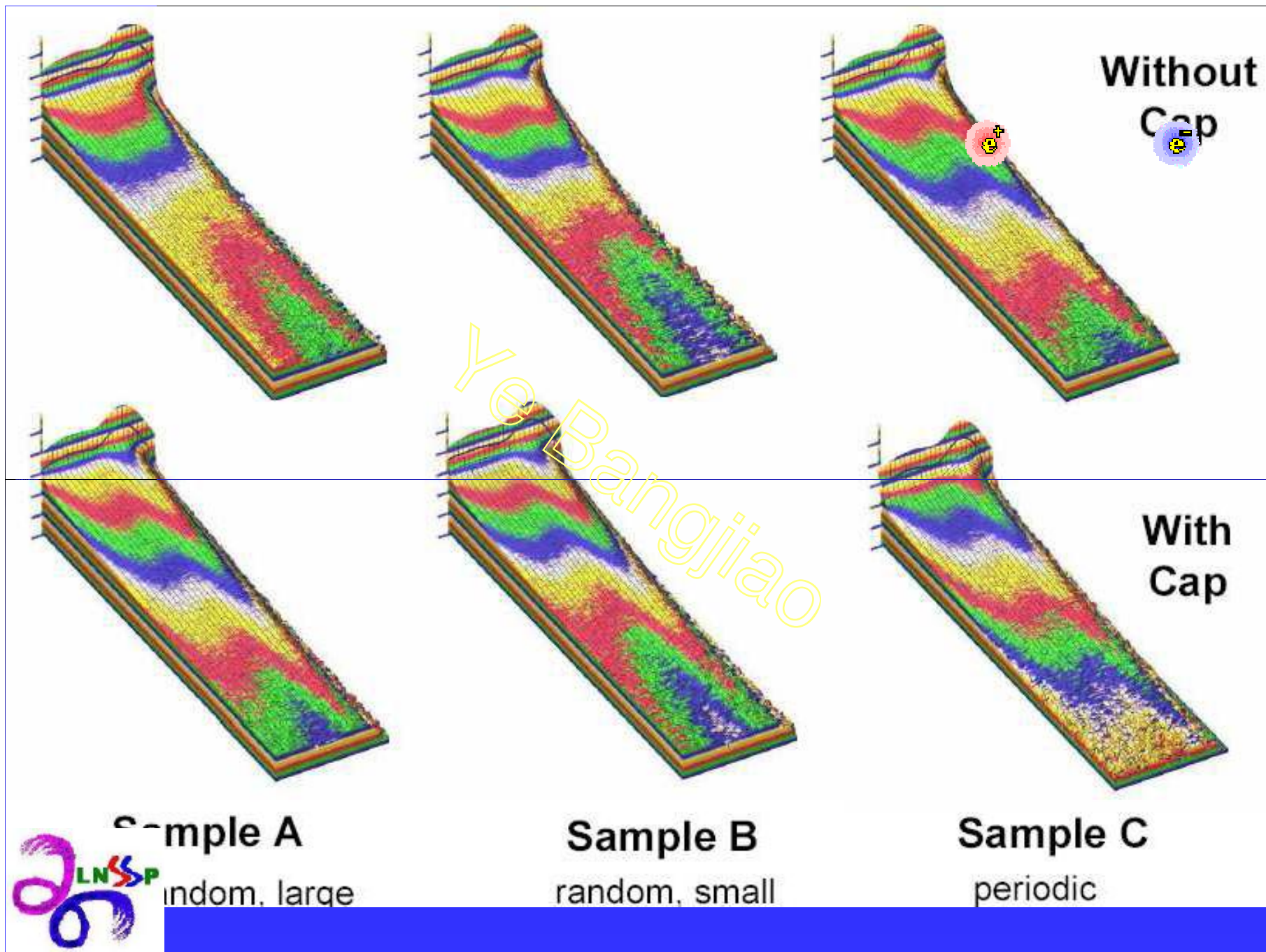
in vacuum

with Cap

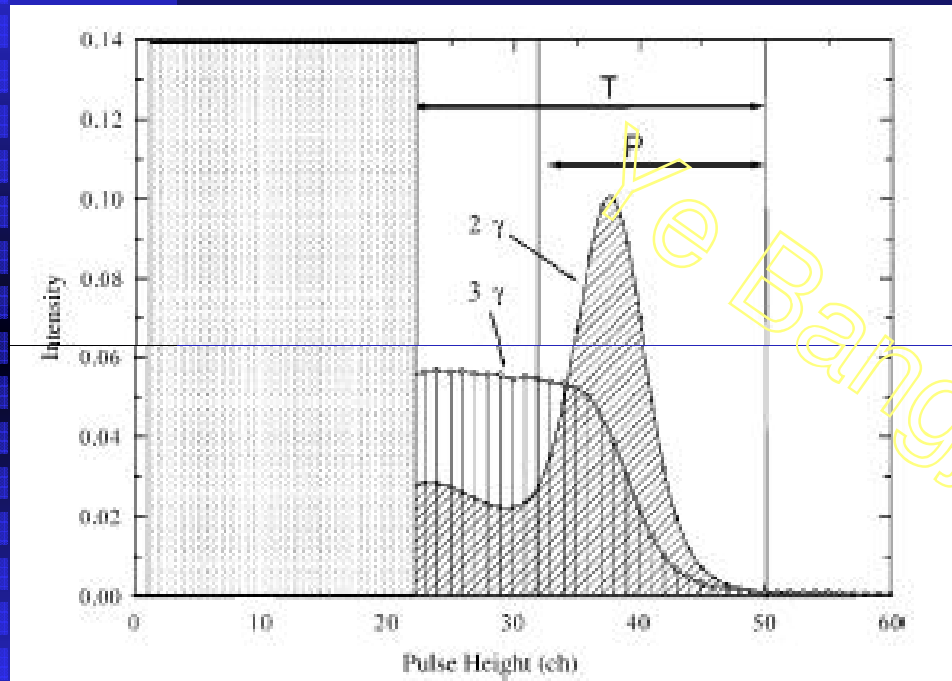


in pores





# Calculation of $3\gamma$ fraction $f(t)$



$$T_f = f T_{3\gamma} + (1 - f) T_{2\gamma}$$

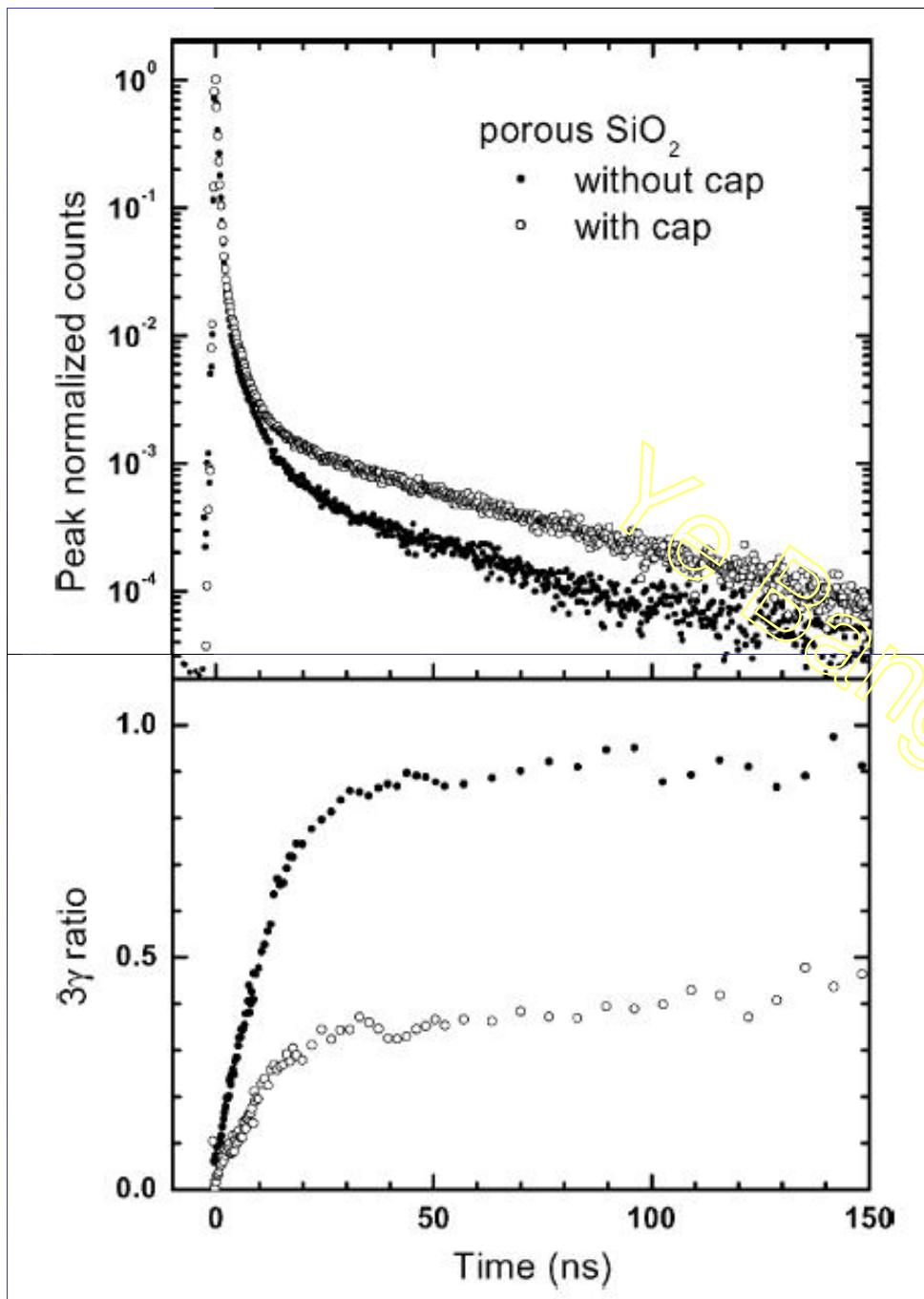
$$P_f = f P_{3\gamma} + (1 - f) P_{2\gamma}$$

$$2\gamma : f=0, \quad 3\gamma : f=1$$

$$R = P_f / T_f$$

$$f(t) = [1 + (T_{3\gamma} / T_{2\gamma})(R(t) - R_{3\gamma})(R_{2\gamma} - R(t))^{-1}]^{-1}$$



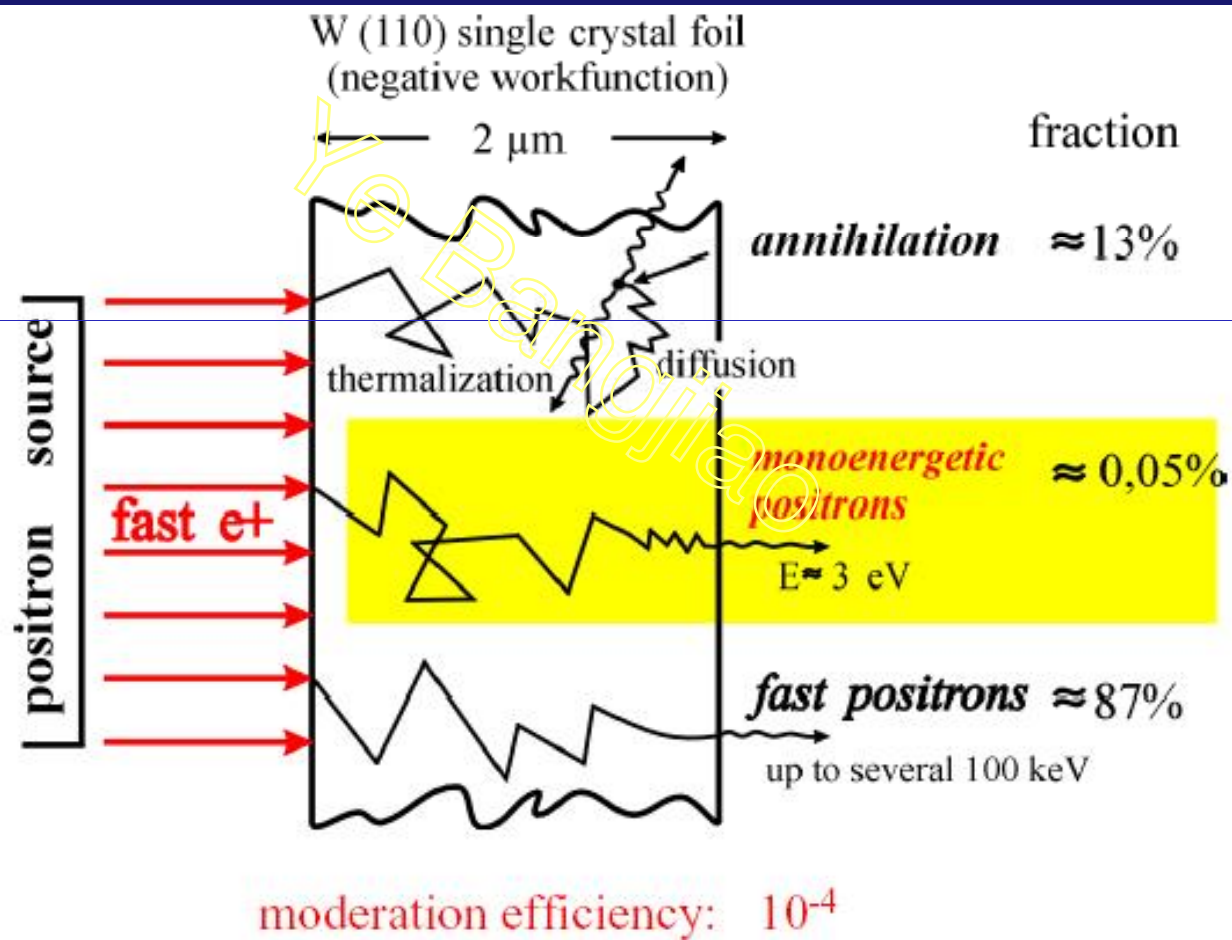


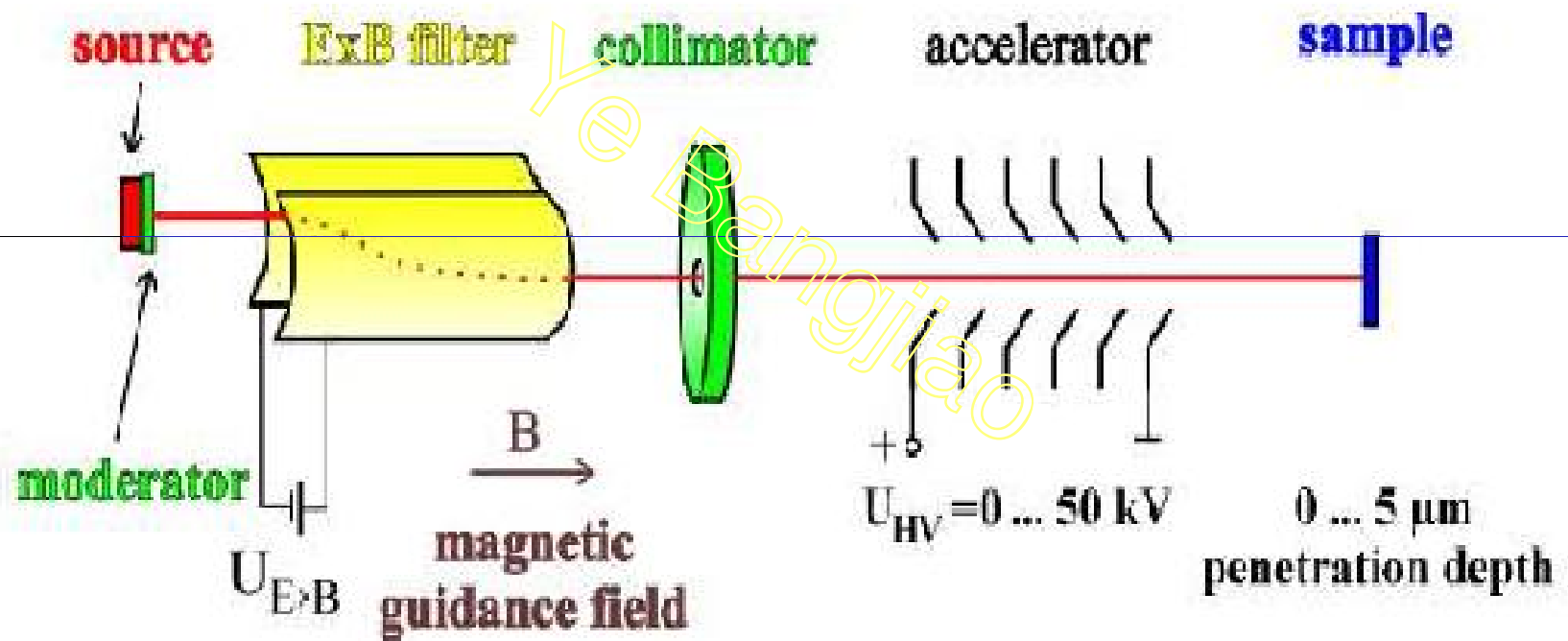
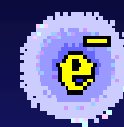
Positron lifetime spectra (upper) and three-gamma ratio (lower) as a function of annihilation time for capped (○) and noncapped (●) porous  $\text{SiO}_2$  films.





# ● 慢正电子束技术





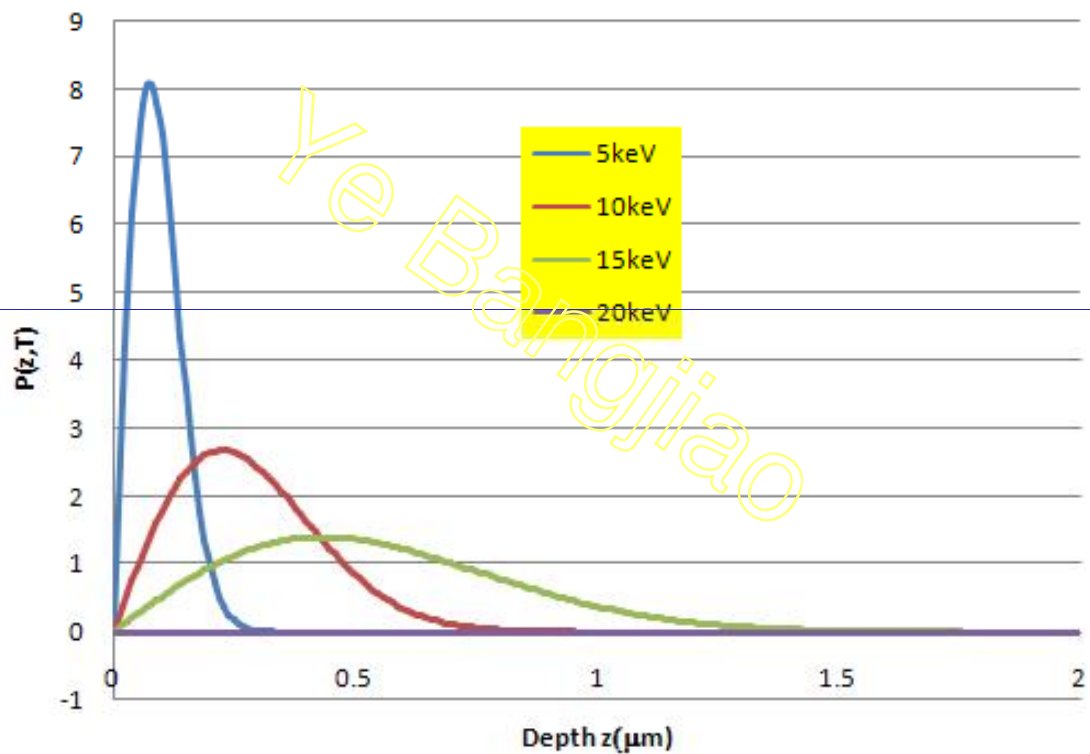




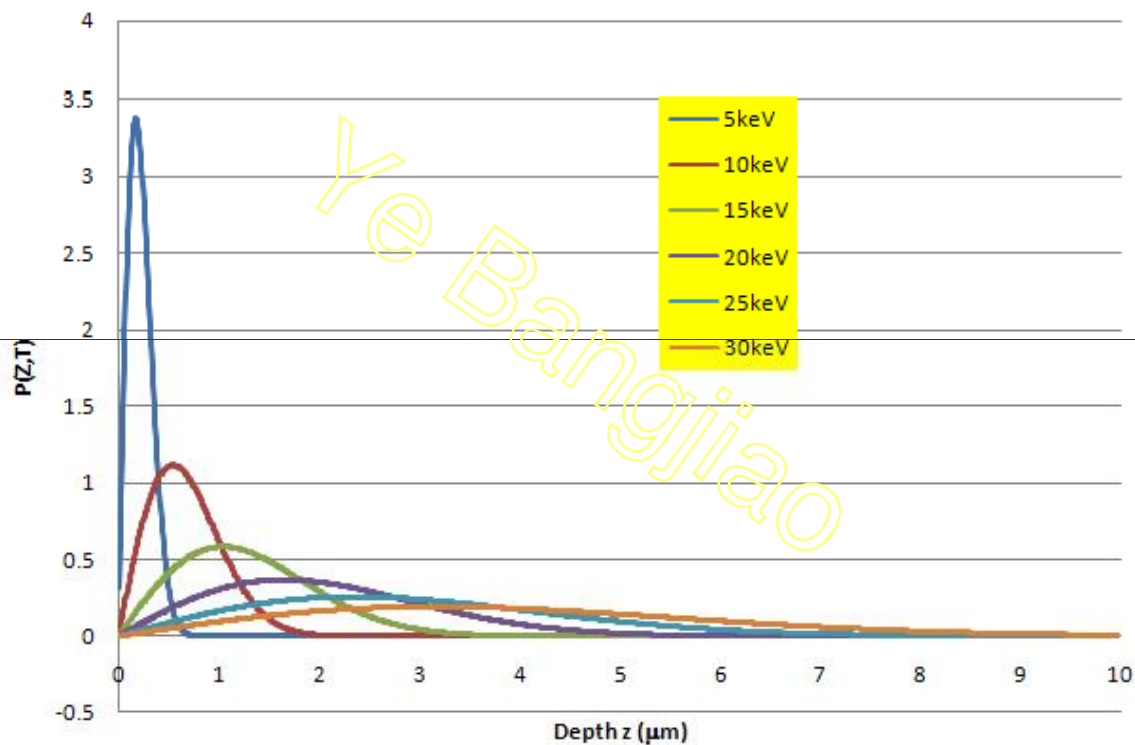
我国第一个慢正电子束装置



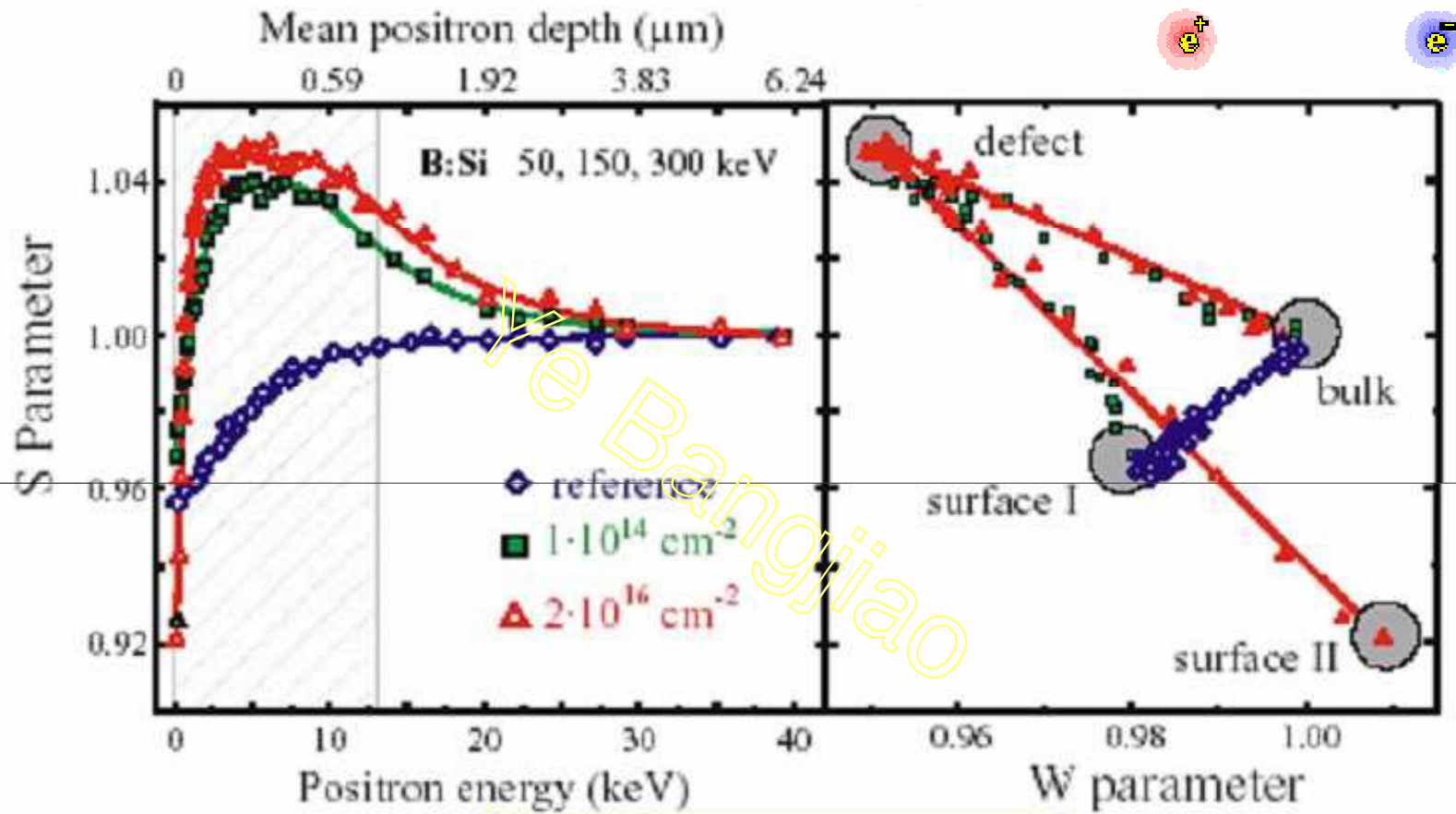
## Positron in ZnO



### Positron implantation profiles in Si

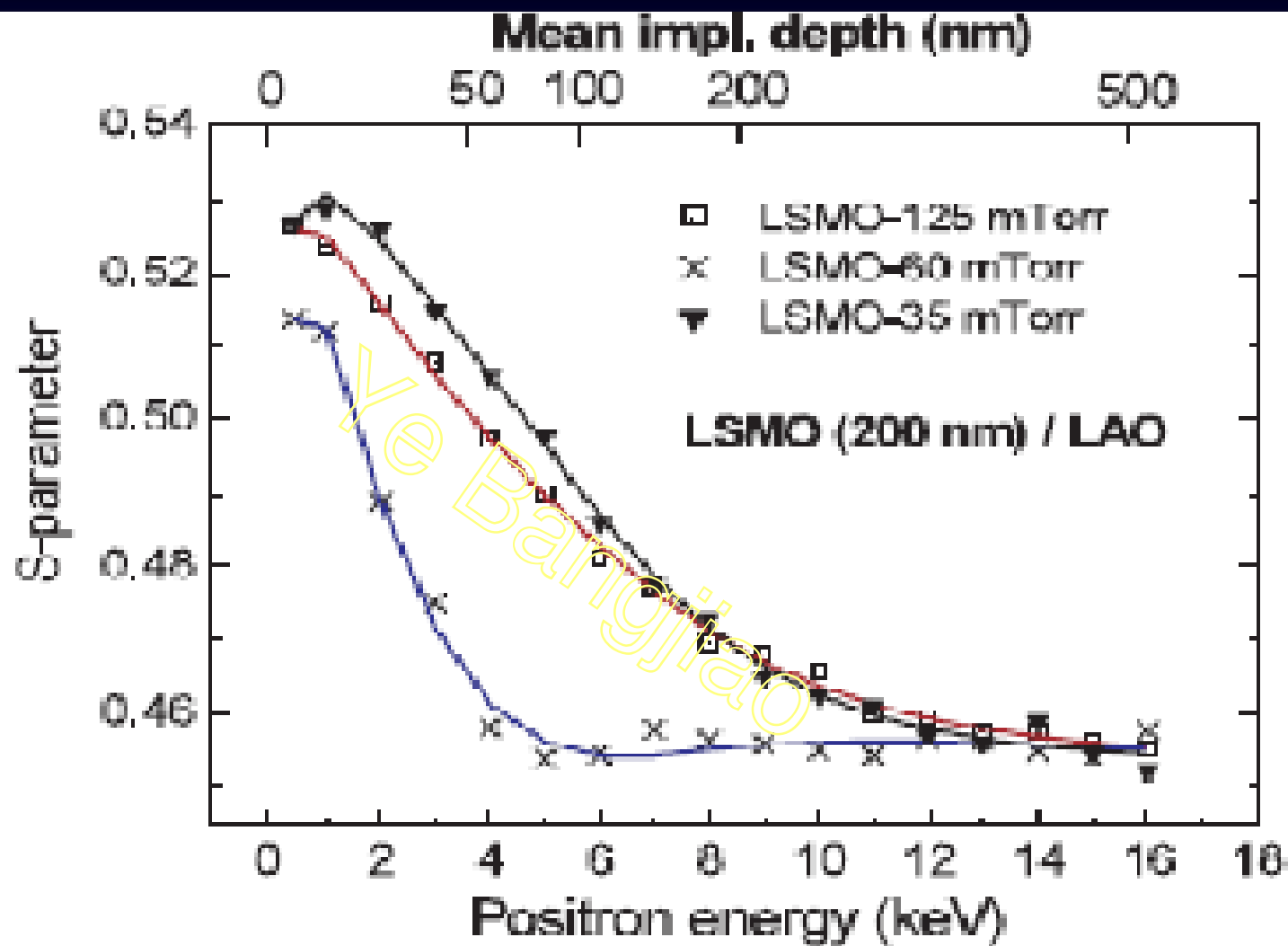


## S-E and S-W plots

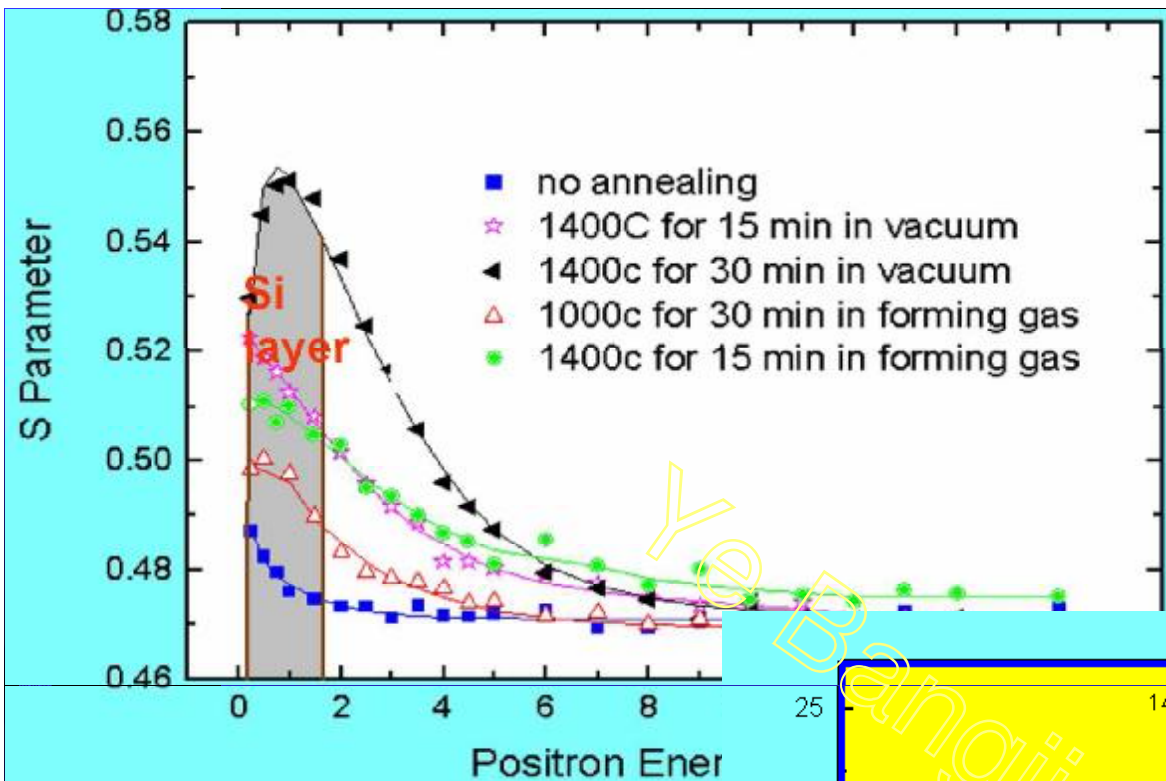


Ion implantation in Si

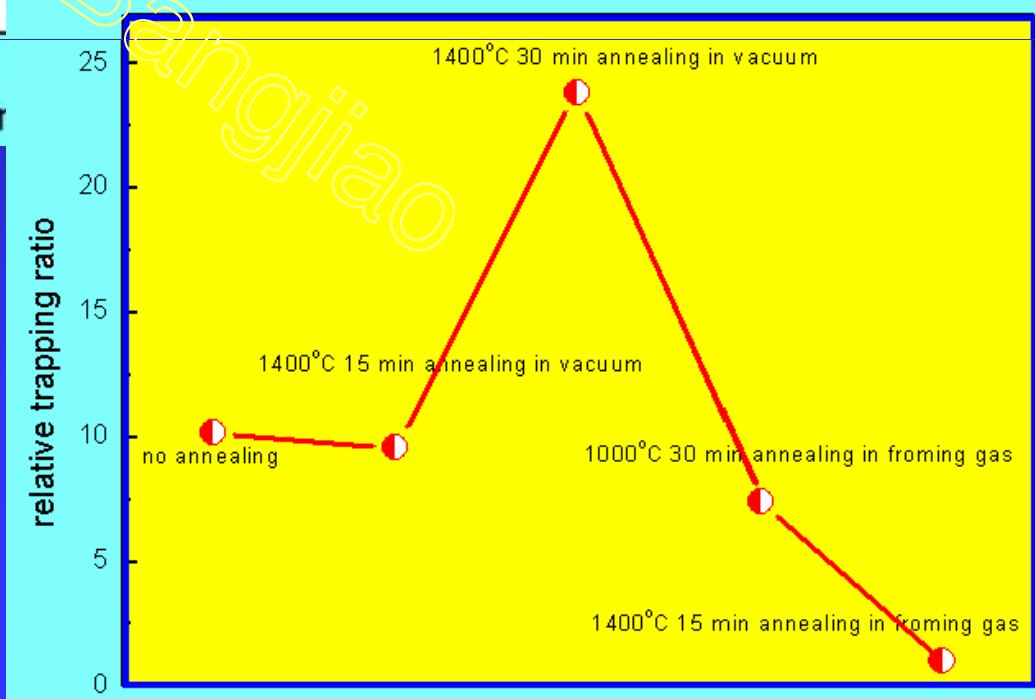




## La<sub>0.7</sub>Sr<sub>0.3</sub>MnO<sub>3</sub>外延膜缺陷的研究



## SiC 单晶在不同条件退火后缺陷的变化



# 正电子表面研究技术

- 正电子衍射（低能和高能）
- PAES技术





几十多年以来，科学家们致力于寻找最合适的研究固体表面的探针，电子、正电子、光子、原子和离子都可作为研究表面的探针，然而，一个理想的表面结构探针应该具有以下2个基本特性：

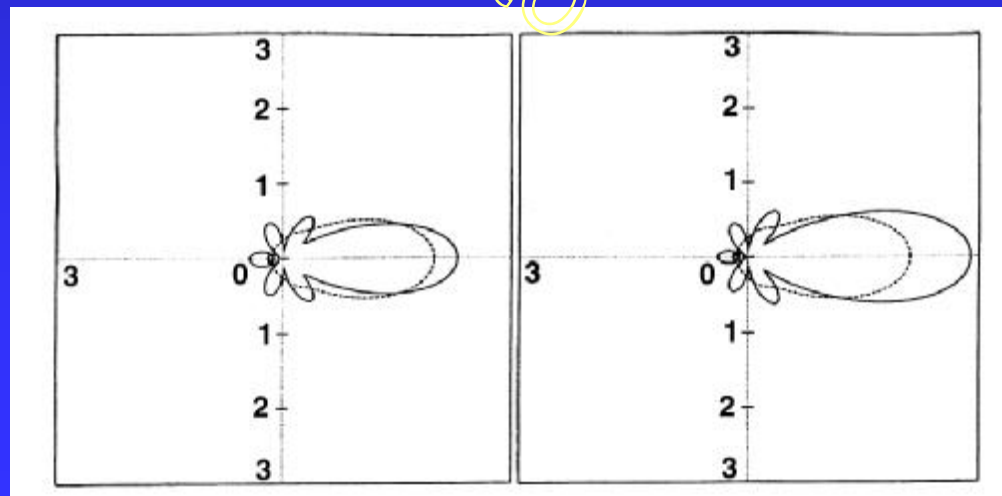
- 粒子必须要有小的平均自由程( $<30\text{\AA}$ )，即要对表面灵敏；
- 粒子与表面的相互作用应该较弱，以使测量结构可以被精确地模拟计算。





## 正电子最合适作为表面探针的理想粒子:

- 因为它在固体中的平均自由程很短  事实上  对能量低于200eV的正电子，其平均自由程比电子平均自由程要短；对能量大于200eV的正电子，平均自由程与电子类似。因此正电子对最初的3-4层原子层特别灵敏。
- 正电子的散射因子与X-射线和电子基本类似。而电子的散射因子有尖锐的各向异性角分布，而正电子的角分布圆滑变化，如图为微分角分布。



Messenger

Spectroscopy

Positron

LEPD

RHEPD

Positron work function measurement

Positron re-emission spectroscopy and microscopy

Re-emitted positron energy loss spectroscopy (REPELS)

Positron tunnelling spectroscopy

Positron backscattering

Ps

Ps emission/formation spectroscopies

Inverse Ps formation spectroscopy\*

Ps diffraction\*

Gamma photon

Surface ACAR

Positron-annihilation microscopy

Electron

PAES

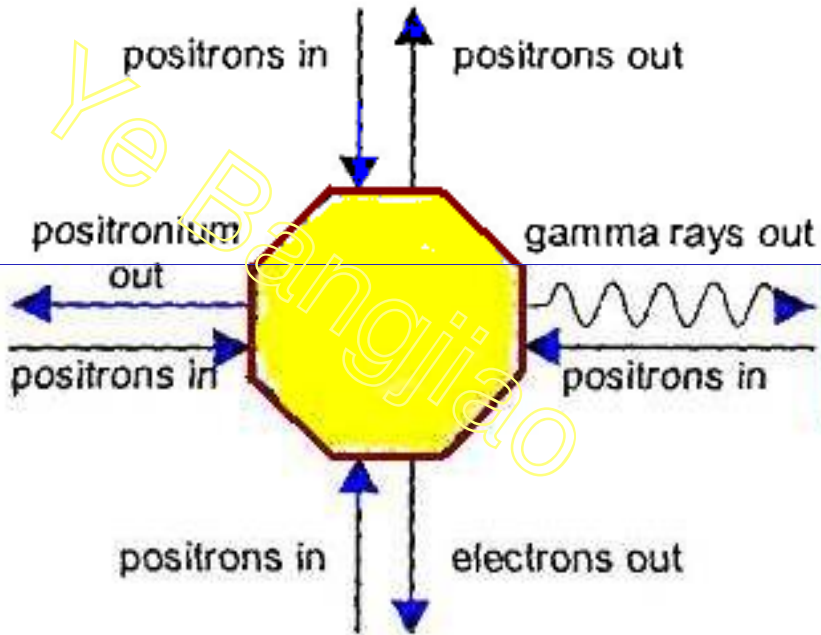
Positron-induced secondary electron emission



**LEPD**  
*Positron work function*  
*Positron reemission spectroscopy*  
*Positron tunneling spectroscopy*  
*Positron backscattering*



**Positron**  
*emmission*  
*spectroscopy*



**Surface**  
**ACAR**

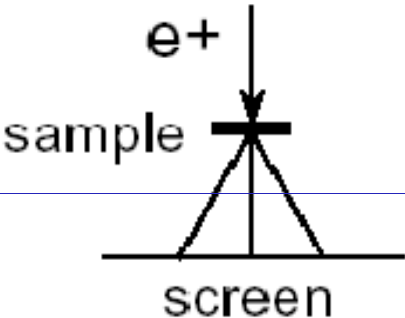
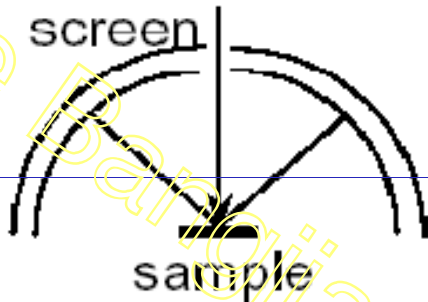
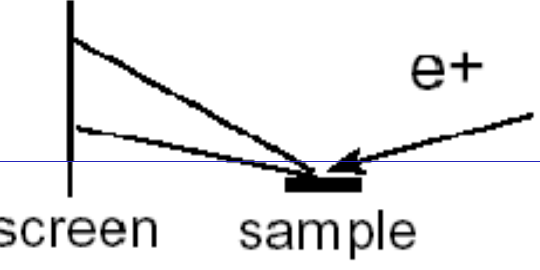
**PEAS**  
*Positron-induced*  
*secondary electrons*



# ● 正电子衍射

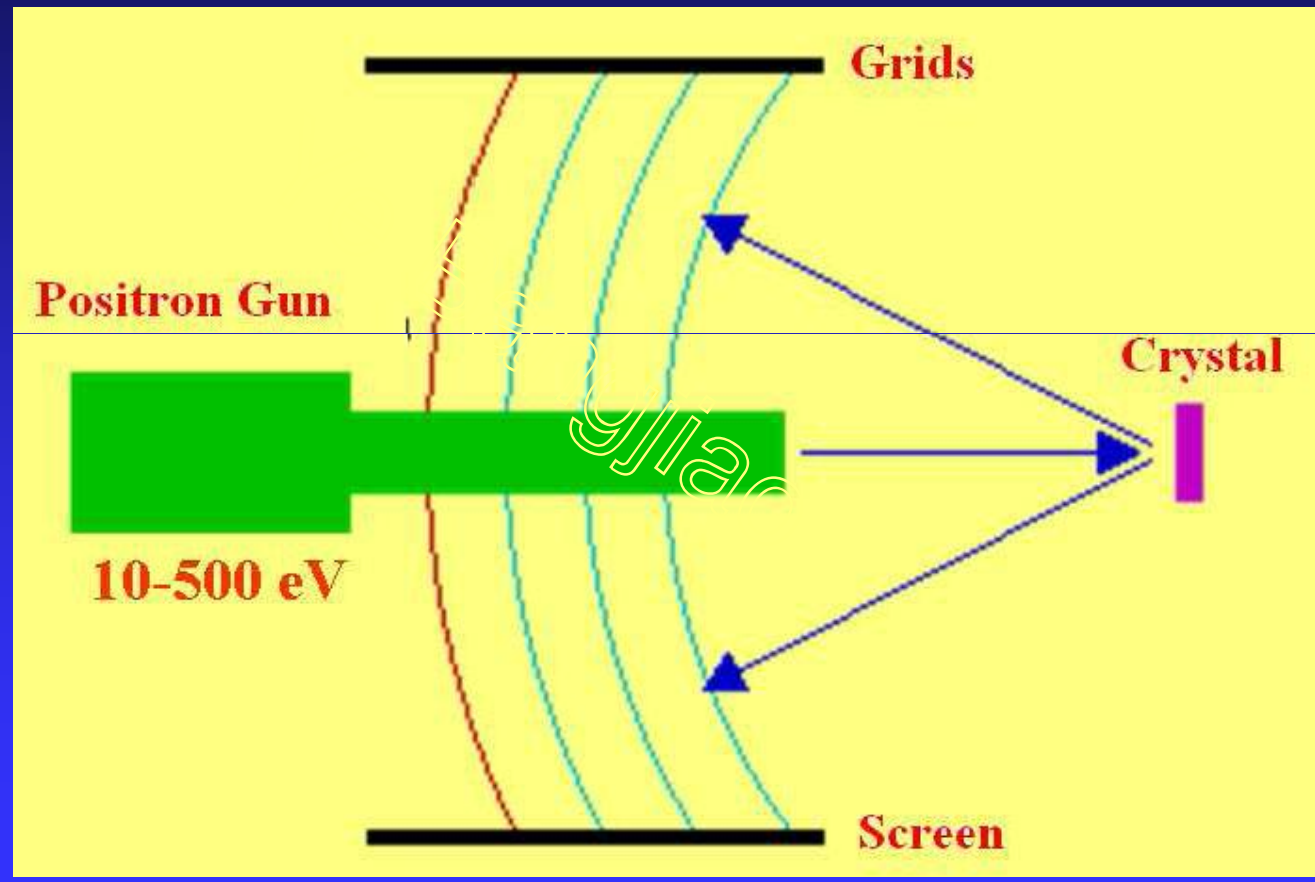
## ■ 低能正电子衍射LEPD

### Positron Diffraction Experiments

		
<p><b>TPD</b> Transmission Positron Diffraction</p>	<p><b>LEPD</b> Low Energy Positron Diffraction</p>	<p><b>RHEPD</b> Reflection High Energy Positron Diffraction</p>
<p>100keV ▪ 1MeV</p>	<p>10 ▪ 500eV</p>	<p>10 ▪ 100keV</p>
<p>Bulk ▪ Study</p>	<p>▪ Surface ▪ Study ▪</p>	

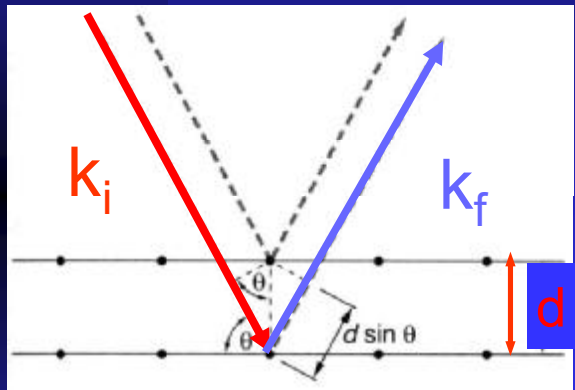


# LEPD



Derive LEED equation using Bragg's Law for X-ray diffraction, where appropriate angles are substituted and  $\lambda$  is for the electron wavelength.

X-ray Diffraction

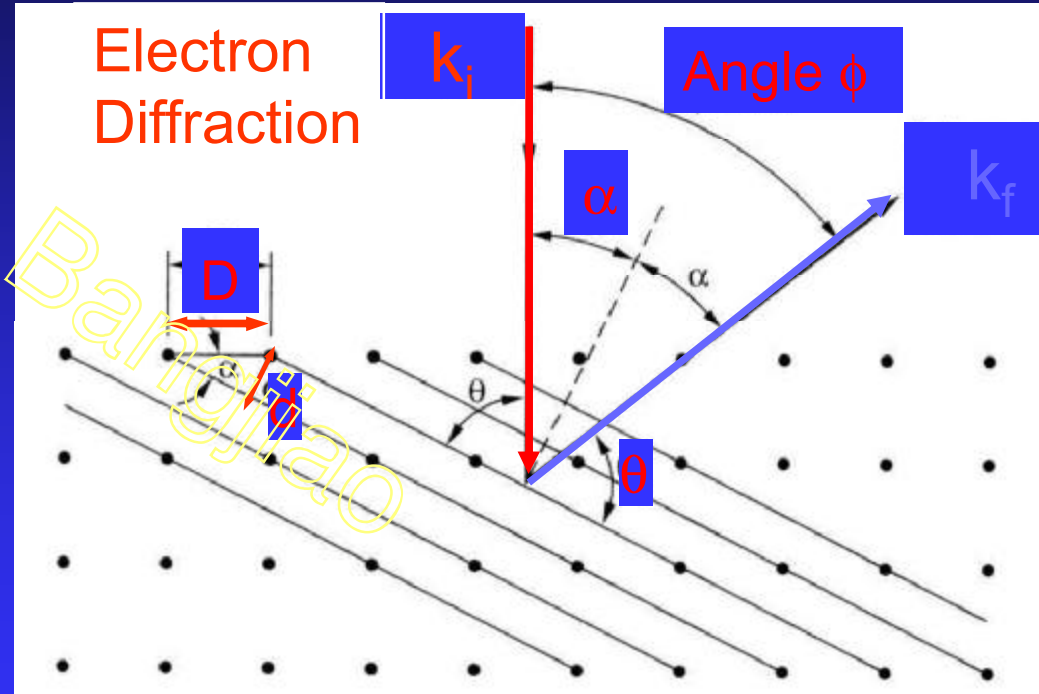


$$n\lambda_{\text{xray}} = 2d \sin \theta$$

$$n\lambda = 2(D \sin \alpha)(\cos \alpha)$$

$$\lambda = D \sin 2\alpha$$

Electron Diffraction



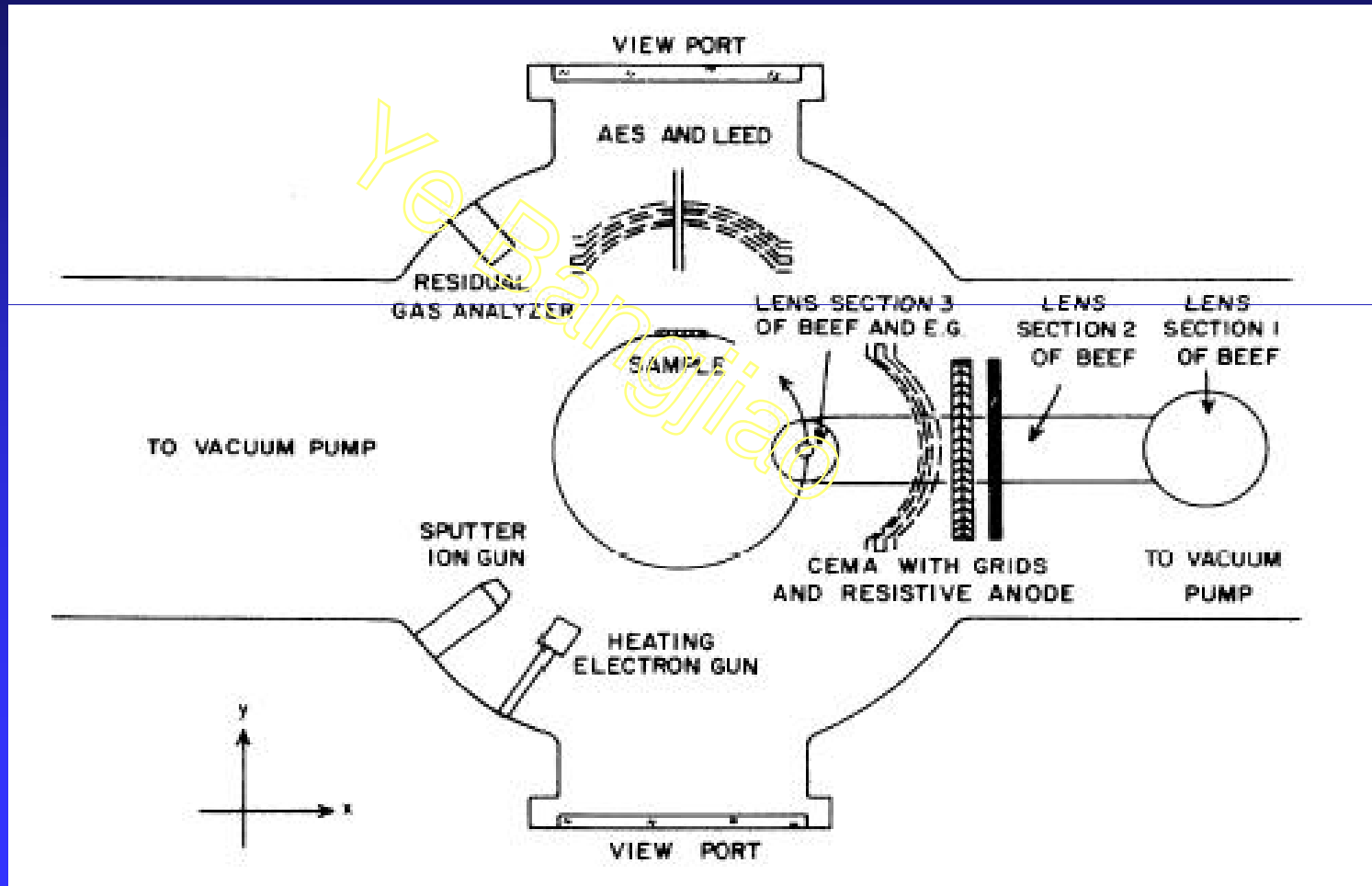
$$n\lambda_{\text{elec}} = D \sin \phi$$

## LEPD的优点

- 正电子散射的相移与原子序数 $Z$ 的依赖不如电子散射灵敏；因而LEPD在多成分系统对结构参数更加灵敏。
- LEPD的非弹截面大，意味着LEPD的平均自由程比LEED短，而平均自由程与扩散深度直接有关，因而，LEPD比LEED在表面有更大的灵敏度。
- 使用在LEPD I-V轮廓理论计算中的正电子-电子相互作用关联项的不确定比之在LEED中等价的项要弱。
- 由于正电子接近离子芯时减速，因而对从高 $Z$ 材料表面的散射电子其相对论效应如自旋-轨道耦合将减少。



美国Brookhaven实验室和 Bell实验室及其它研究中心也已经开始发展LEPD测量技术。

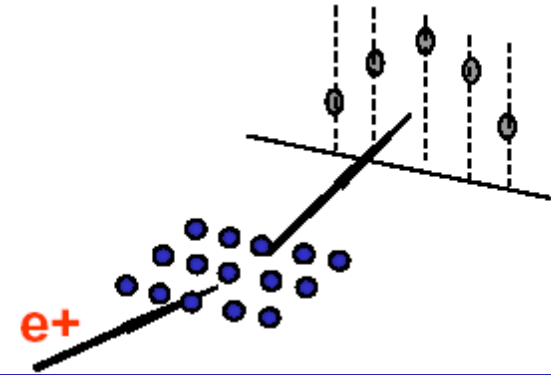




# ■ 高能正电子衍射(RHEPD)

## Reflection high-energy positron diffraction

KAWASUSO, A., (JAERI)

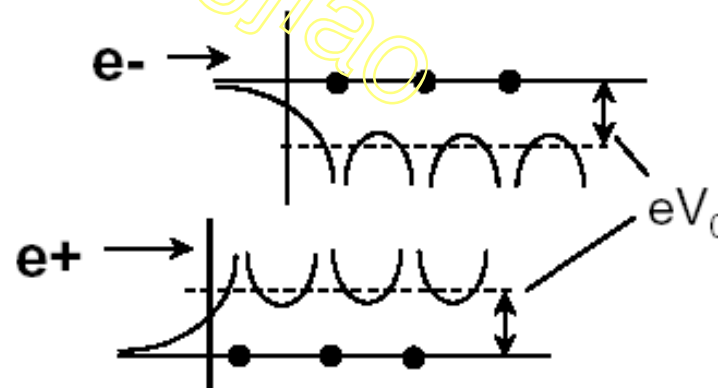


- Primary Bragg Reflection
- Total Reflection

Negative Inner Potential



Positive Inner Potential

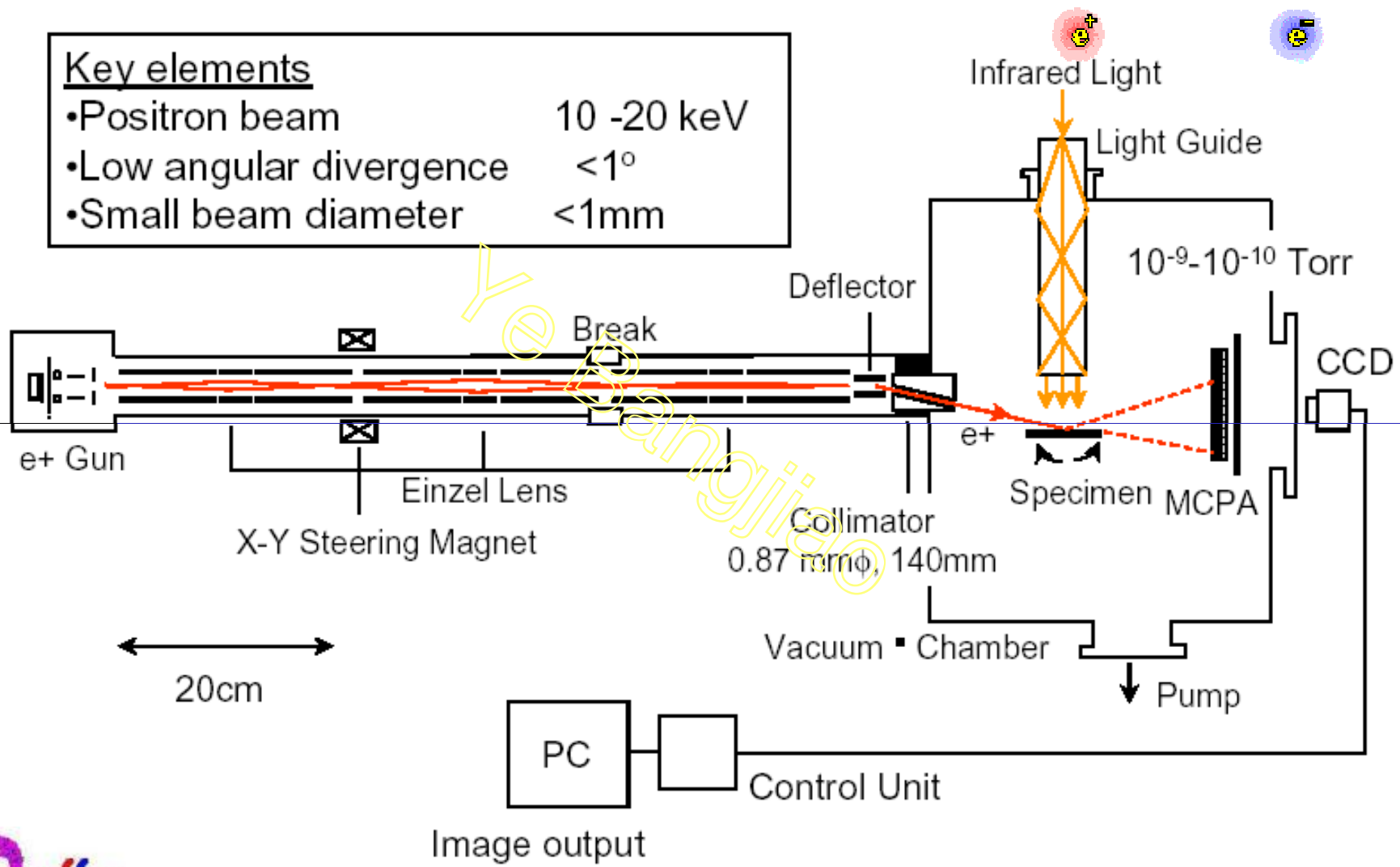


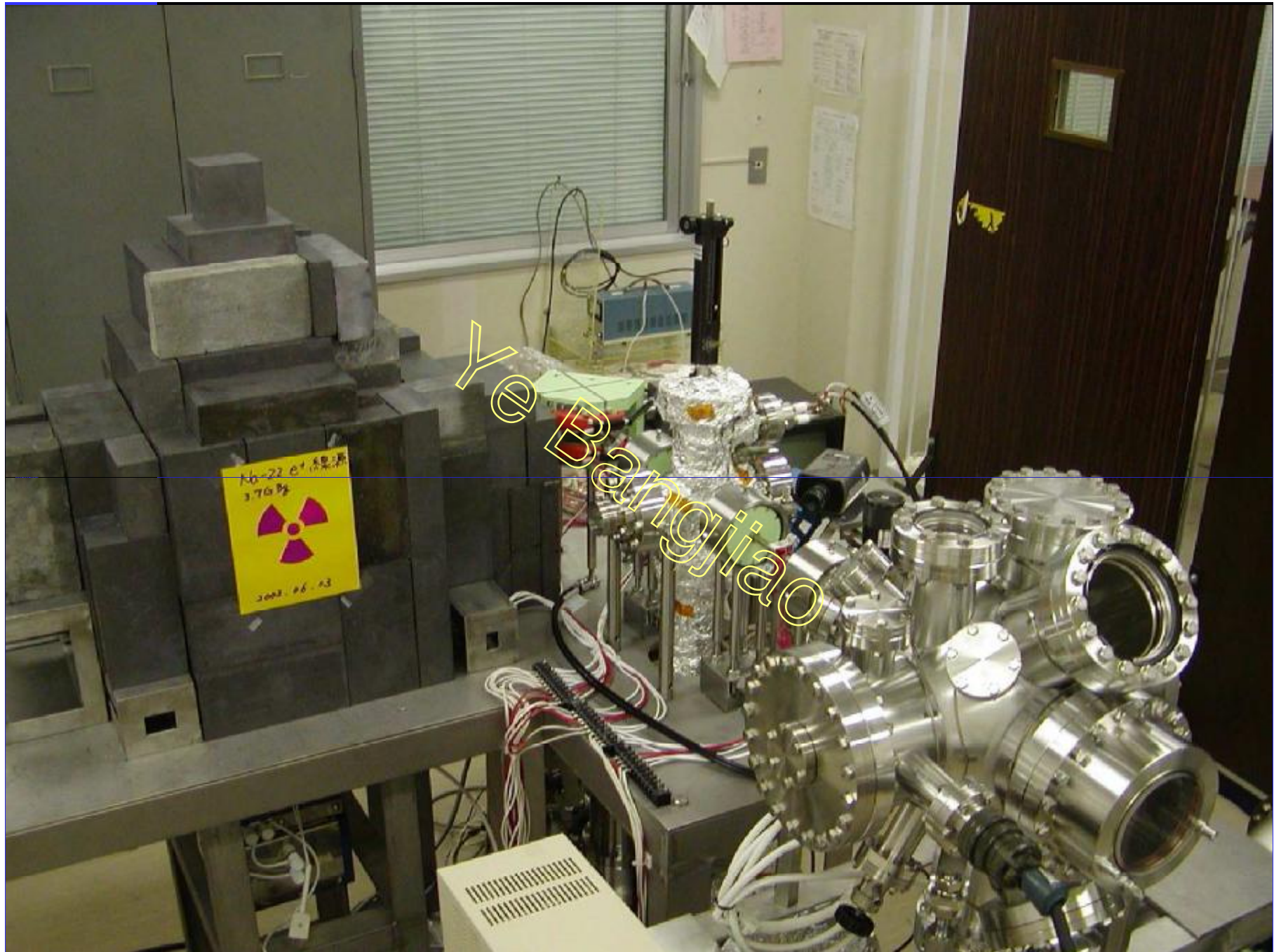
Bragg condition: 
$$E \sin^2 \theta = 37.5 \frac{n^2}{d^2} + eV_0$$



# Present RHEPD apparatus at JAERI

- Key elements**
- Positron beam 10 -20 keV
  - Low angular divergence <math><1^\circ</math>
  - Small beam diameter <math><1\text{mm}</math>



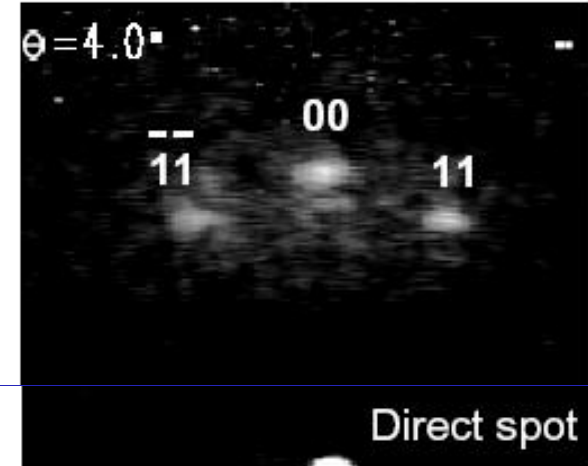
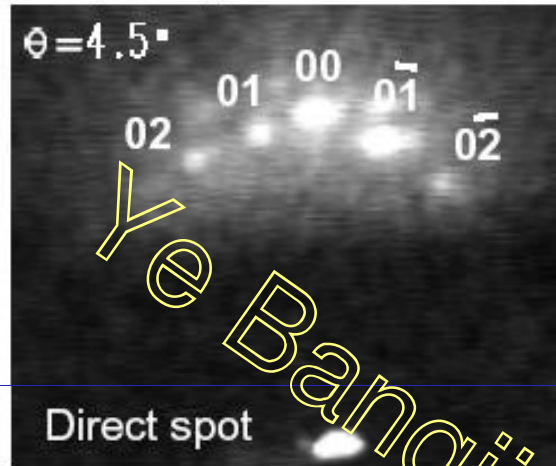


# First RHEPD pattern from Si(111)H

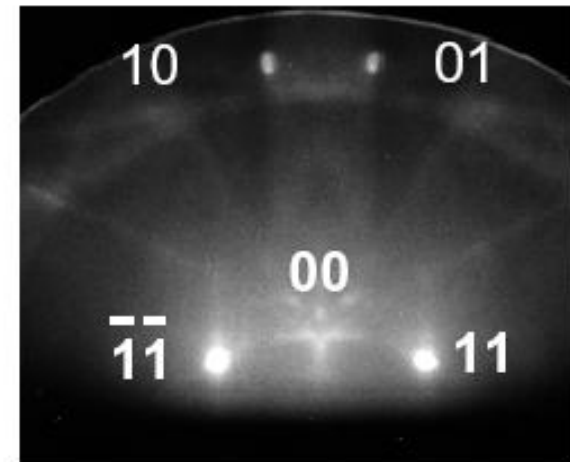
[11 $\bar{2}$ ] incidence

[1 $\bar{1}$ 0] incidence

RHEPD



RHEED

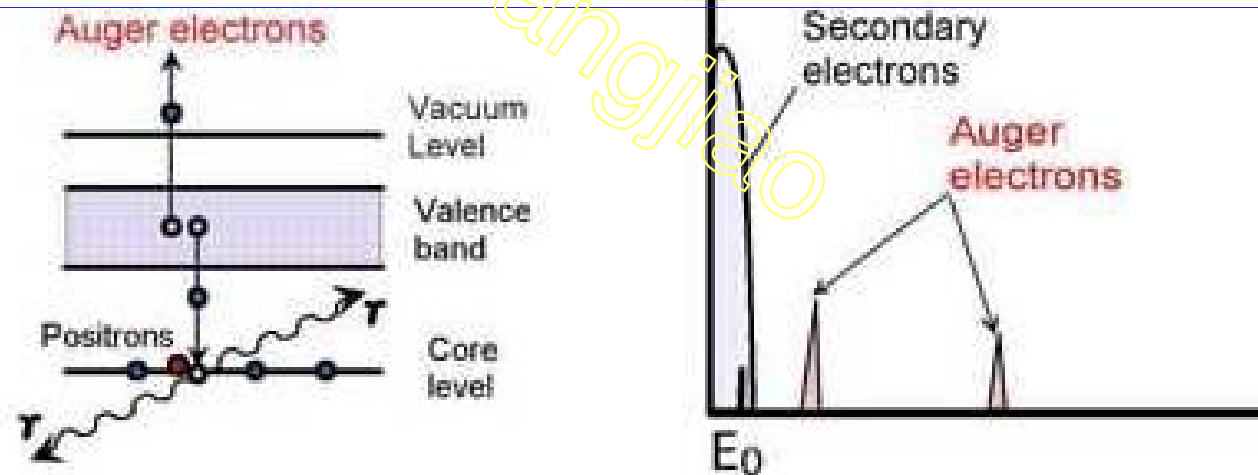


# ● PAES

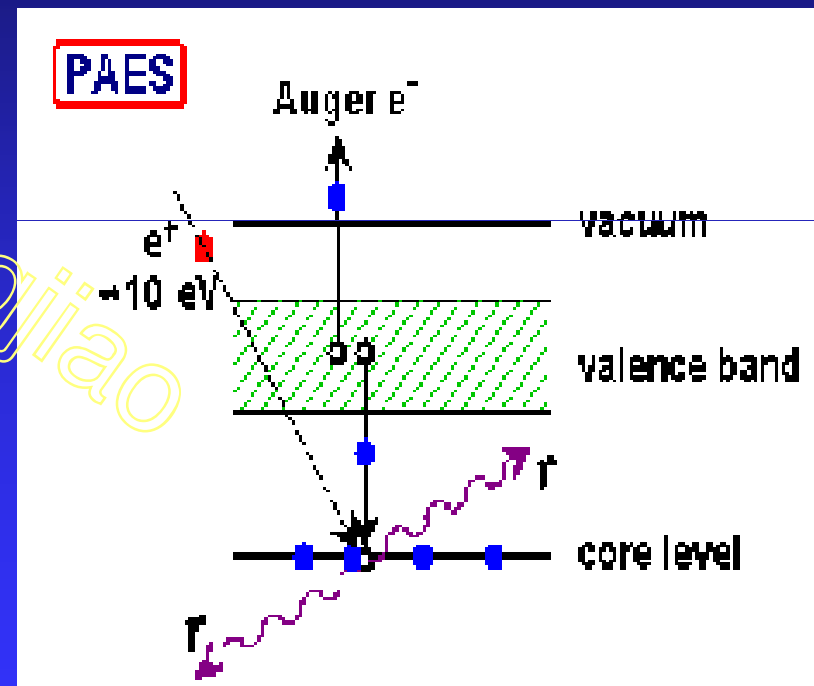
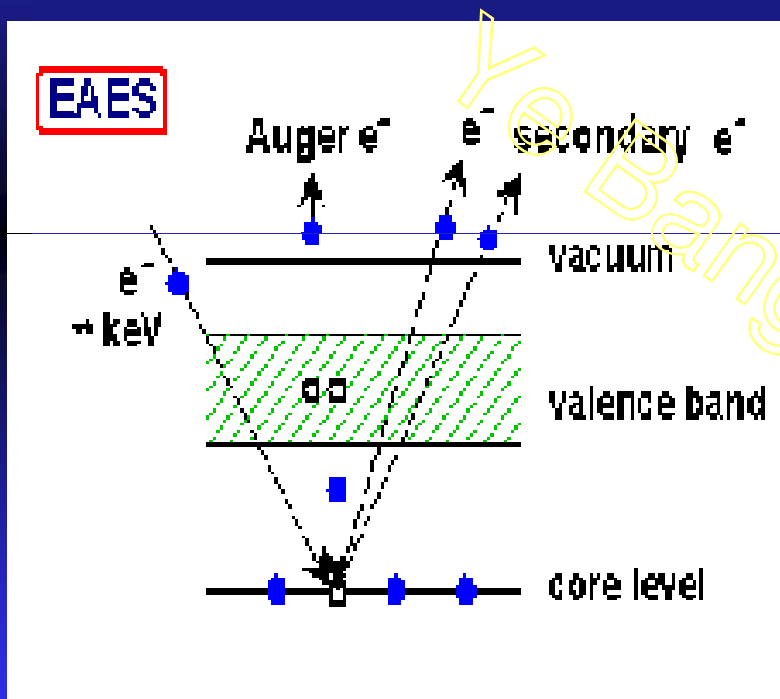


## Positron-annihilation induced AES (PAES)

Core holes are created by annihilation of the core electrons with positrons trapped by the surface state.



俄歇电子发射的基本原理是：低能正电子注入固体表面时，相当一部分扩散回到表面，被近表面或表面态捕获，一部分被捕获的正电子与芯电子湮没，产生芯空位，因而产生俄歇电子发射



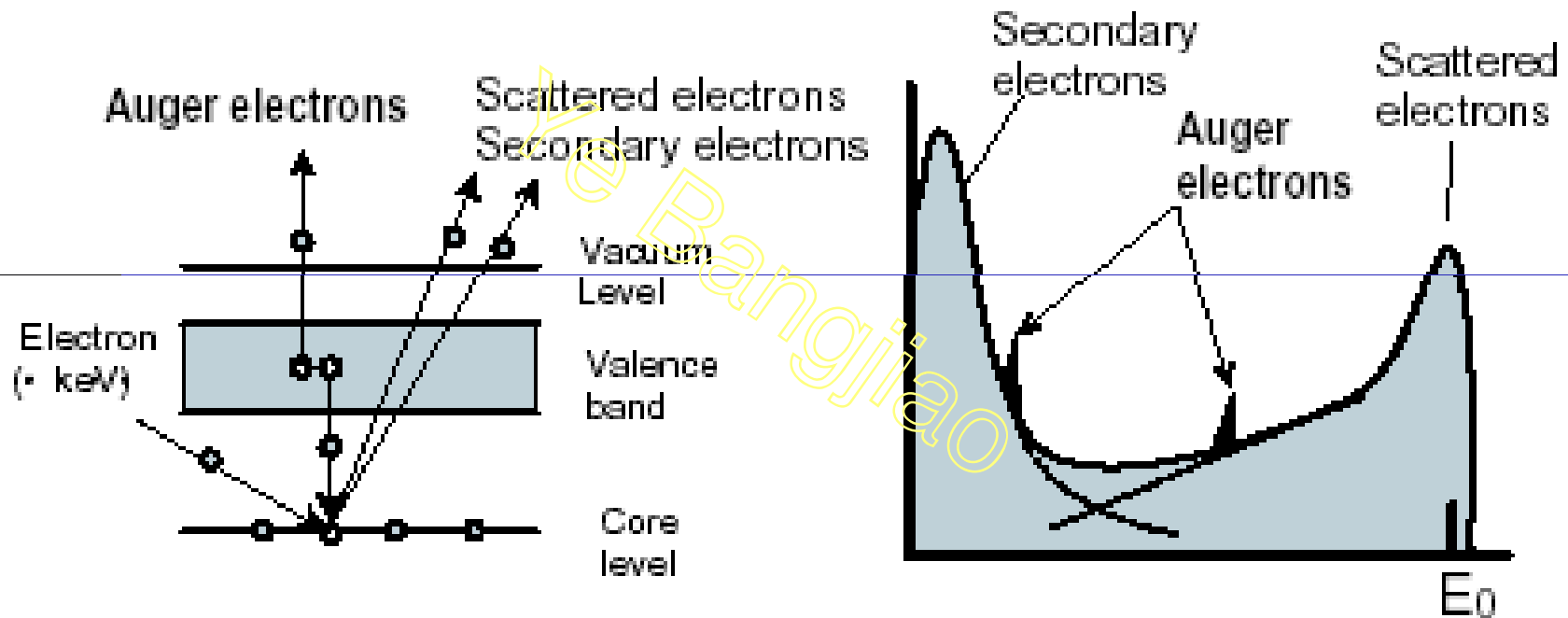


Weiss等人在1988年首先发展了正电子湮没诱发的俄歇电子谱仪（PAES），该技术的主要优点有：

- （1）对表面灵敏，可以分析最表面的原子层；
- （2）在非常低的能量损失下（大约比电子俄歇谱EAES的能量损失低5个量级）得到PAES谱；
- （3）可以大大消除的二次电子本底。因而PAES技术特别适宜于俄歇线型分析。



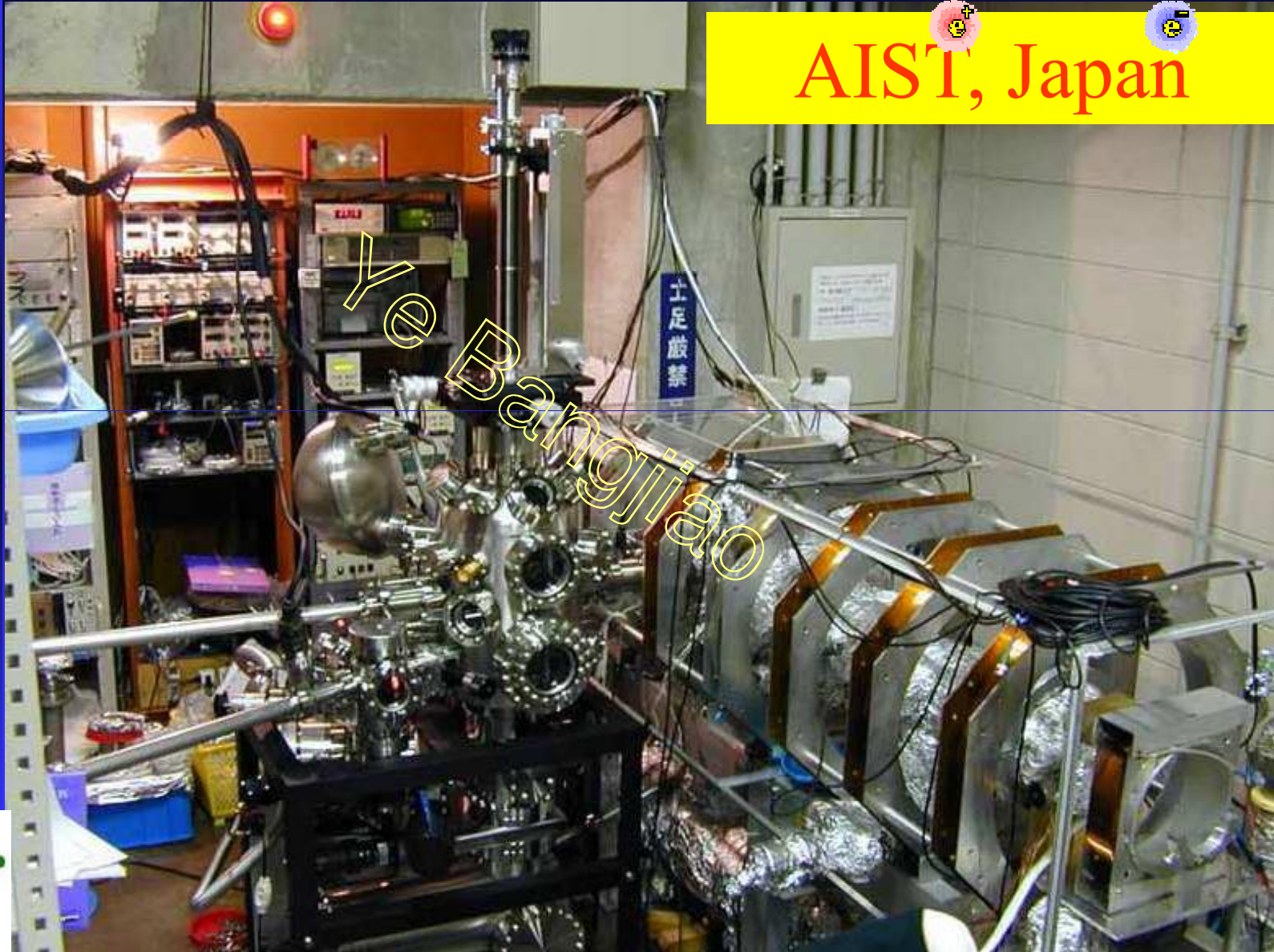
## (a) Electron induced AES (EAES)



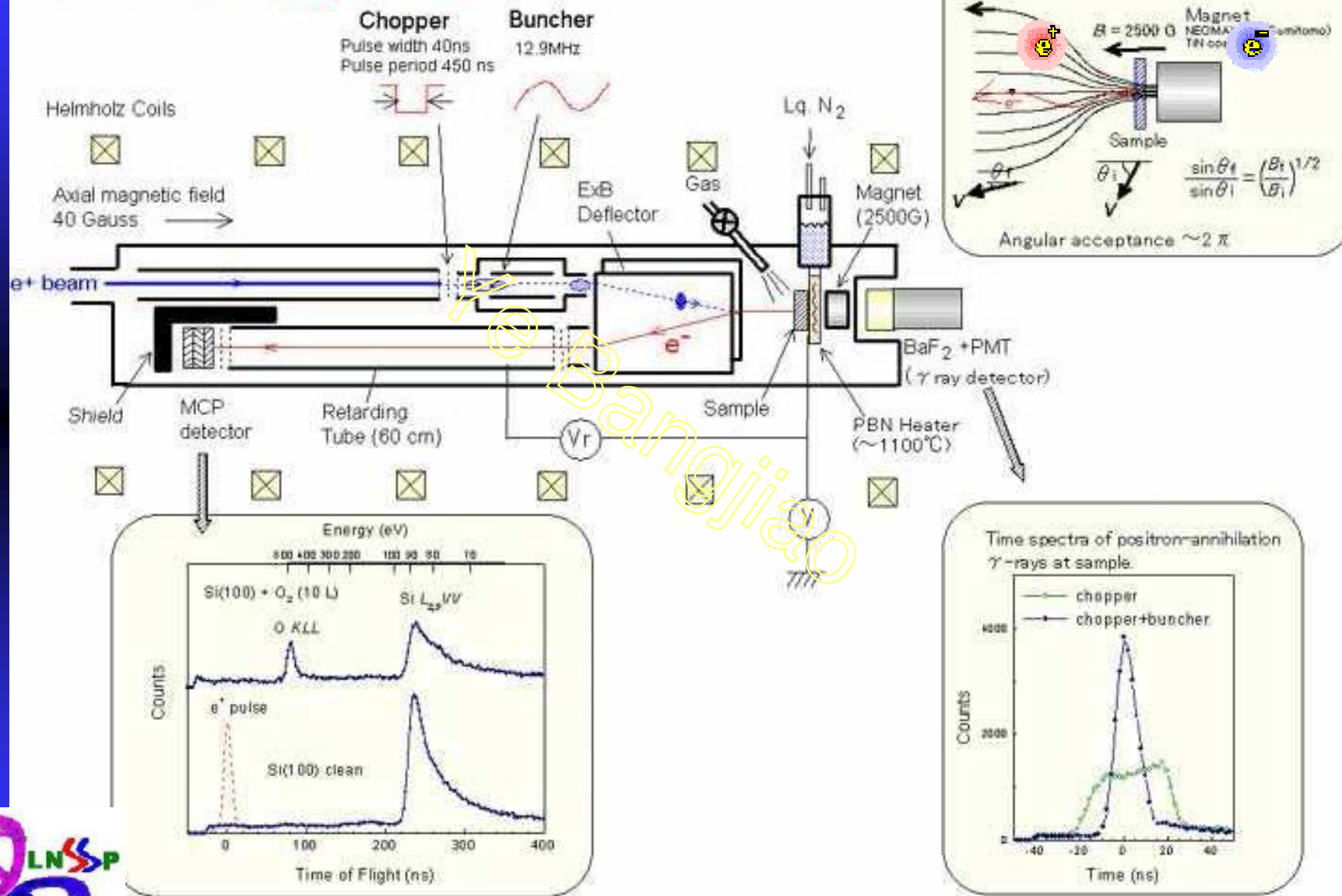


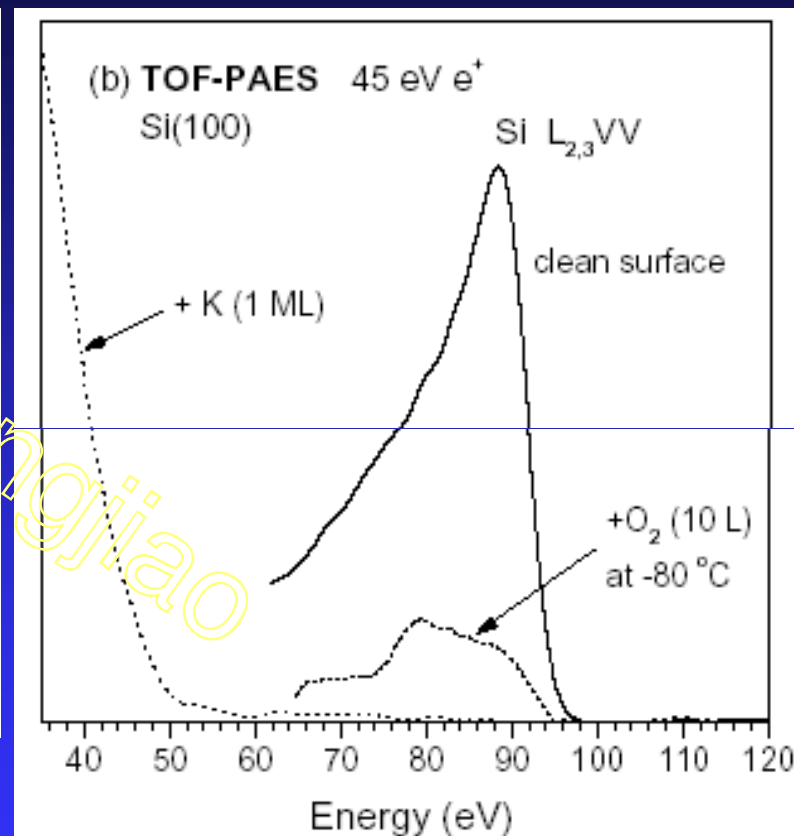
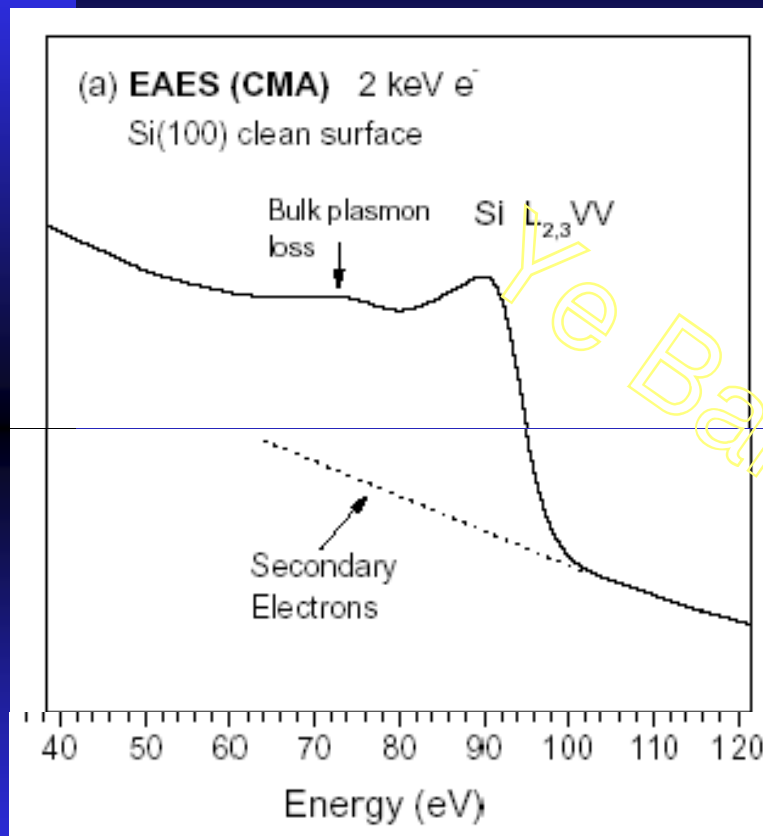
# TOF-PAES

AIST, Japan

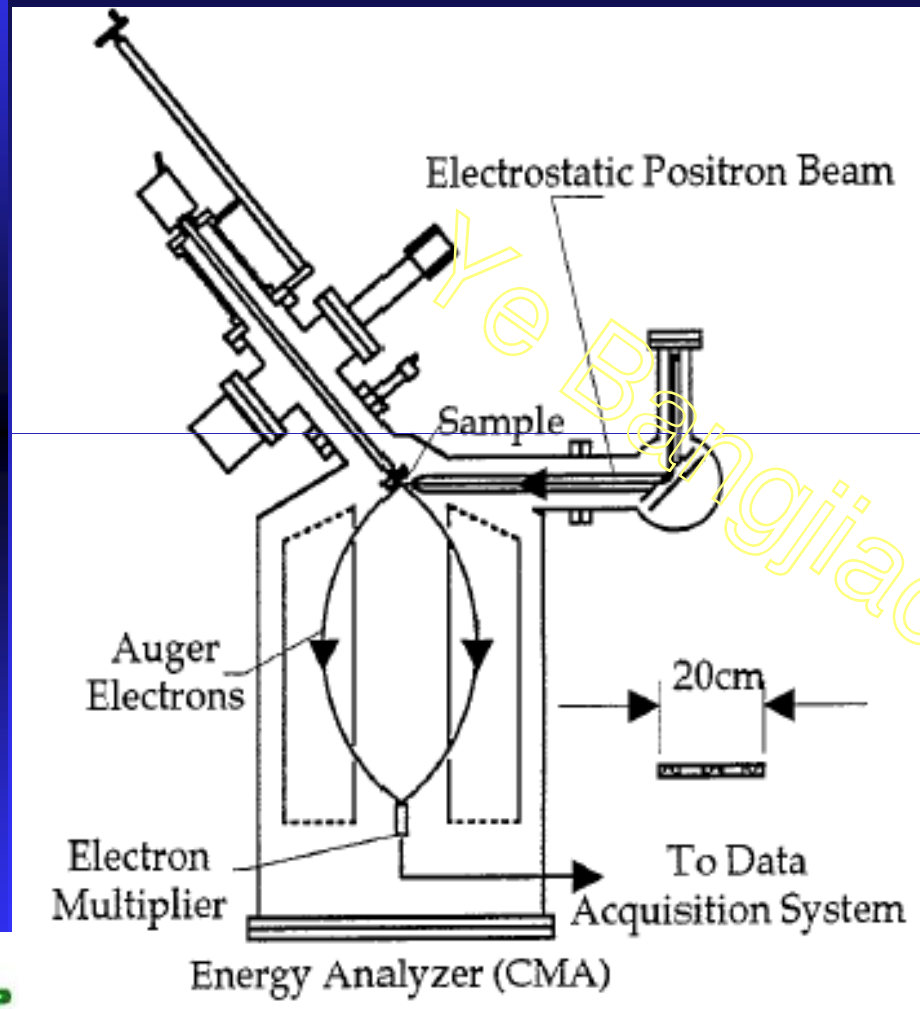


# TOF-PAES apparatus



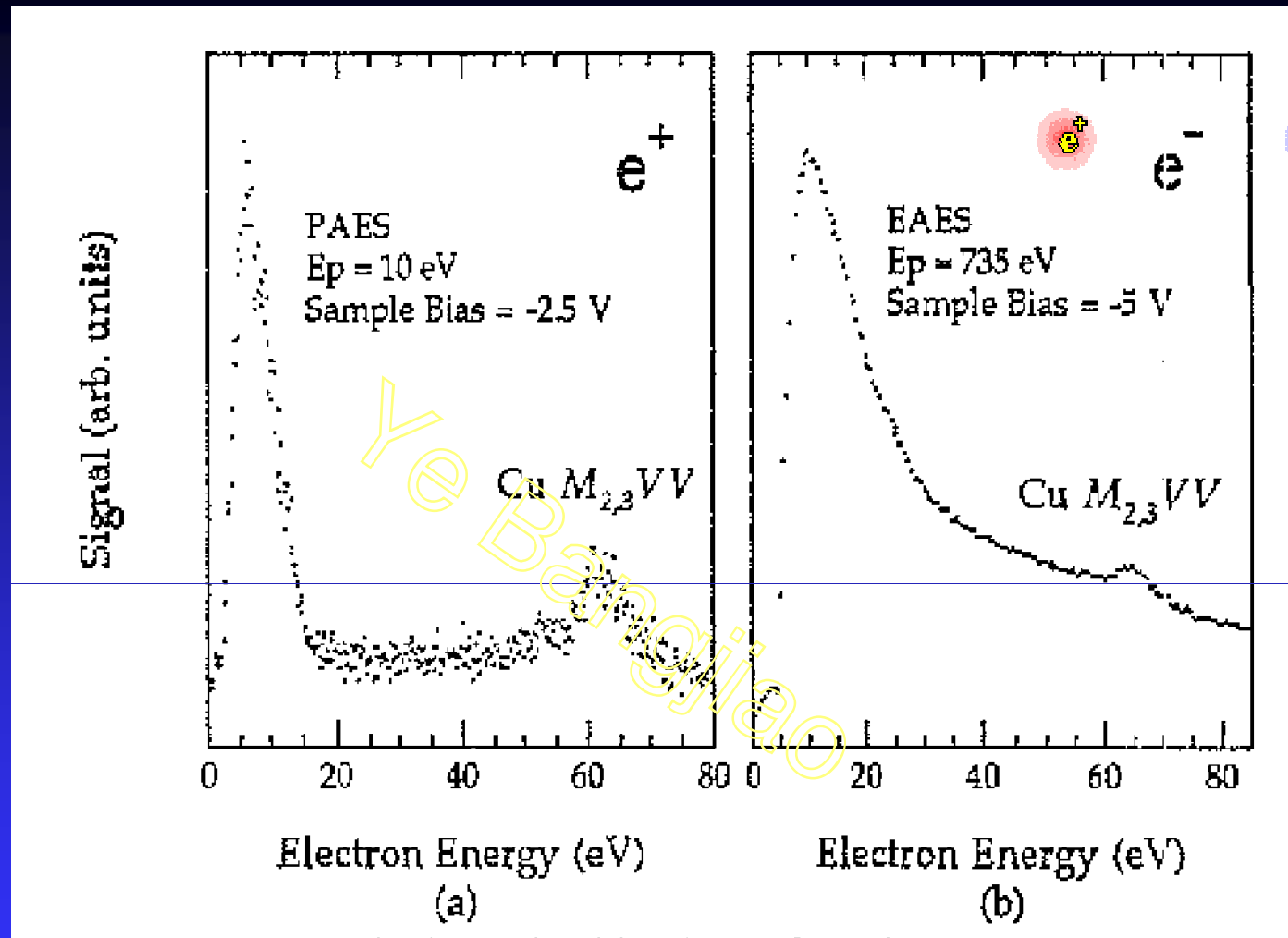


# 美国Texas大学PAES



美国Texas大学Arlington分校的Weiss在1995年建立了一台能量分辨为2%的高分辨PAES谱仪，配备60mCi的 $^{22}\text{Na}$ ，可获得 $\sim 8 \times 10^4 \text{ e}^+/\text{s}$ 束流强度。



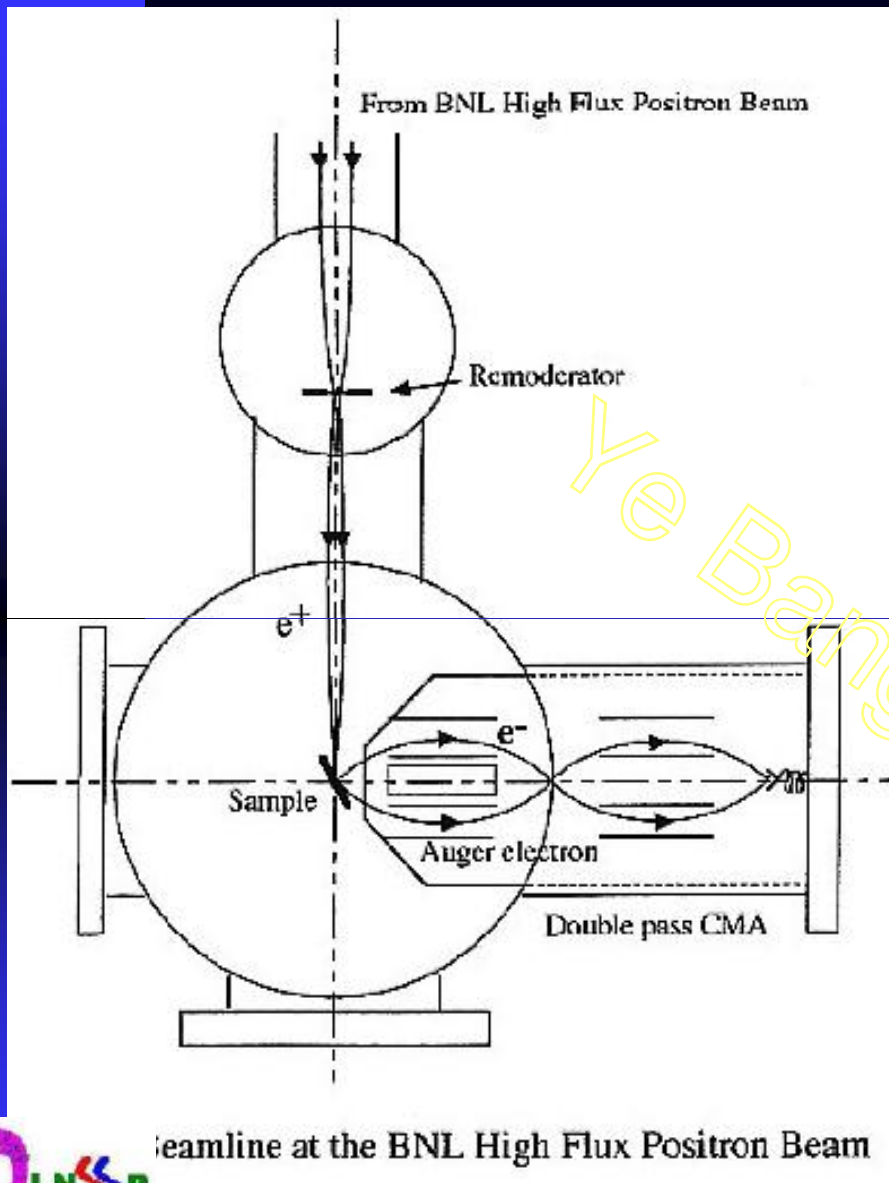


正电子和电子在多晶铜表面引起的俄歇电子发射。



(a) 正电子能量10eV, (b) 电子能量735eV。

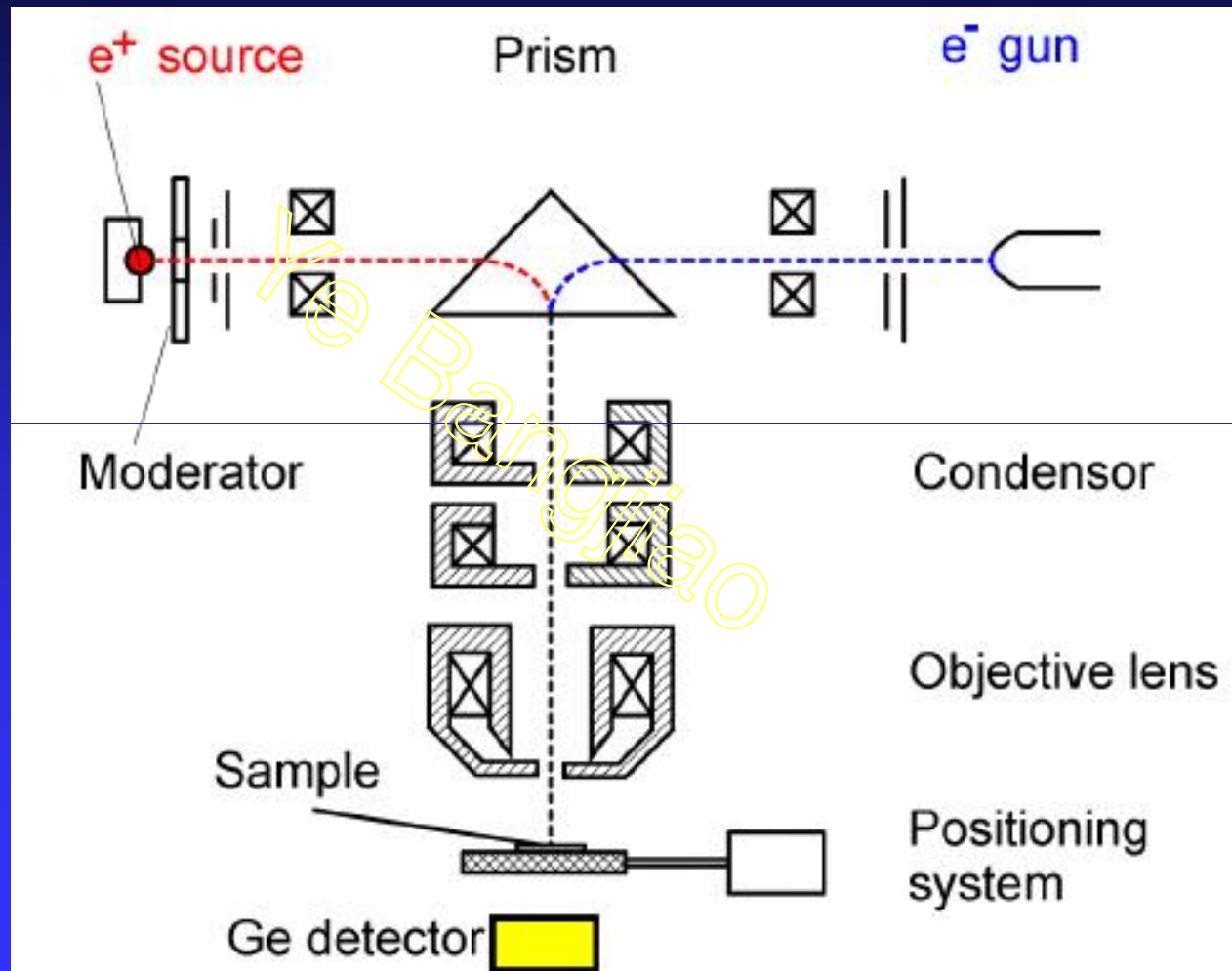
# Brookhaven National Lab. PAES



这个装置可产生比通常的PAES要大100倍的正电子束流强度，这样可以使测量时间从原来的几小时减少到几分钟，因此可用来对薄膜生长动力学和不稳定的多成份表层系统进行高分辨测量研究。

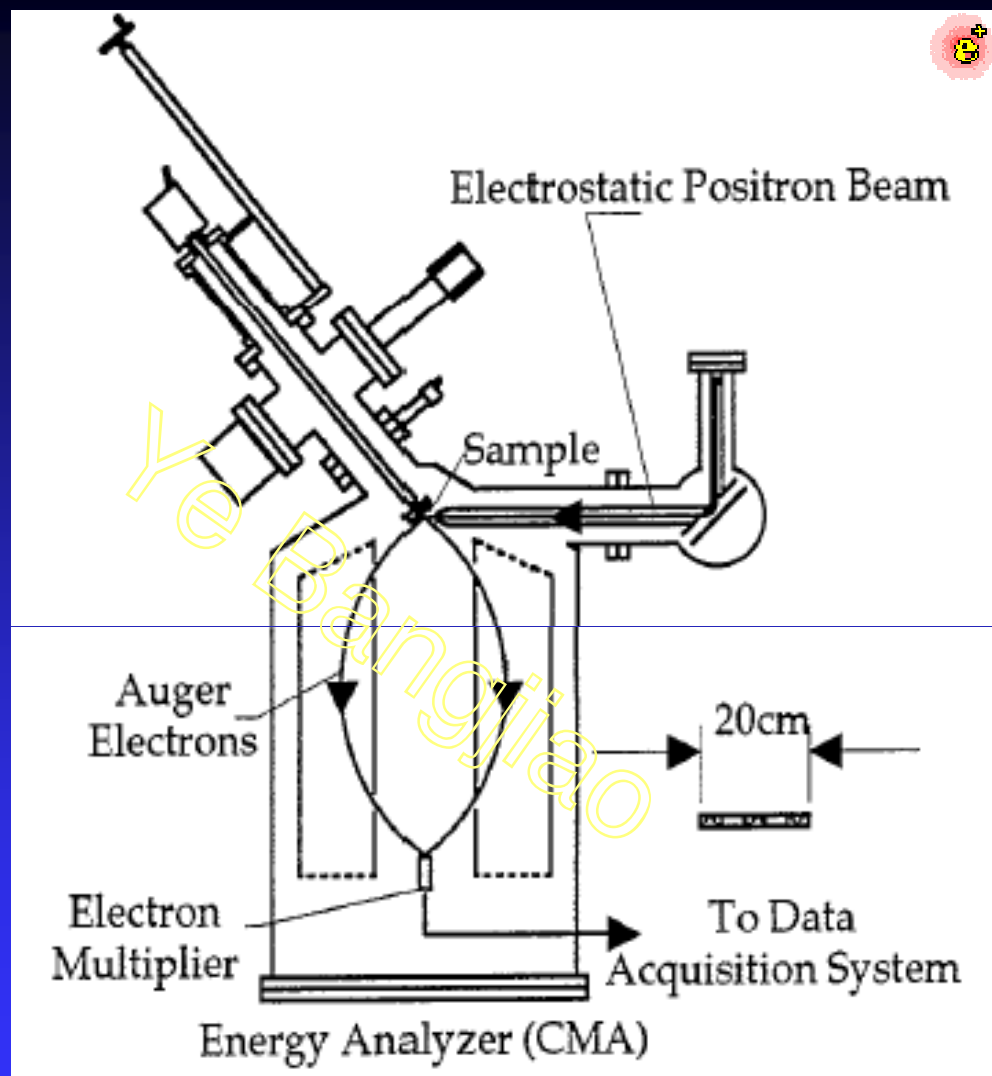


# ● 微 束



**The Positron Microscope at Bonn University**

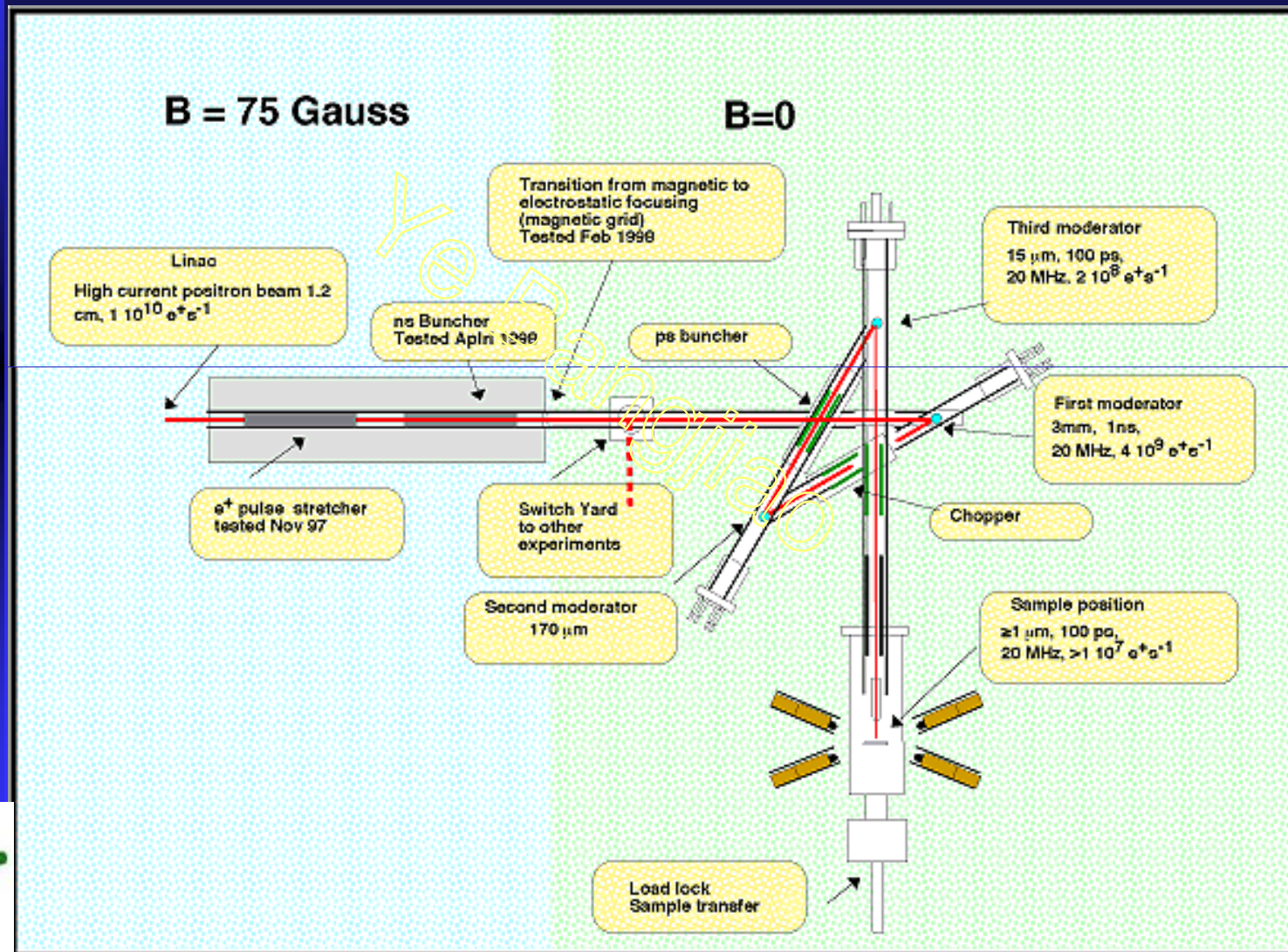




美国德克萨斯大学阿灵顿分校的高分辨PAES



# Microbeam

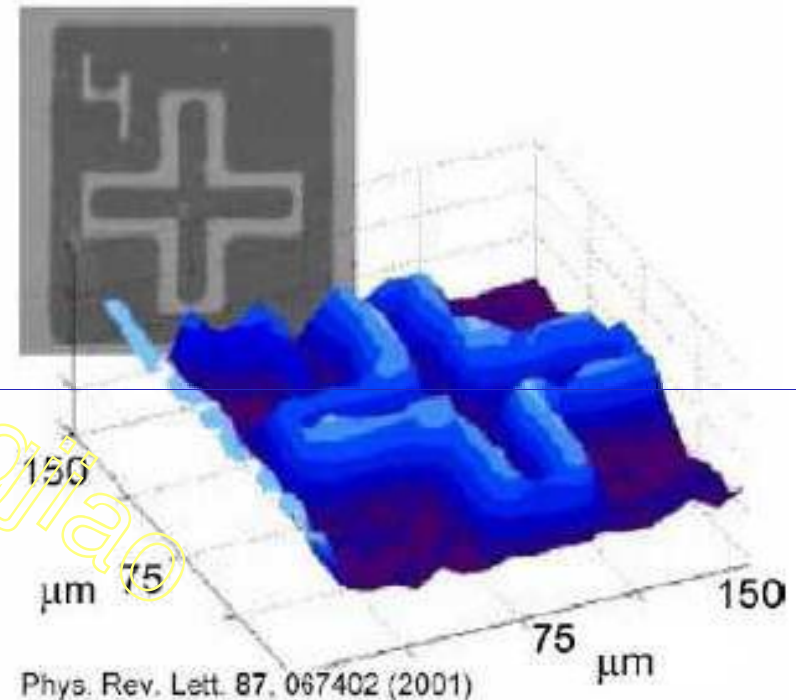


# Scanning positron microscope

- Variable energy micro-beam of monoenergetic positrons
- Lateral resolution of  $2\ \mu\text{m}$  is achieved
- Lifetime measurements at different beam energies are possible

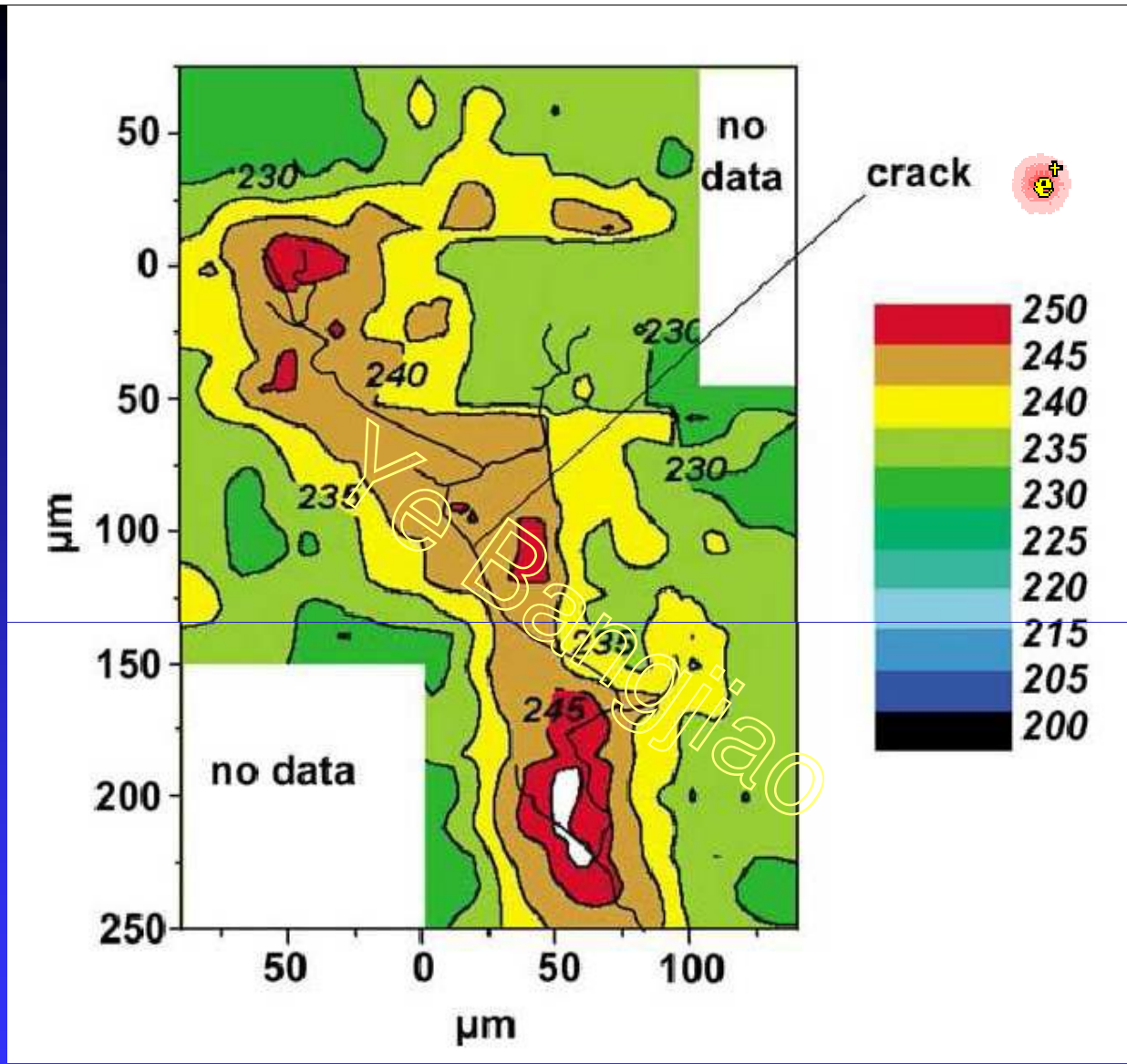


- Principle disadvantage: broad positron implantation profile at high energies



Electron and positron beam image of the surface of a test chip. Light area is  $\text{SiO}_2$ , dark area is platinum





Fatigue crack in copper and map of mean positron lifetime [ps] at 5 keV positron implantation energy.



Ye Thank you!

Ye Bangjiao



<http://staff.ustc.edu.cn/~bjye/e+/index.htm>

Ye Bangjiao